

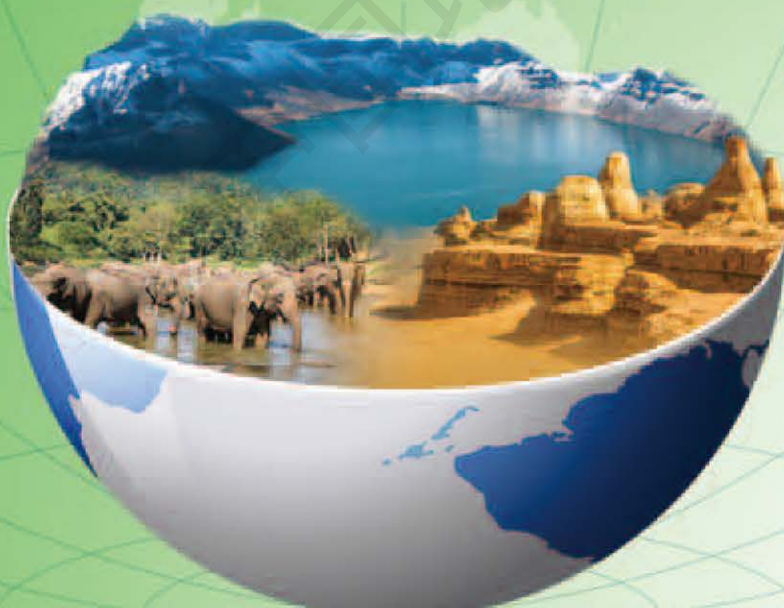


普通高中教科书

地理图册

选择性必修 1

自然地理基础



中国地图出版社

目录

| | |
|-------------------------|-------|
| ■ 序 图 | 2~5 |
| 世界地形 | 2 |
| 中国地形 | 4 |
| ■ 第一章 地球的运动 | 6~13 |
| 第一节 地球的自转和公转 | 6 |
| 第二节 地球运动的地理意义 | 8 |
| ■ 第二章 地表形态的变化 | 14~21 |
| 第一节 地表形态变化的内外力作用 | 14 |
| 第二节 岩石圈的物质组成及循环 | 20 |
| ■ 第三章 天气的成因与气候的形成 | 22~31 |
| 第一节 常见天气现象及成因 | 22 |
| 第二节 气压带、风带对气候的影响 | 27 |
| 第三节 气候的形成及其对自然地理景观的影响 | 30 |
| ■ 第四章 地球上水的运动与能量交换 | 32~39 |
| 第一节 陆地水体及其关系 | 32 |
| 第二节 世界洋流的分布与影响 | 34 |
| 第三节 海—气相互作用及其影响 | 37 |
| ■ 第五章 自然地理环境的整体性和地域分异规律 | 40~48 |
| 第一节 自然地理环境的整体性 | 40 |
| 第二节 自然地理环境的地域分异规律 | 43 |



本册图例

| | | | |
|---------------------|--------------------|--------|-----------------|
| ★ 中国首都 | ---- 地区界 | 海岸线 | 沼泽、盐沼 |
| ○ 一般居民点 (专题图居民点) | ***** 军事分界线、停火线 | 常年河 | 陆缘冰、大陆冰 |
| ——· 洲界 | ----- 中国省、自治区、直辖市界 | 时令河 | 沙漠 |
| —— 国界 | ---- 中国特别行政区界 | 瀑布 | ▲ 山峰、火山 |
| —— 未定国界 | —— 长城 | 水库 | 8 848.86 山峰海拔/m |
| | | 运河 | -415 湖面海拔/m |
| | | 淡 咸 湖泊 | 11 034 海深/m |
| | | 时令湖 | 珊瑚礁 |

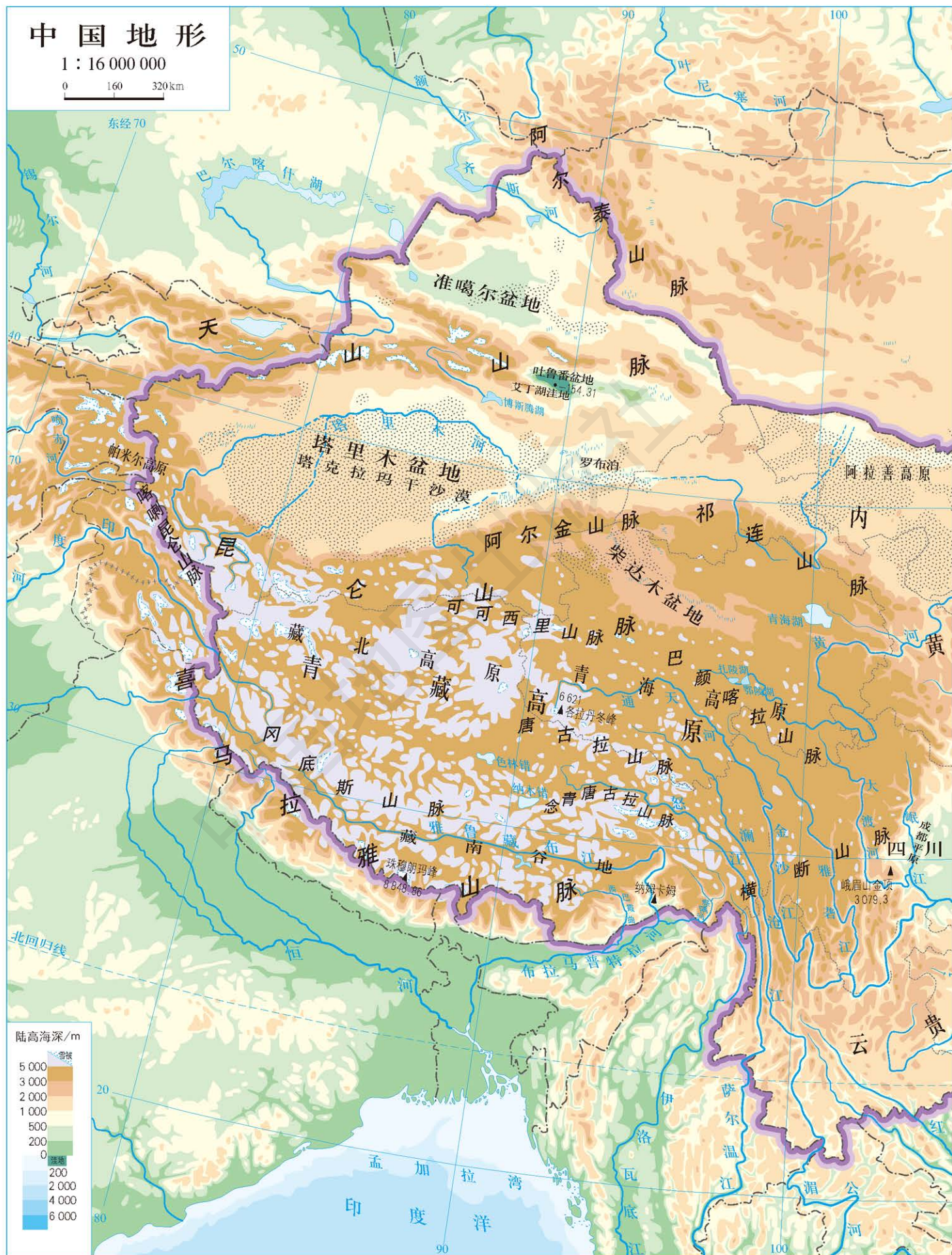
世界地形

1 : 85 000 000

0 850 1 700 km



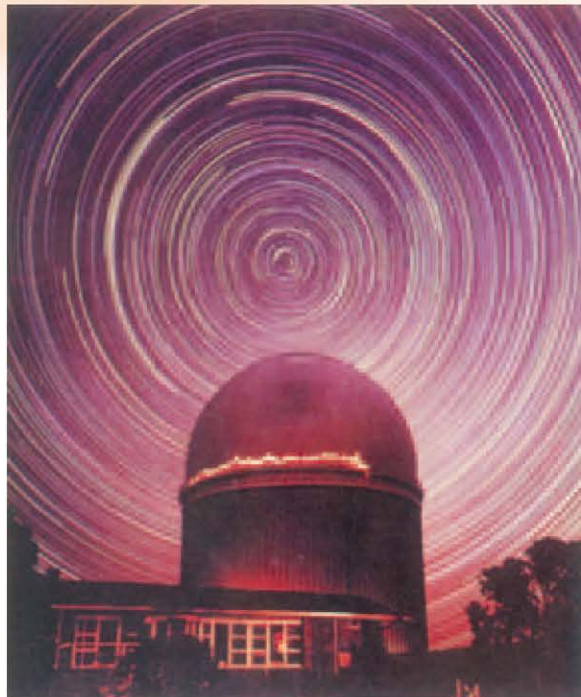






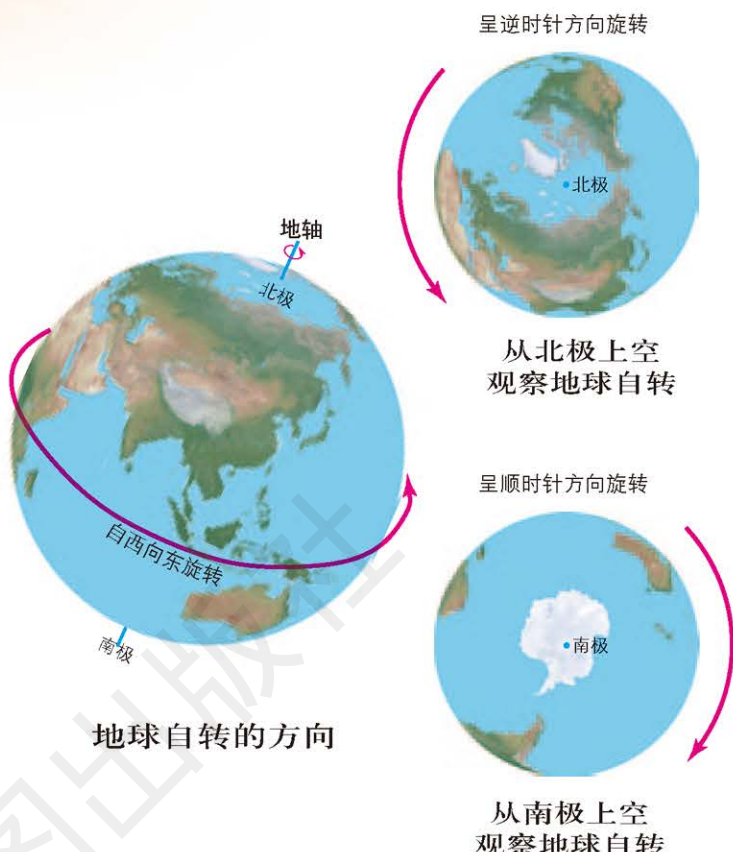
第一节 地球的自转和公转

地球的运动

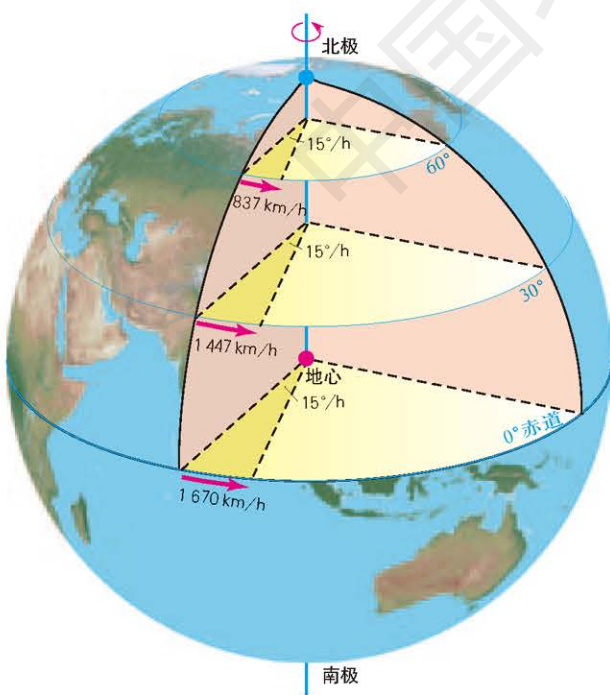


南天极区恒星的周日视运动

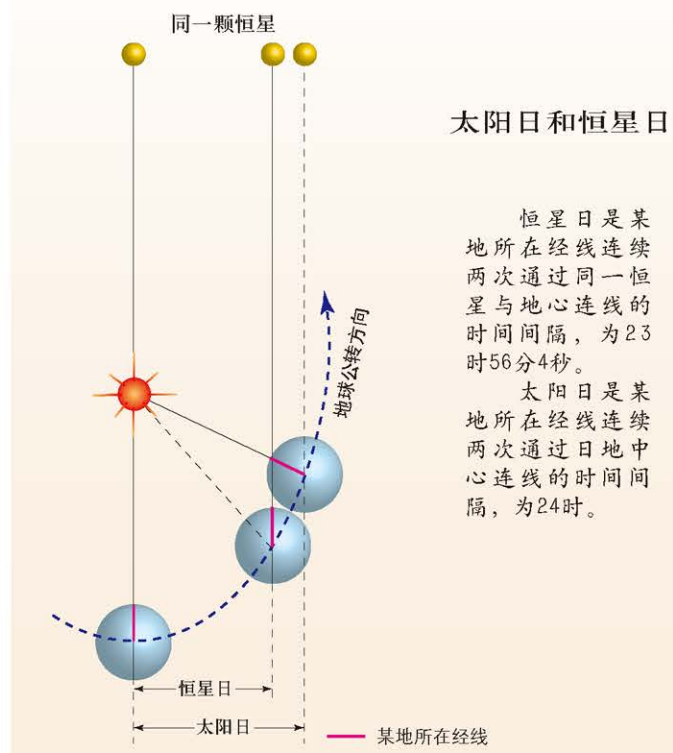
在用天体照相仪对极地地区天空连续曝光拍摄的照片上，可以清晰地看到天极附近恒星周日视运动的轨迹。



地球自转的角速度和线速度

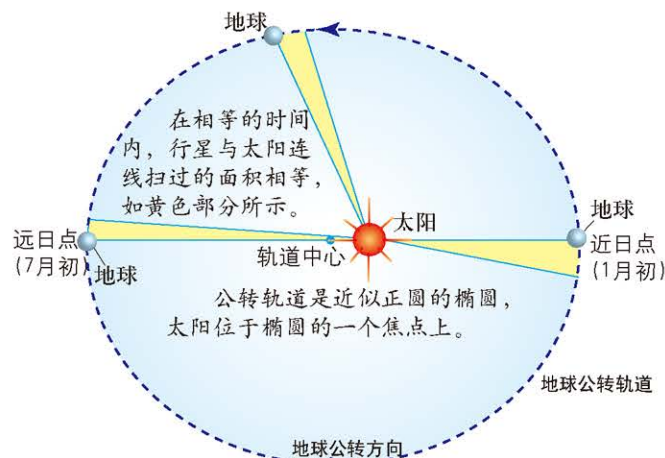


● 地球自转的周期 ●



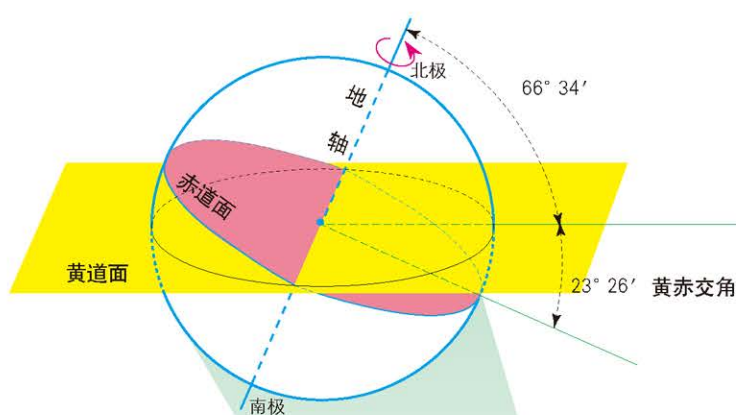
■ 地球的公转

日地距离与地球公转速度的关系



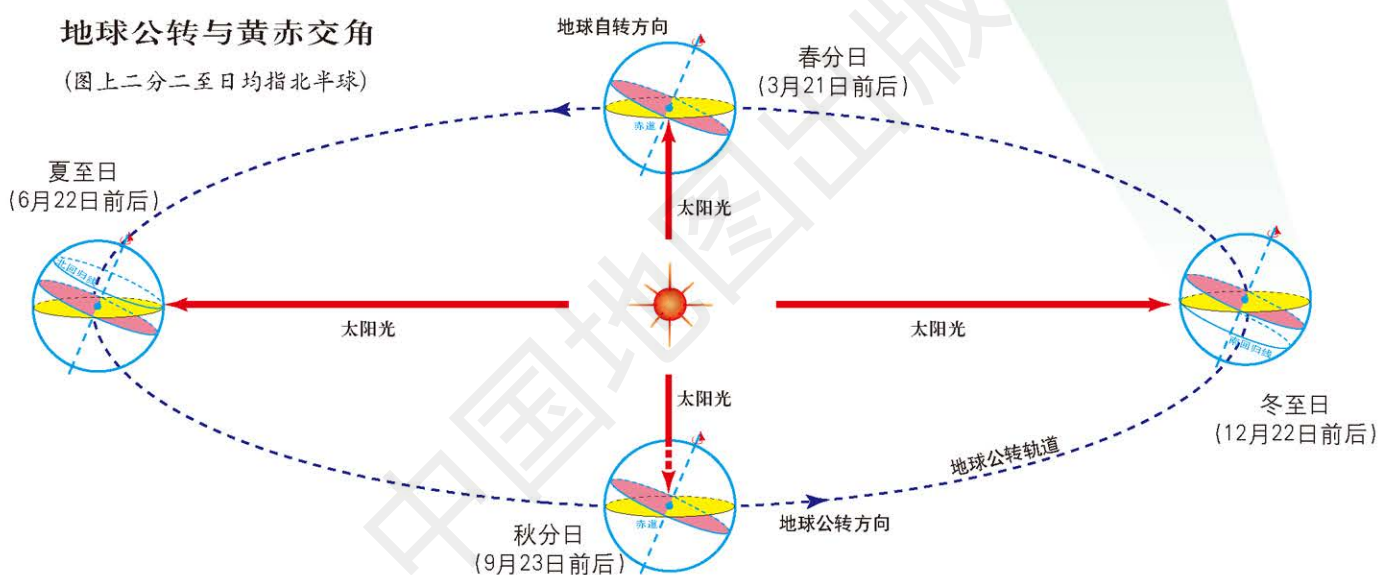
地球绕日一周转 360° ，大致每日逆时针旋转 1° ，这是地球公转的平均角速度。地球公转的平均线速度约为每秒30千米。在近日点时，公转角速度和线速度最大，在远日点时最小。

黄赤交角示意



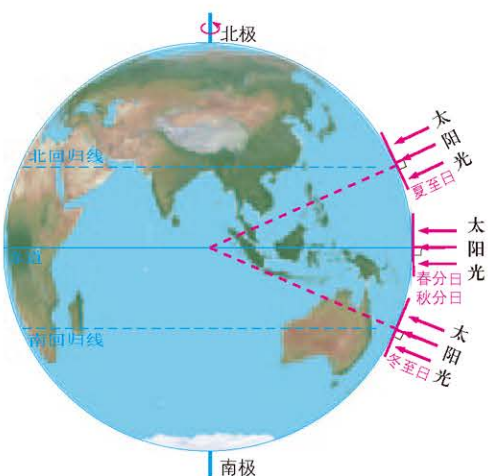
地球公转与黄赤交角

(图上二分二至日均指北半球)



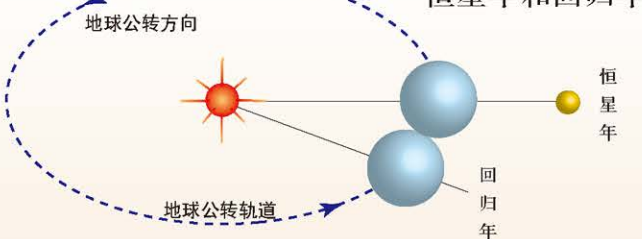
太阳直射点的回归移动

(图上二分二至日均指北半球)



● 地球的公转周期 ●

恒星年和回归年



恒星年是太阳中心连续两次通过地球与某一恒星连线的时间间隔，为365天6时9分10秒。

回归年是太阳直射点连续两次通过春分点的时间间隔，为365天5时48分46秒。

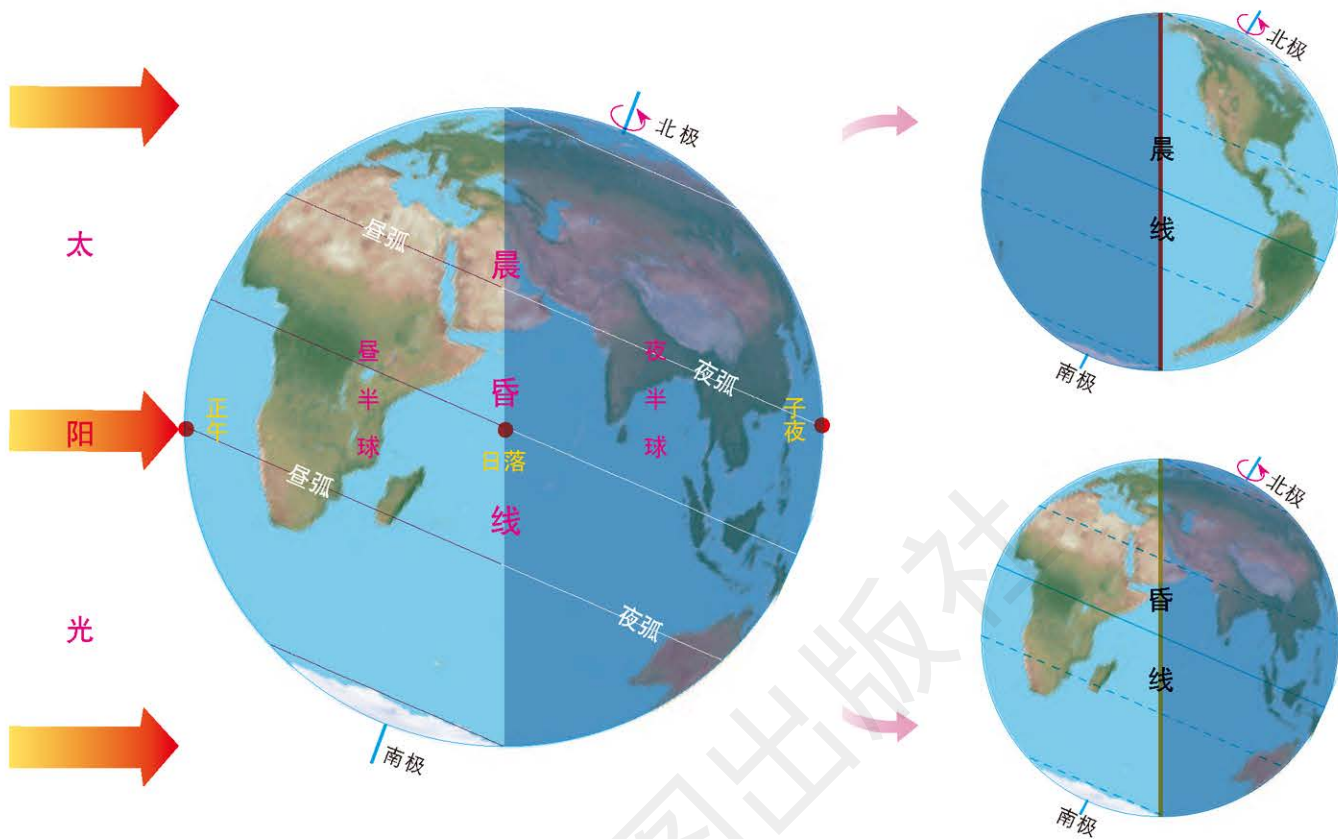
由于受到其他天体的引力作用，导致地球在每回归年于公转轨道上退行 $50.26''$ ，即在未转足 360° 的情况下太阳再次通过春分点，因此回归年比恒星年在时间上少 $20'24''$ 。



第二 节 地球运动的地理意义

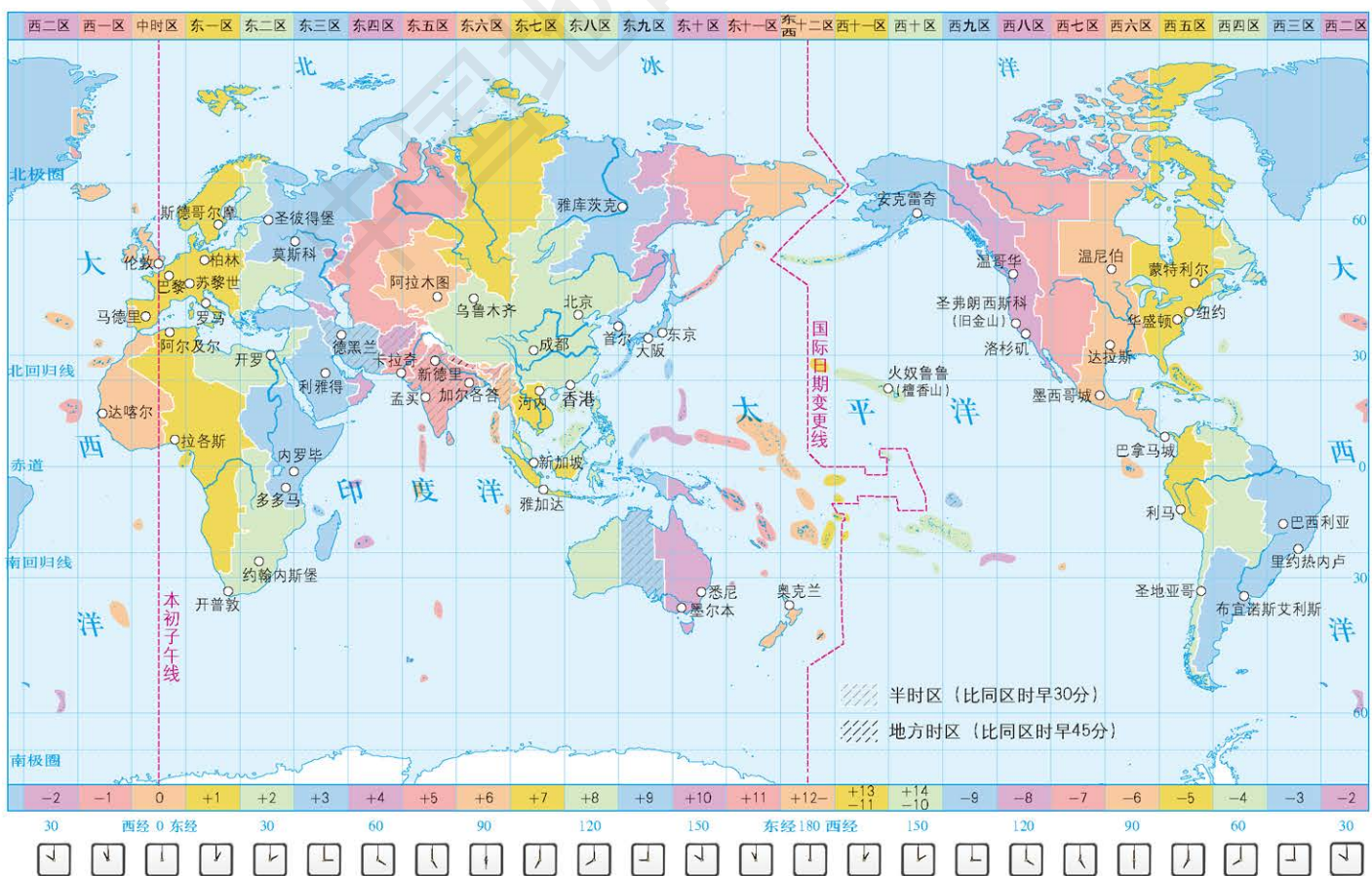
■ 地球自转的地理意义

地球自转产生昼夜交替



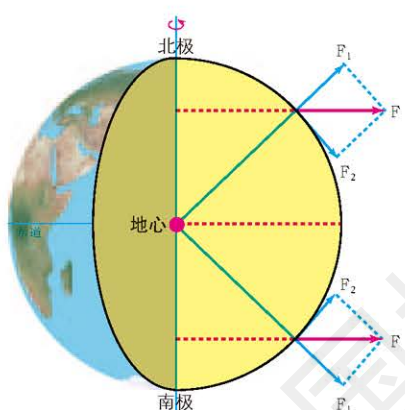
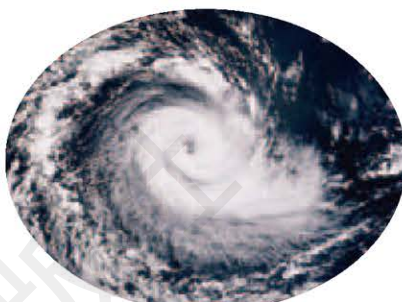
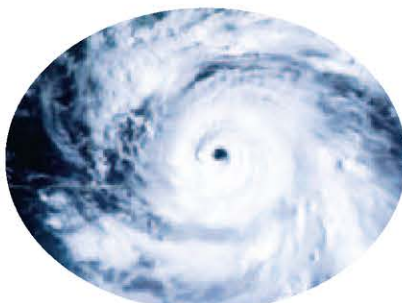
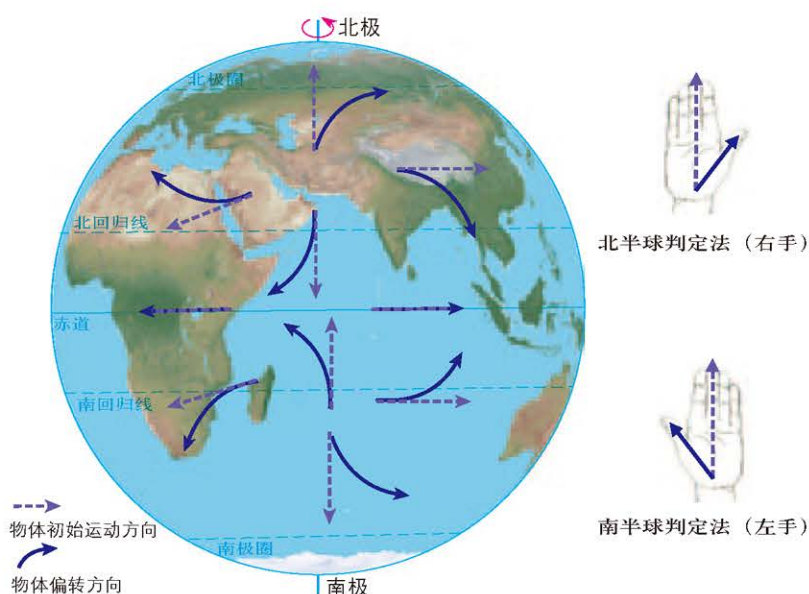
地球自转使地球上经度不同的地方产生时差——世界时区

1 : 230 000 000



注：图内颜色就近对应下缘颜色，表示各国家和地区实际采用的标准时——法定时。下缘所注数字表示理论时区，钟面表示不同理论时区在格林尼治平时为正午时的区时。

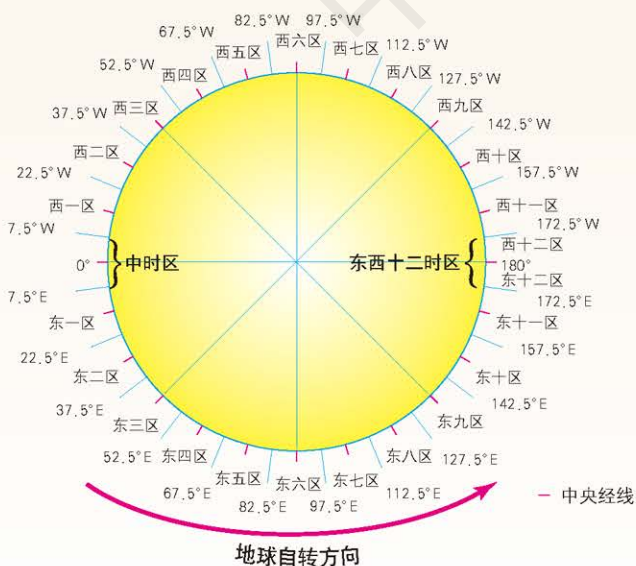
地球自转使地表物体水平运动的方向发生偏转



地球自转产生的惯性离心力F可以分解成一个垂直地心的分力 F_1 和一个水平分力 F_2 。 F_1 与重力抵消， F_2 在南、北半球均指向赤道。南北半球的物质向赤道挤压，经过长期作用，地球形成一个椭球体。

地球自转改变地球形状

地方时的计算方法



- 以 0° 经线为基准，每隔 15° 经度划分一条中央经线。
- 以 0° 经线为中央经线，向东西方向各取 7.5° 经度，为中时区。
- 每条中央经线向东西方向各取 7.5° 经度，划分为1个时区。从中时区向东依次为东一区至东十一区，向西依次为西一区至西十一区。
- 以 180° 经线为中央经线，向西取 7.5° 经度为东十二区，向东取 7.5° 经度为西十二区。
- 自东十二区进入西十二区，时刻不变，日期要减去一天。

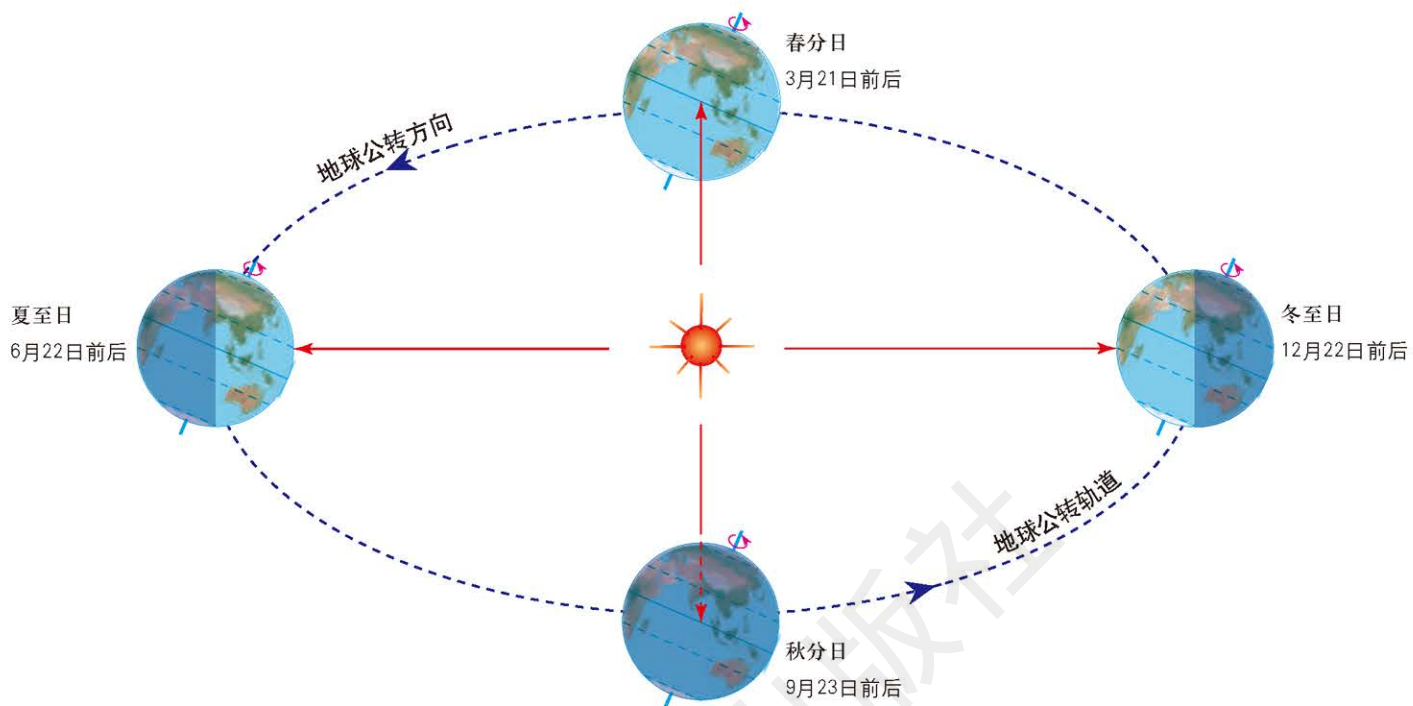
时区计算方法

- 已知经度求理论时区：
时区 = 经度 / 15° ，所得商数四舍五入到整数位。
例如，东经 113° 所在时区， $113^{\circ} / 15^{\circ} = 7.53$ ，为东八区。
- 计算两地的时区差：
同方向相减，不同方向相加。例如，东二区与东七区的时区差为： $7 - 2 = 5$ ，两地相差5个时区；西五区与东三区的时区差为： $5 + 3 = 8$ ，两地相差8个时区。

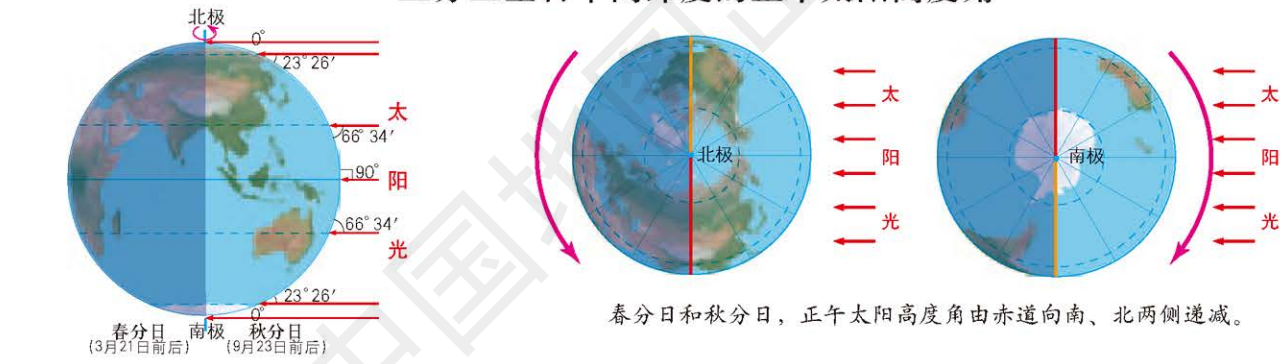


■ 地球公转与自转共同作用下产生的地理意义

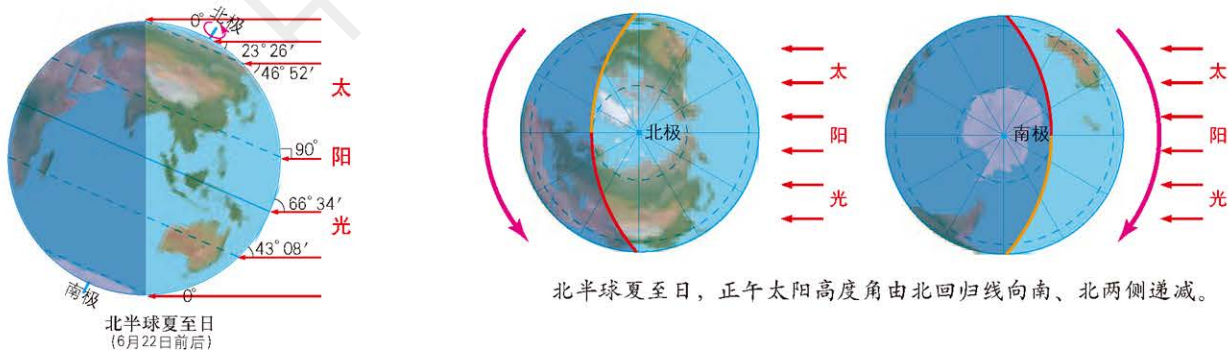
太阳直射点的移动示意 (图上二分二至日均指北半球)



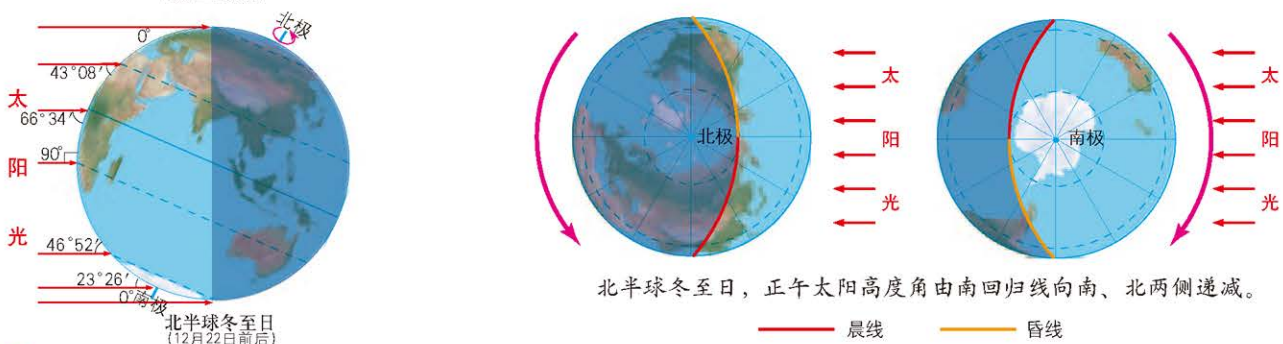
二分二至日不同纬度的正午太阳高度角



春分日和秋分日，正午太阳高度角由赤道向南、北两侧递减。



北半球夏至日，正午太阳高度角由北回归线向南、北两侧递减。



北半球冬至日，正午太阳高度角由南回归线向南、北两侧递减。

——晨线 ——昏线

世界部分城市二分二至日昼夜长短



北半球夏至日

太阳直射北回归线。北半球各地昼最长、夜最短，北极圈及其以北为极昼。南半球则相反。



春分日和秋分日

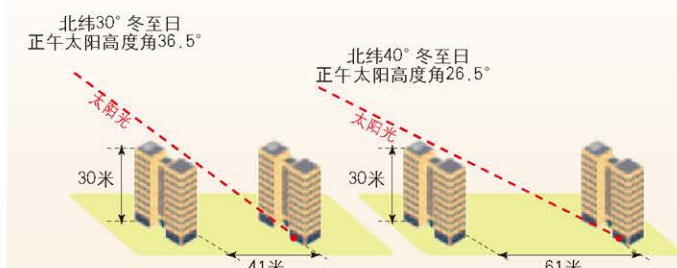
太阳直射赤道。地球上各纬度昼夜长短相等。



北半球冬至日

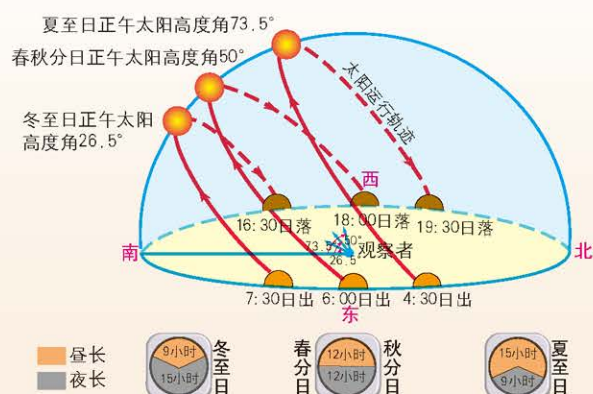
太阳直射南回归线。北半球各地昼最短、夜最长，北极圈及其以北为极夜。南半球则相反。

● 楼房间距与正午太阳高度角的关系 ●



我国南方地区的楼房间距一般小于北方地区，这是由于南方地区正午太阳高度角较大，达到相同日照时间所需的楼间距较小。

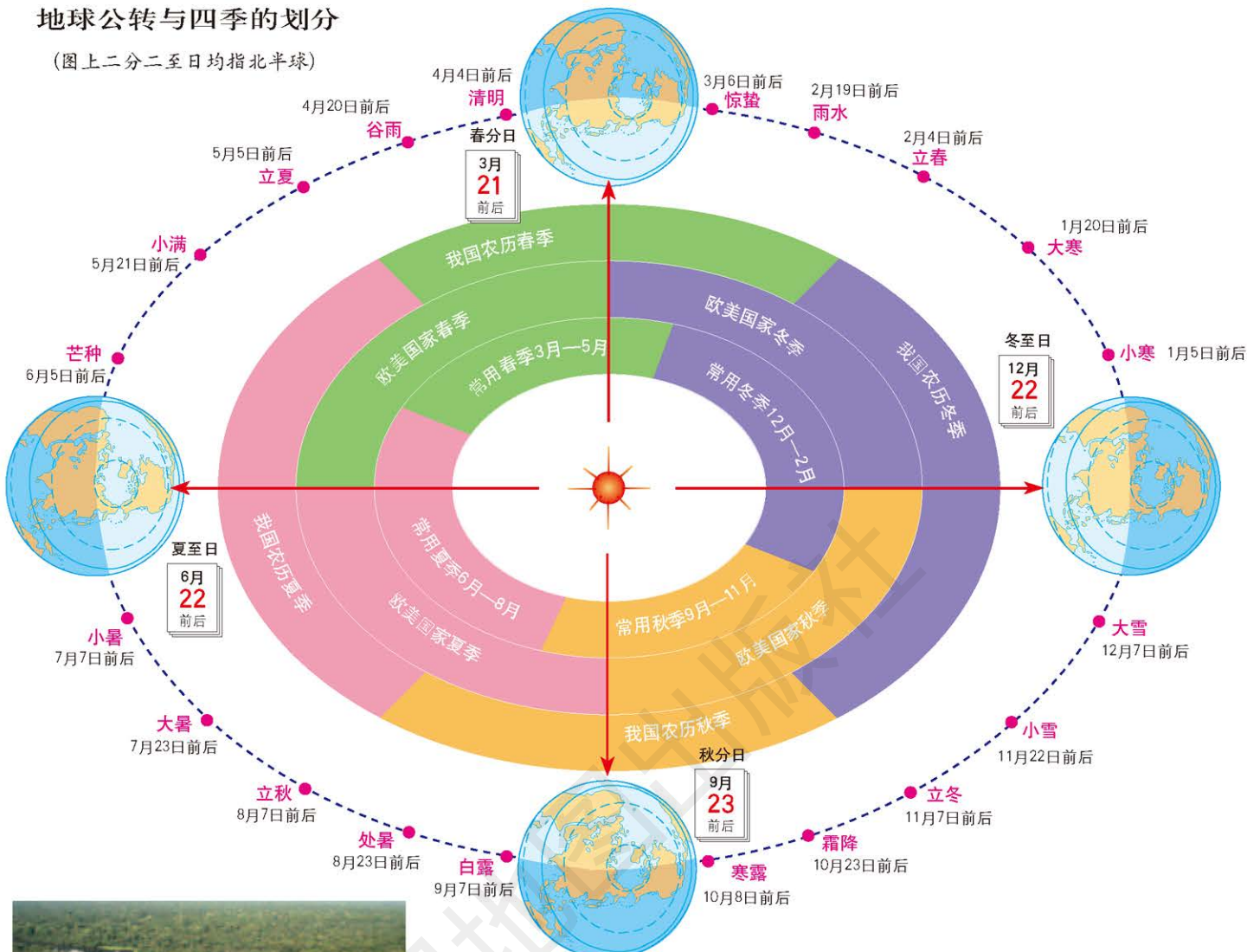
● 北纬40°地区二分二至日正午太阳高度角和昼夜长短的变化 ●



北半球夏至日正午太阳高度角最大，白昼的时间最长；冬至日则相反。

地球公转与四季的划分

(图上二分二至日均指北半球)



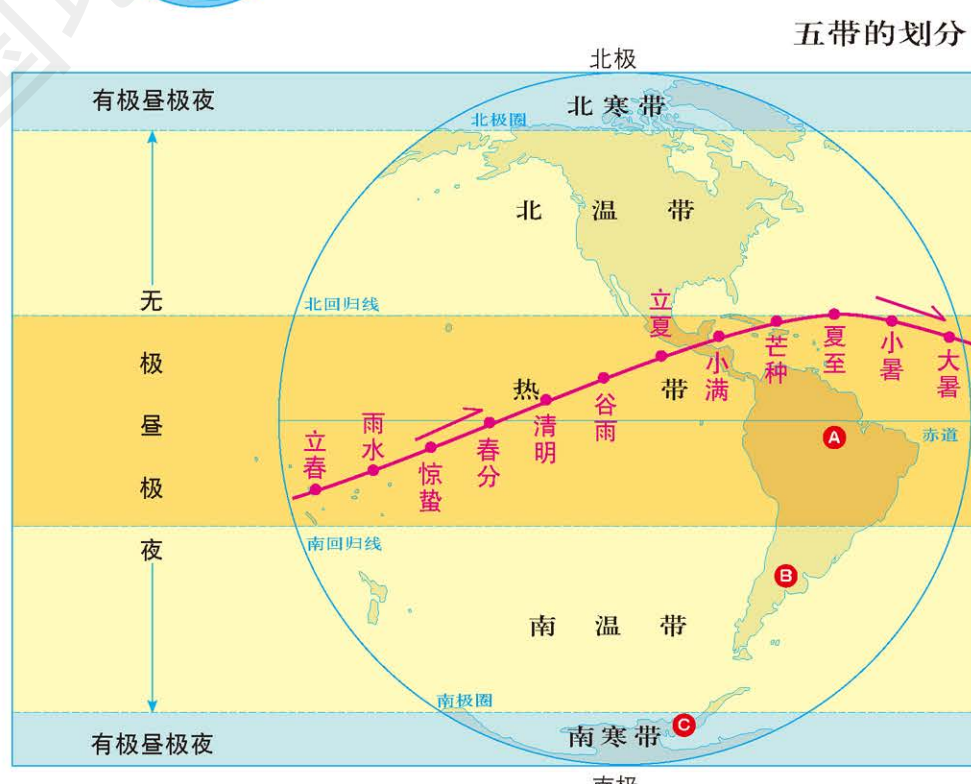
A 亚马孙热带雨林

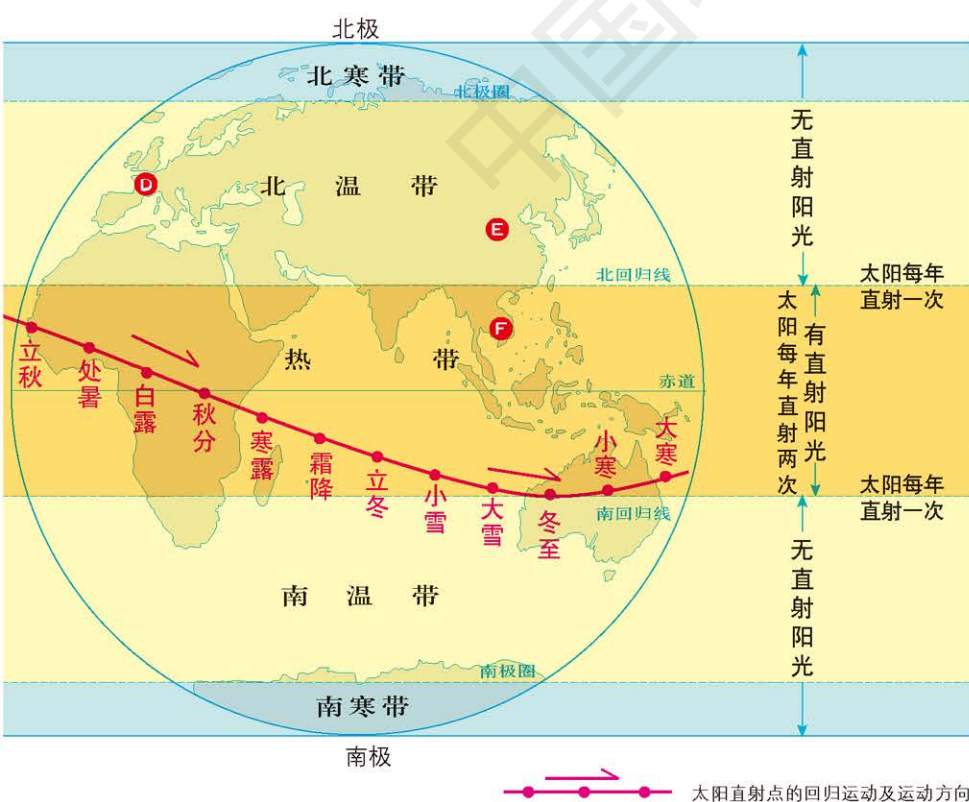
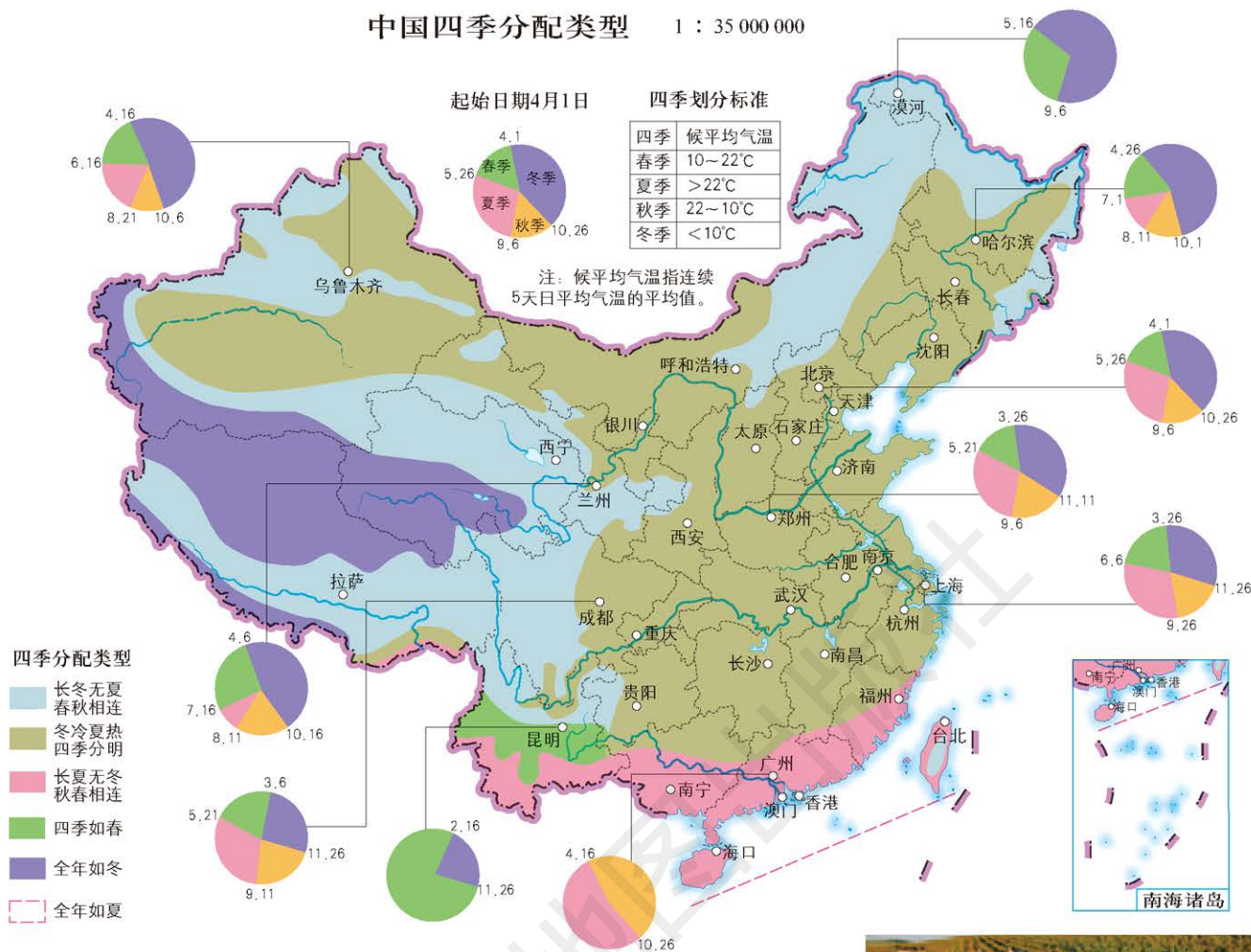


B 潘帕斯草原

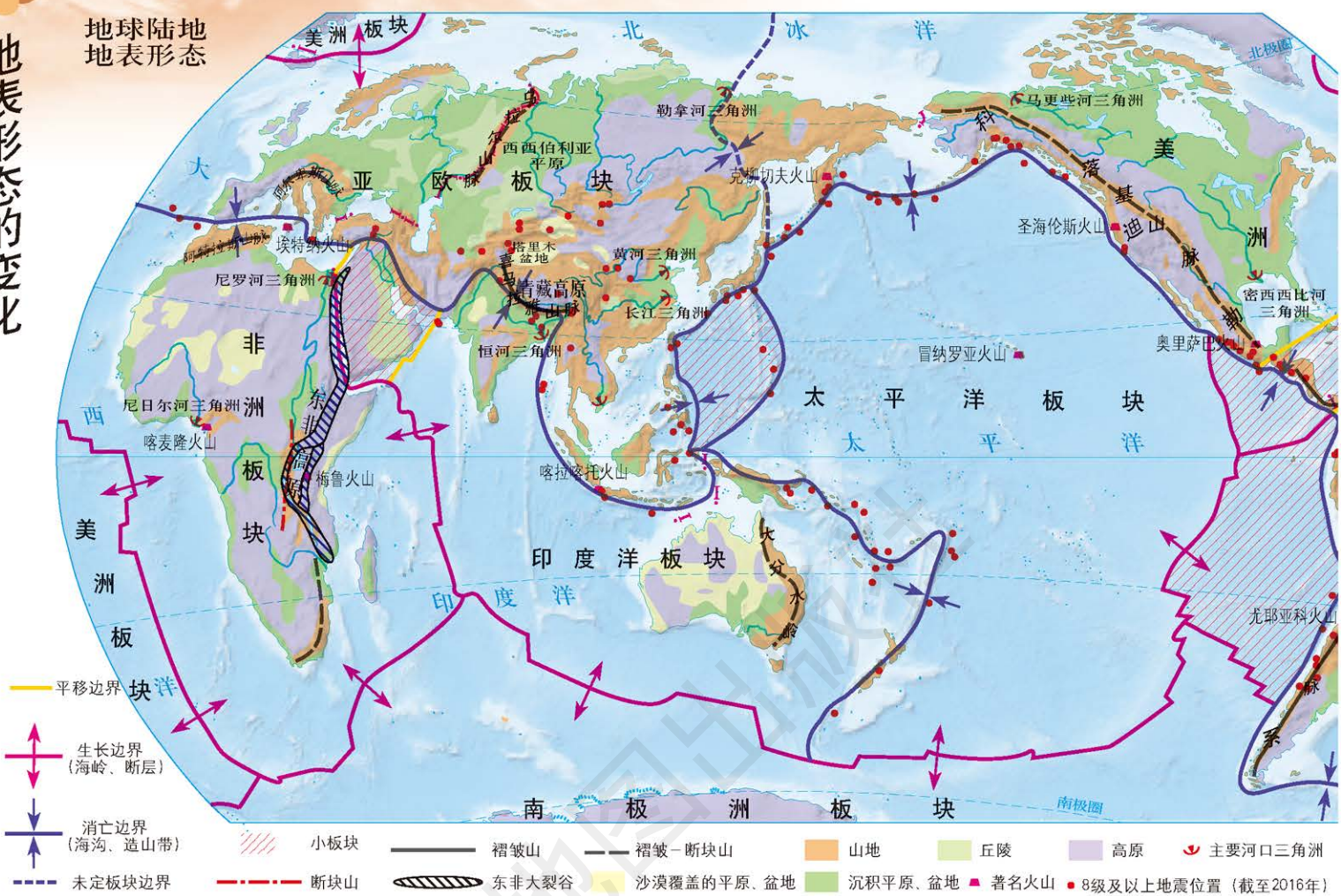


C 南极企鹅



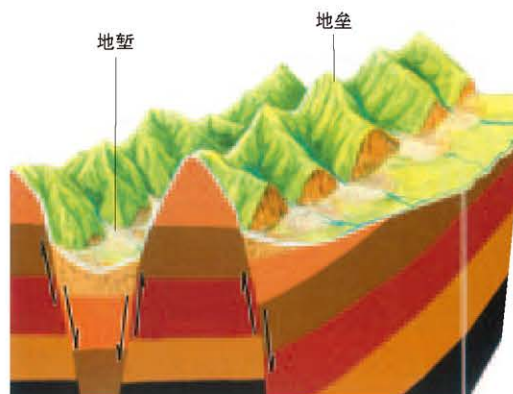
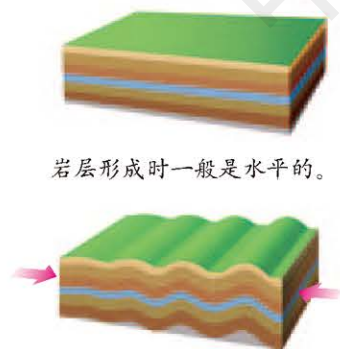


第一节 地表形态变化的内外力作用



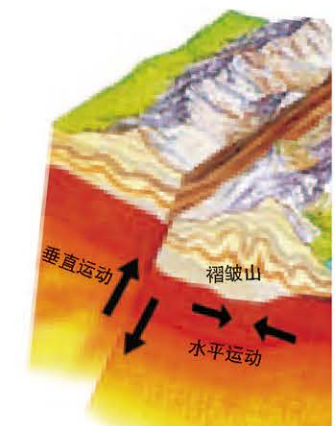
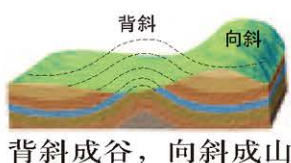
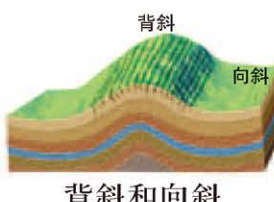
内力作用及其对地表形态的影响

褶皱形成示意



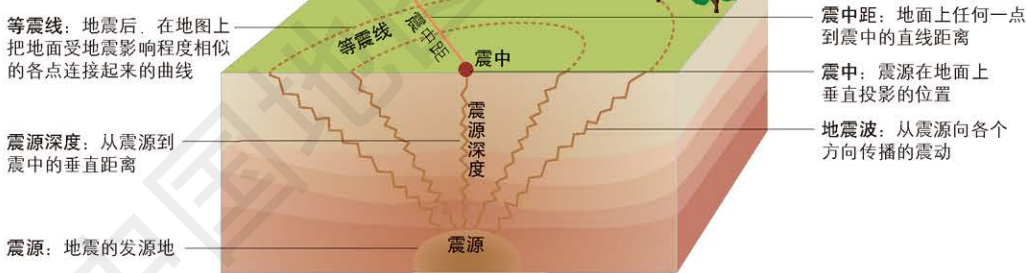
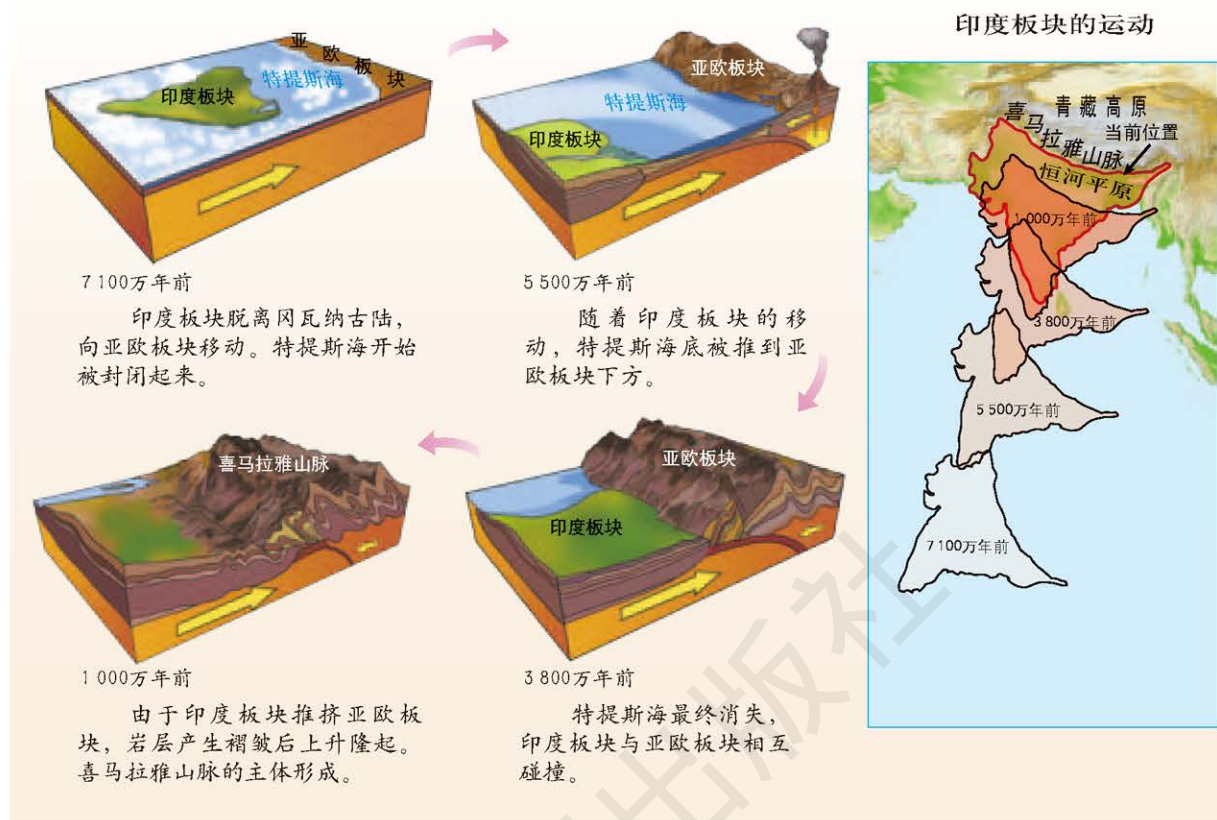
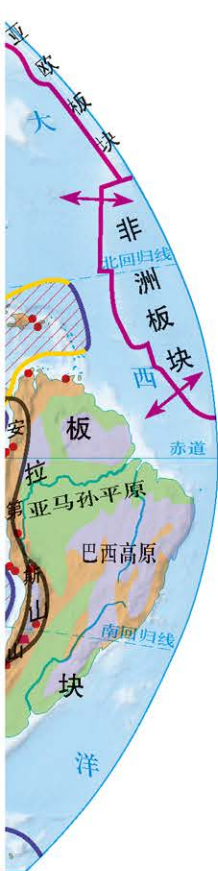
断层形成示意

褶皱的基本形态是背斜和向斜。背斜常形成山岭；向斜常成为谷地或盆地。但不少背斜顶部因受张力作用，易被侵蚀为谷地，而向斜槽部因受挤压，不易被侵蚀，形成了山岭。

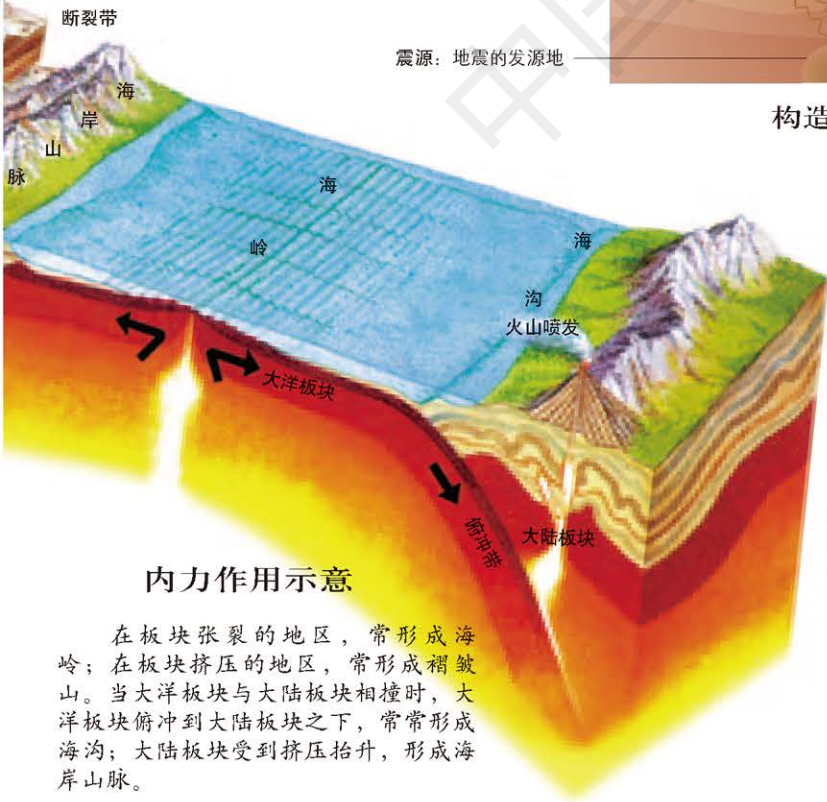


喜马拉雅山脉的形成

1 : 150 000 000

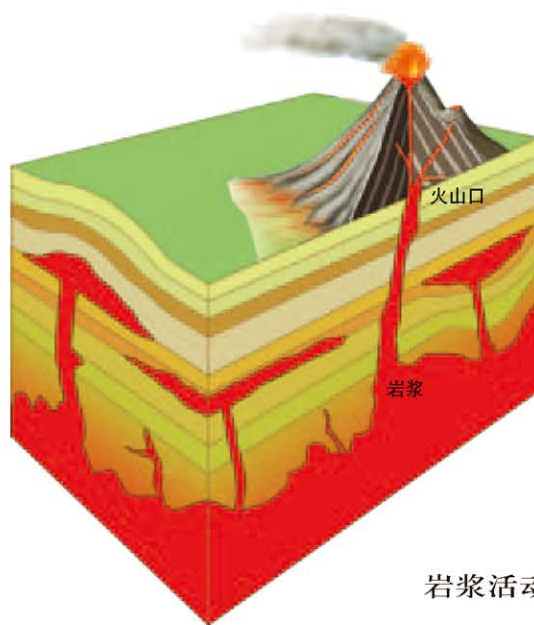


构造地震示意



内力作用示意

在板块张裂的地区，常形成海岭；在板块挤压的地区，常形成褶皱山。当大洋板块与大陆板块相撞时，大洋板块俯冲到大陆板块之下，常常形成海沟；大陆板块受到挤压抬升，形成海岸山脉。



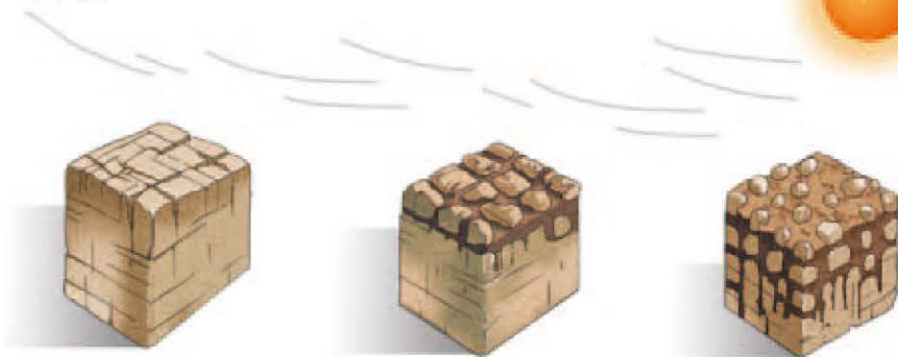
岩浆活动

■ 外力作用及其对地表形态的影响

风化作用

物理风化作用示意

岩石受热膨胀，崩解破碎。暴露的表面积增加，风化作用会进一步加强。

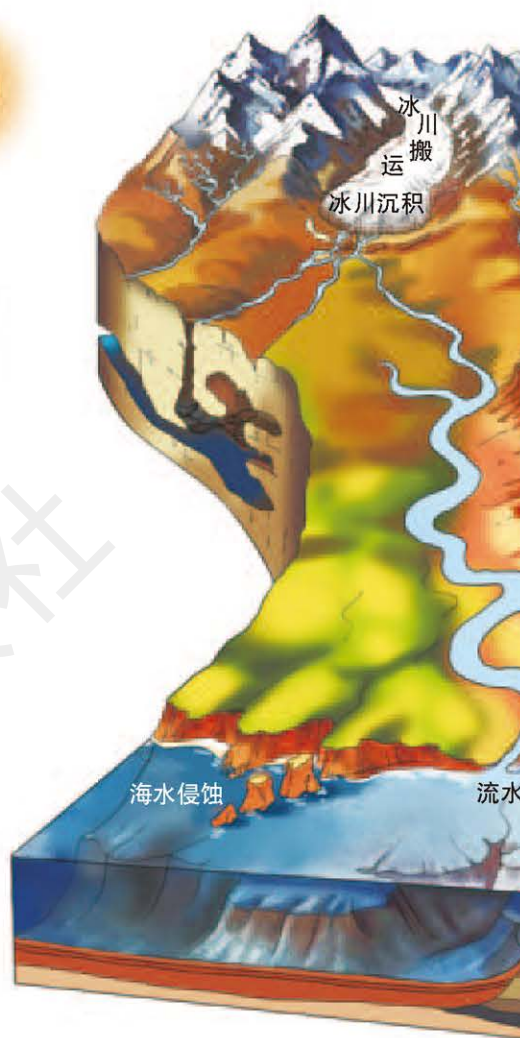


生物风化作用示意

植物根系的生长使岩石松动或破裂，动植物死亡后分解产生的有机酸加速岩石分解，形成松散的碎屑物。



外力作用示意



侵蚀作用

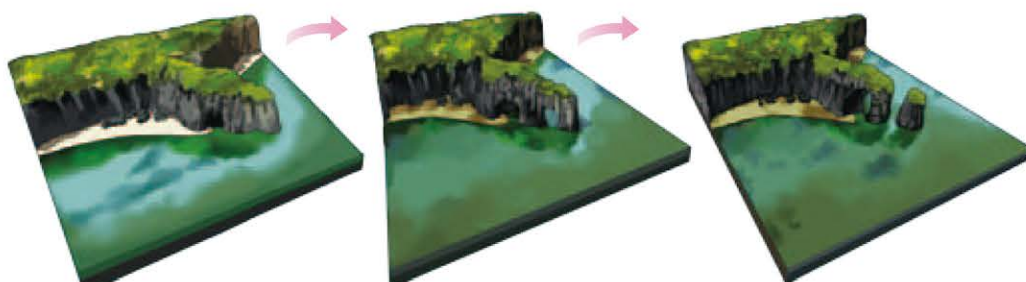
风力侵蚀作用示意

风力吹蚀作用和风沙磨蚀作用，会侵蚀岩石表面的部分物质，留下一根根石柱。



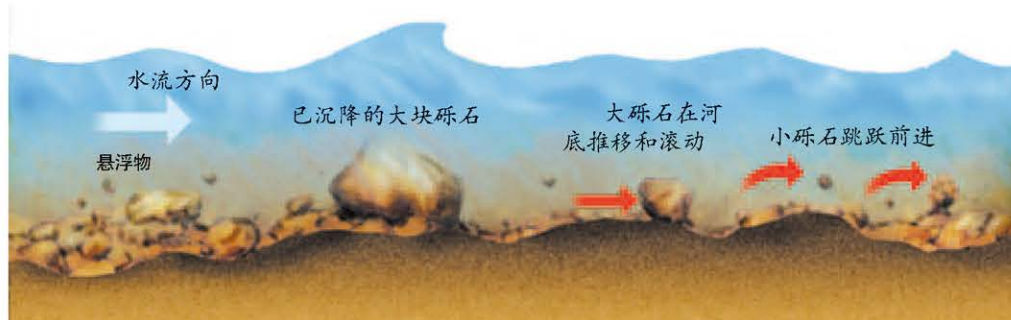
海水侵蚀作用示意

海浪拍打峭壁形成岬角，继而侵蚀成海面上的洞穴，最终留下孤立的海蚀柱。

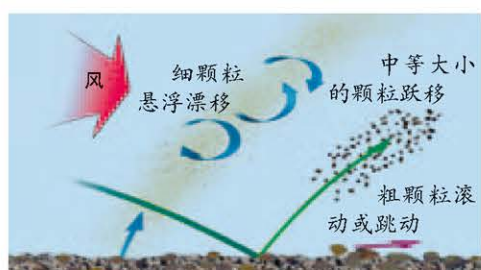


搬运作用

流水搬运作用示意



风力搬运作用示意

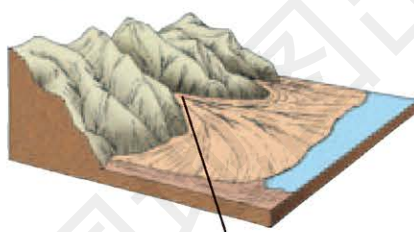


冰川搬运作用示意



沉积作用

流水沉积作用形成的冲积扇



河流流出山口时，由于流速降低，所携带的物质便沉积下来，形成山麓冲积扇。

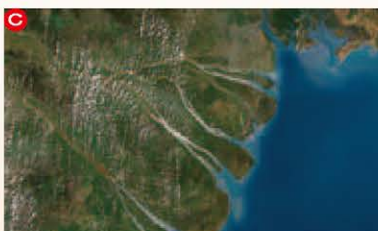


风力沉积作用形成的沙丘

当风力减弱时，吹扬的沙尘便会沉落堆积，形成沙丘。

澜沧江—湄公河流域的河流地貌

湄公河注入海洋时，流速减慢，所携带的泥沙在河口沉积，形成三角洲。



澜沧江由青藏高原流经云贵高原时，由于落差大、水流急，下切作用强，易形成V形谷。



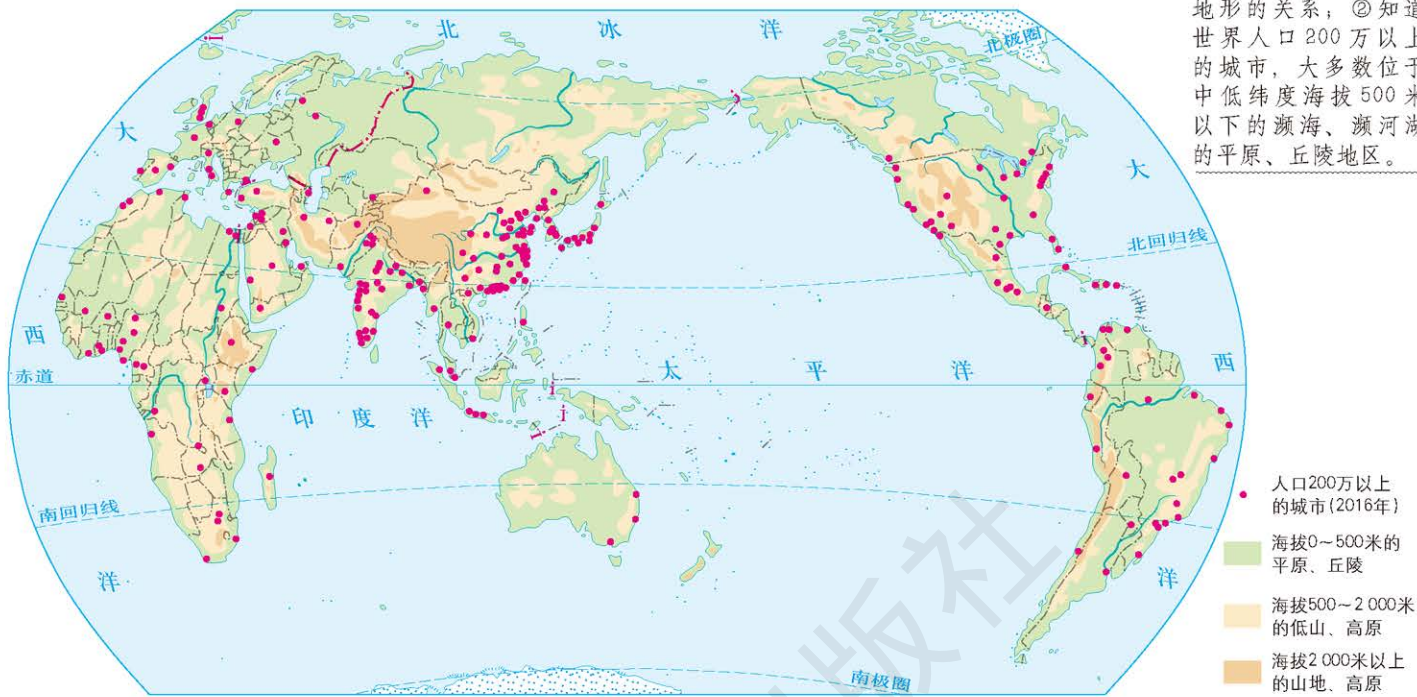
湄公河流经老挝万象附近的丘陵盆地时，由于地形坡度降低，流速渐缓，水流下切作用减弱，侧向侵蚀加强，曲流发育。

■ 地表形态与人类活动的关系

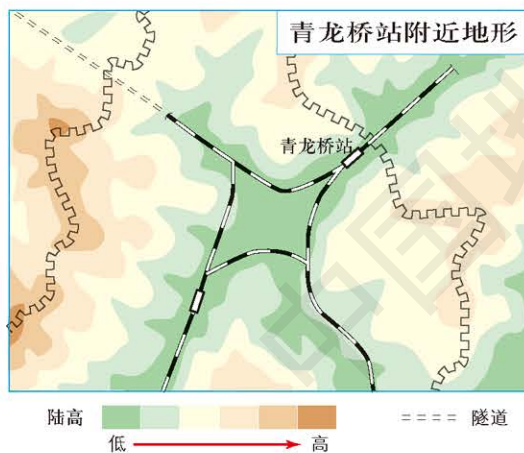
读图指导

① 观察图中城市的主要分布，与水系、地形的关系；② 知道世界人口200万以上城市的分布，大多数位于中低纬度海拔500米以下的滨海、濒河湖的平原、丘陵地区。

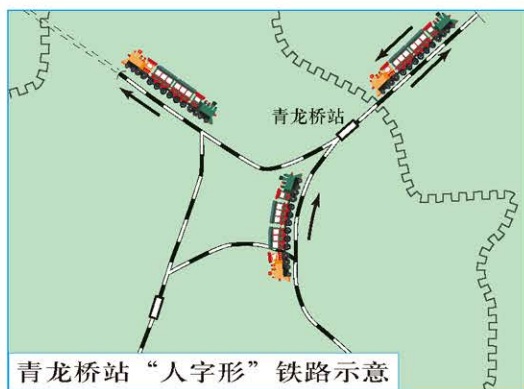
世界人口200万以上的城市分布 1:200 000 000



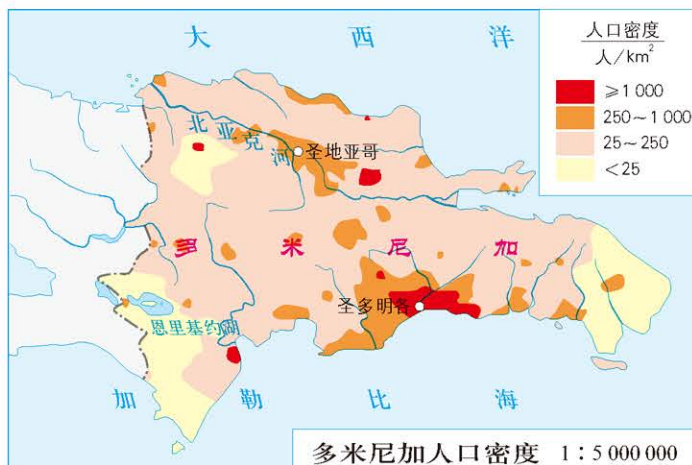
地表形态对交通线路的影响——以京张铁路青龙桥站“人字形”铁路为例



地表形态对人口分布的影响——以多米尼加为例

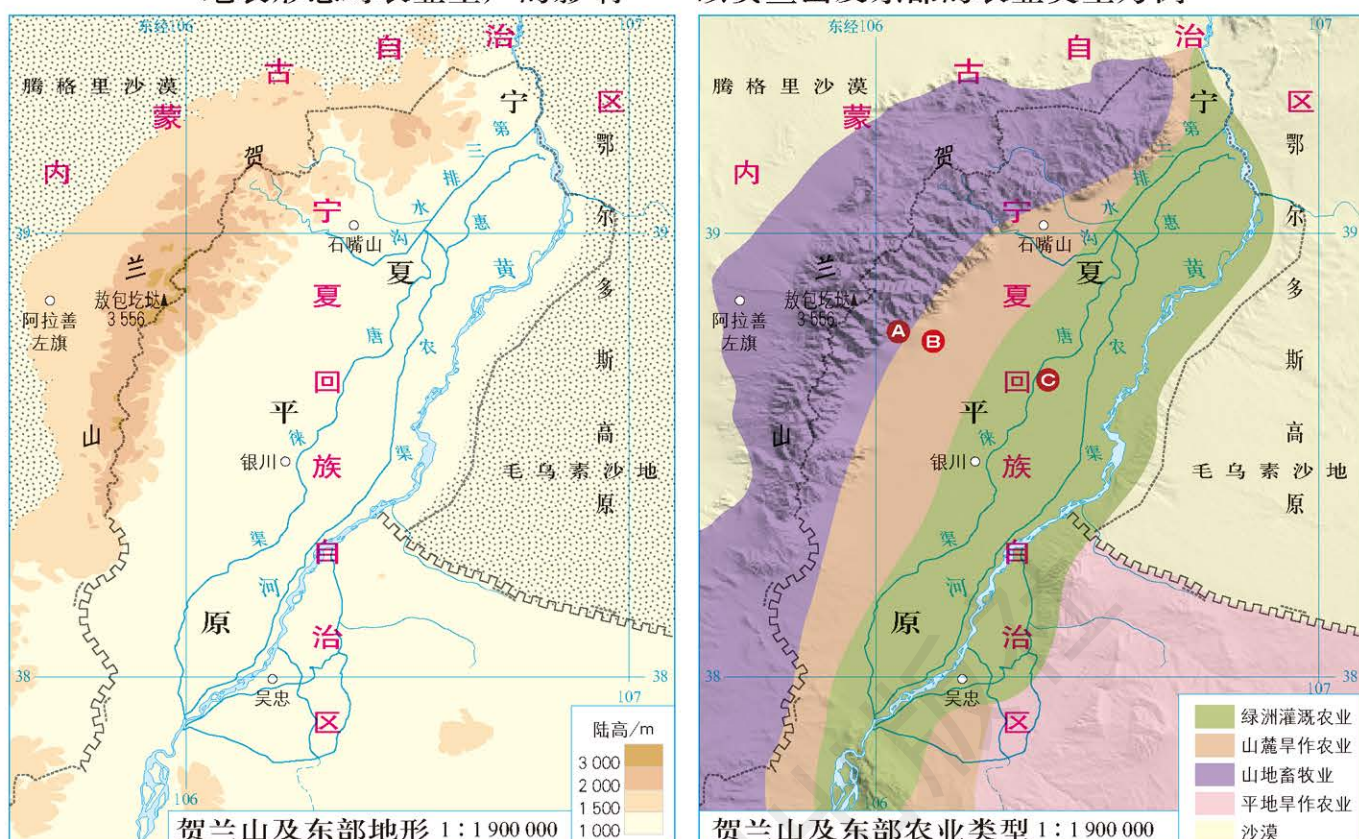


在京张铁路修建期间，采用“人字形”线路，解决了火车无法沿着陡峭的山坡直接“爬”上去的问题。

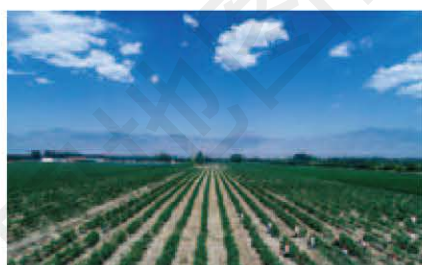


多米尼加的沿岸低地和平原地区人口密度比较大。

地表形态对农业生产的影响——以贺兰山及东部的农业类型为例



A 贺兰山东麓暖泉段放牧



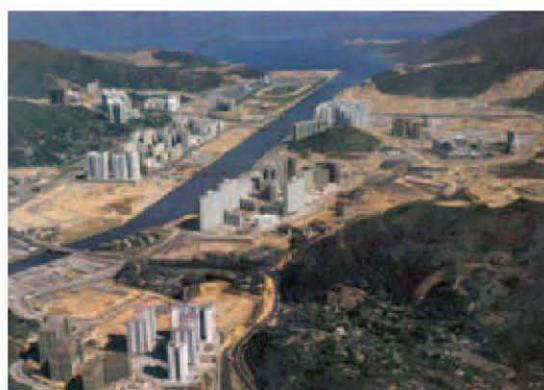
B 贺兰山暖泉农场枸杞种植



C 贺兰县常信乡水稻种植



人类活动对地表形态的影响——以香港的填海造陆为例



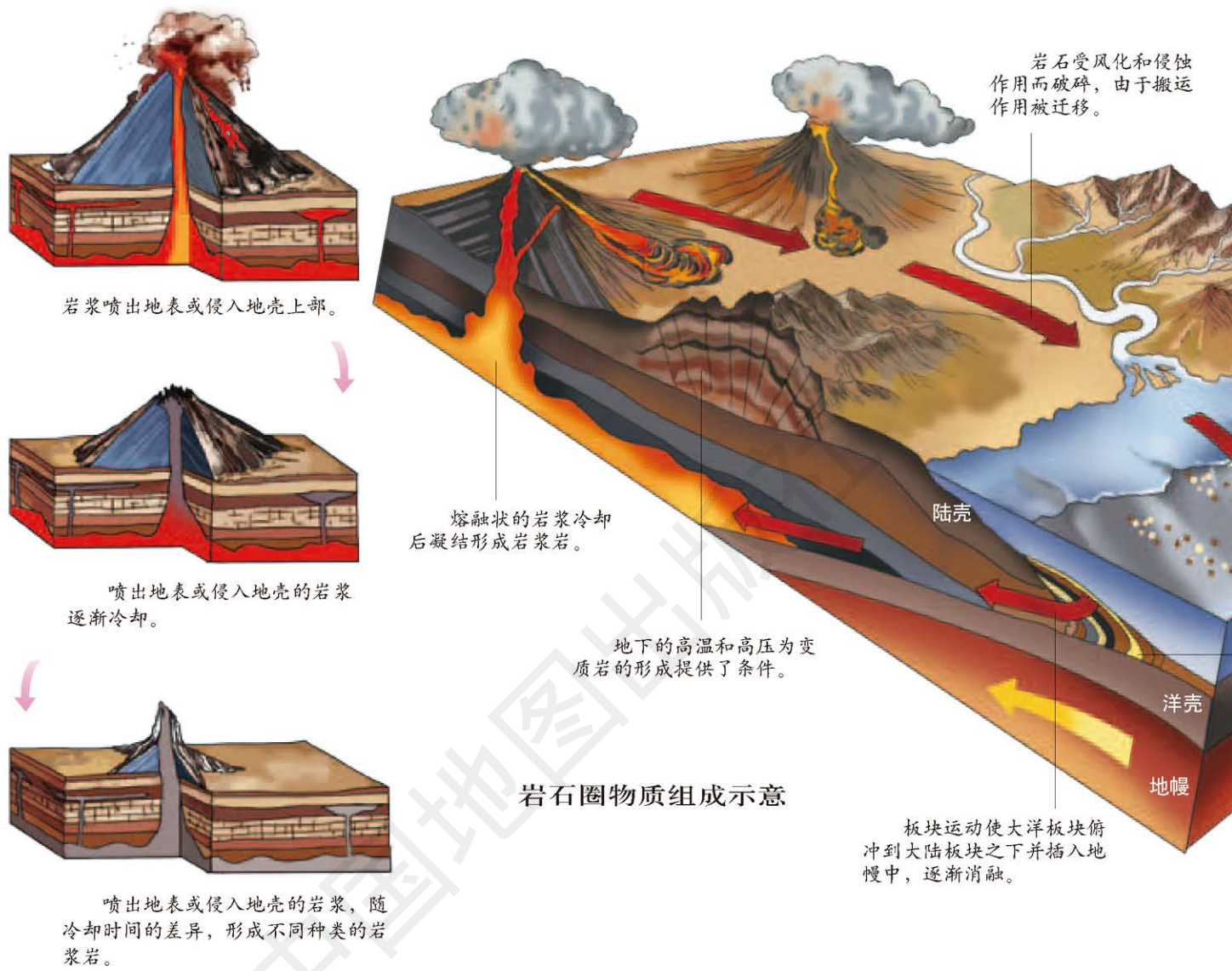
香港的填海造陆

香港人多地狭，填海造陆是香港扩展建设用地的重要方式。

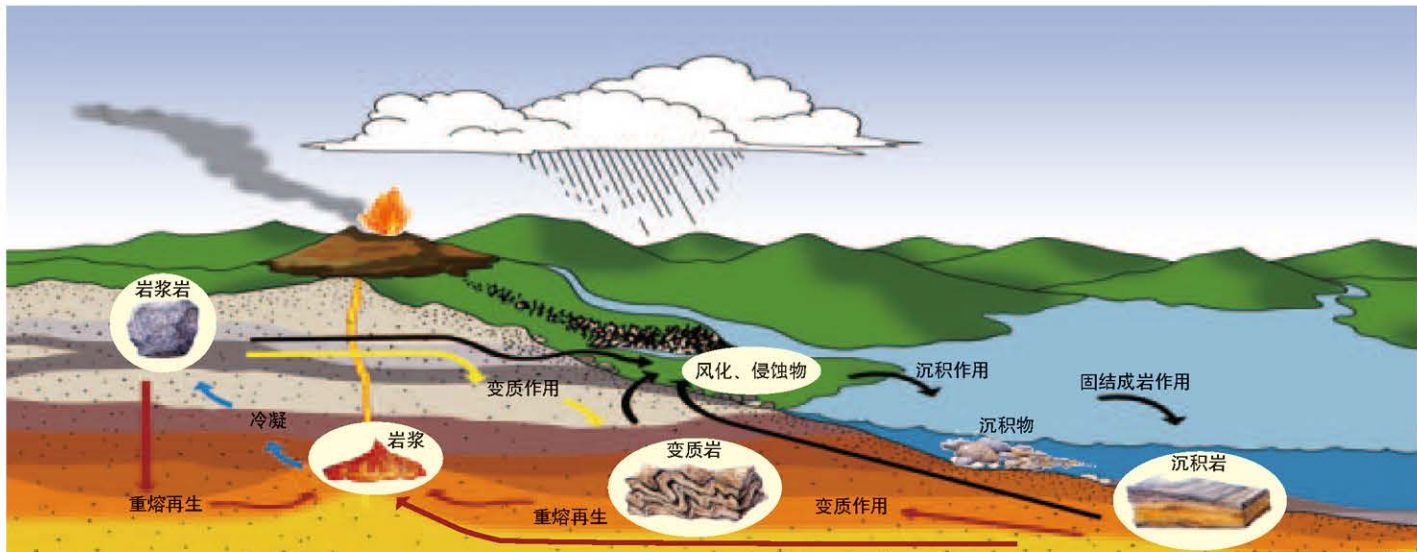
第二节 岩石圈的物质组成及循环

■ 岩石圈的物质组成

岩浆岩的形成

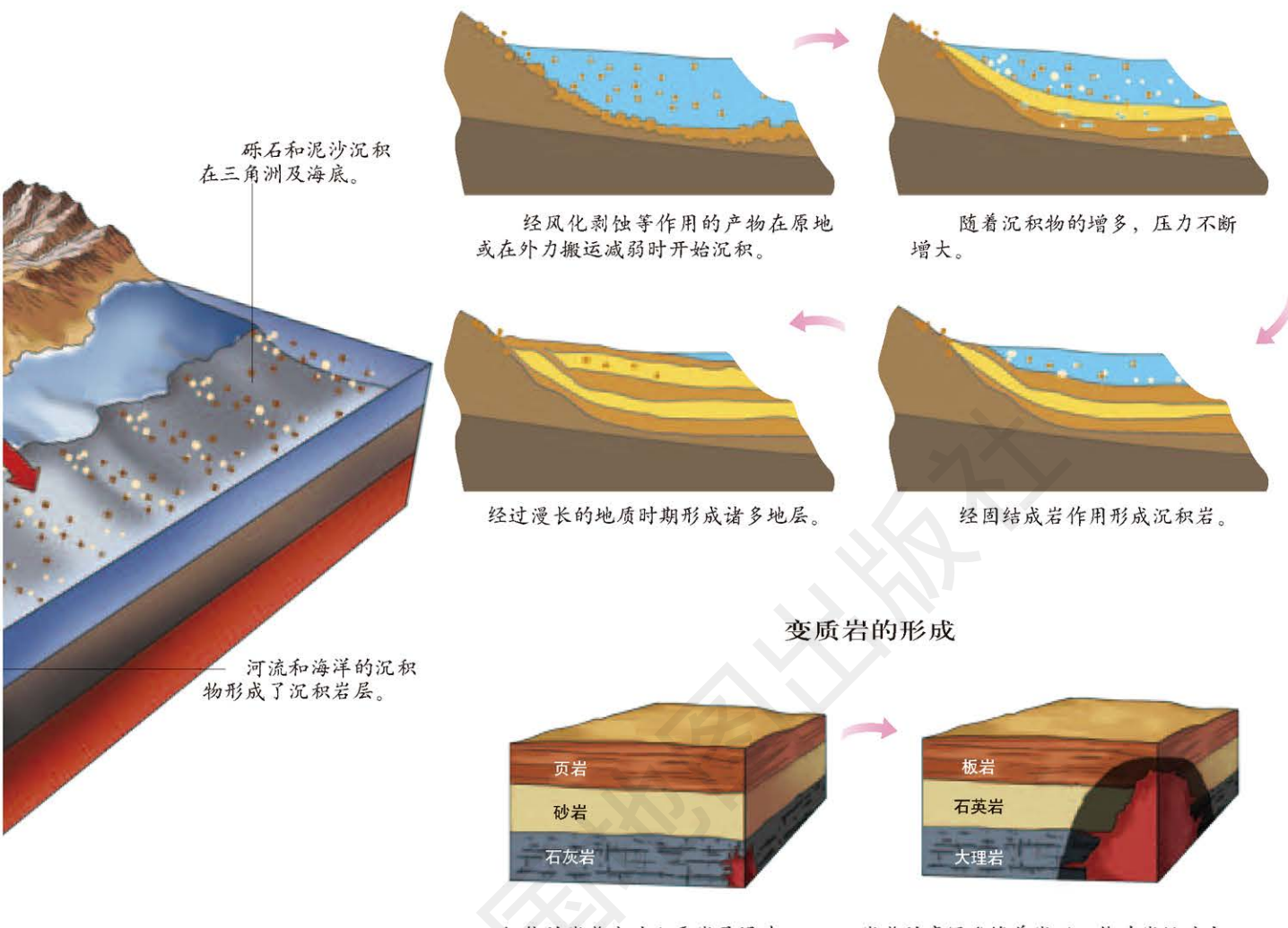


■ 岩石圈的物质循环

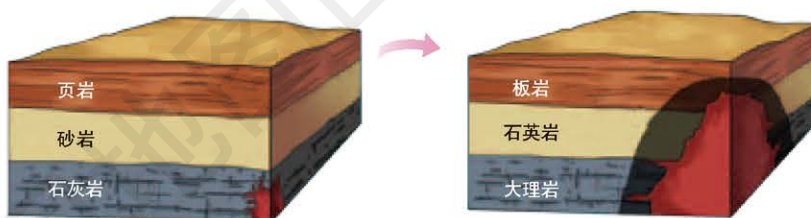


岩石圈的物质循环

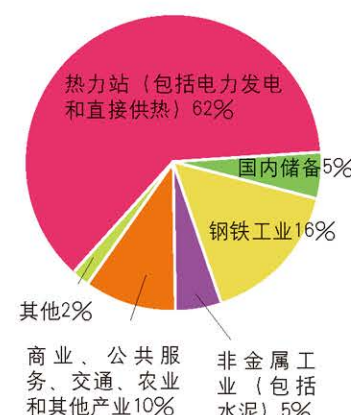
沉积岩的形成



变质岩的形成



■ 人类对岩石的开发利用



世界煤炭资源利用构成

第一节 常见天气现象及成因

常见天气系统

天气的成因与气候的形成



冷锋过境前，某地受单一暖气团控制，天气温暖晴朗。



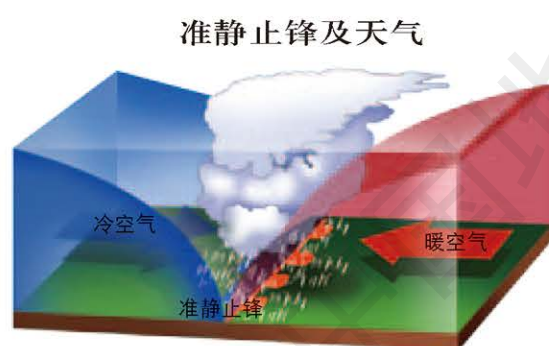
冷锋过境时，该地出现阴雨、大风等天气现象。
冷锋的降水区域在锋后。



暖锋过境前，某地受单一冷气团控制，天气凉爽晴朗。



暖锋过境时，该地出现连续性降水等天气现象。
暖锋的降水区域在锋前。



中国准静止锋分布示意

1 : 55 000 000



冬夏季风进退与中国东部雨带移动

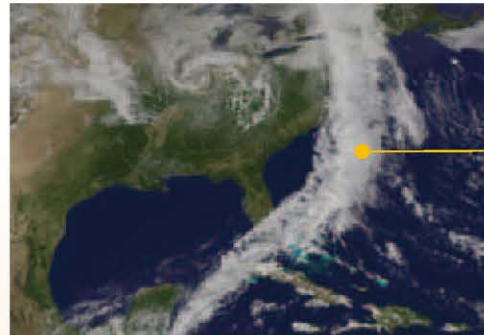
1 : 55 000 000



江淮梅雨天气



冷锋过境后，该地气温降低，气压升高，天气转晴。



冷锋在云图上通常为一条长几千千米的白色云带。

冷锋云图



暖锋过境后，该地气温升高，气压降低，天气转晴。

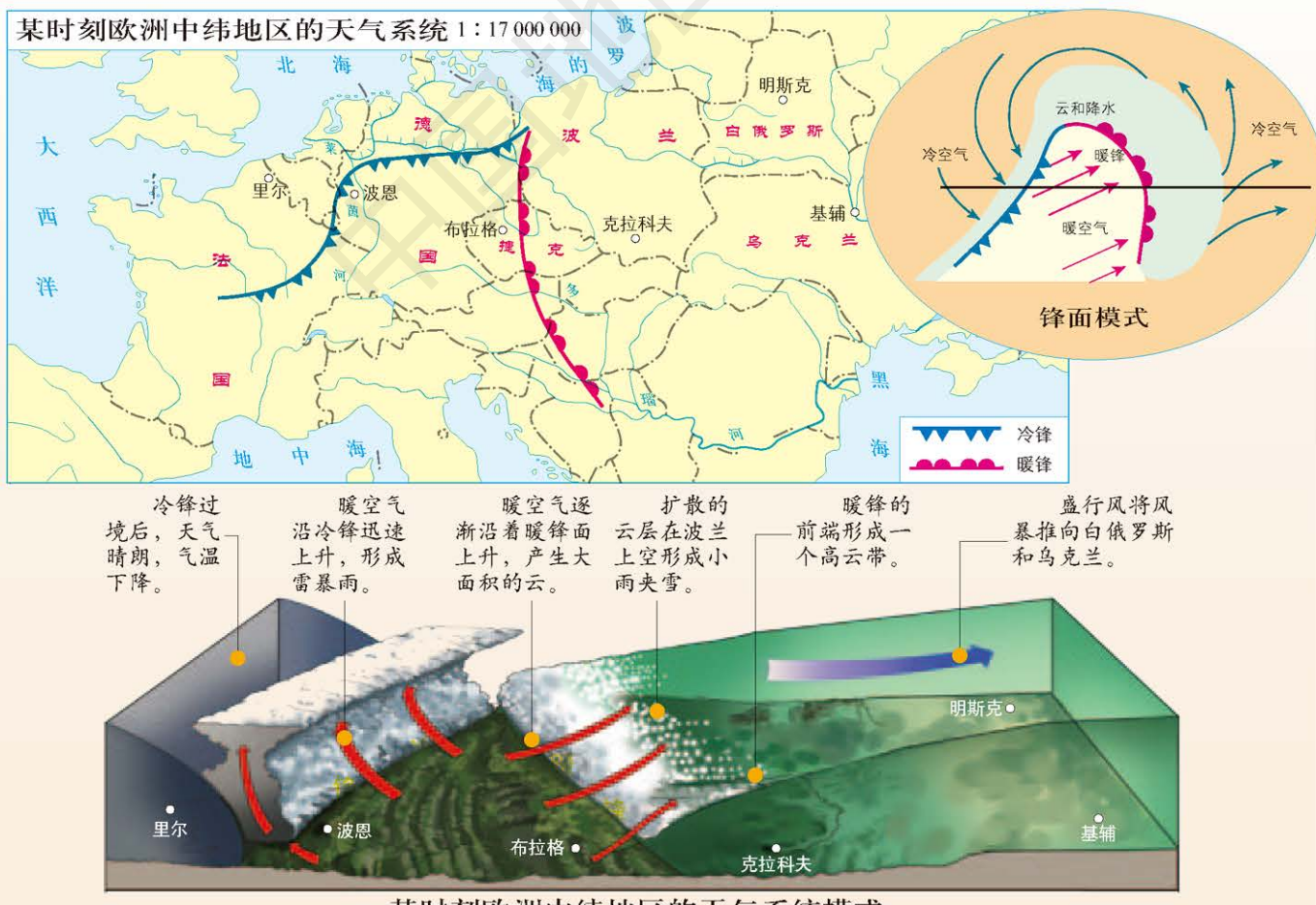


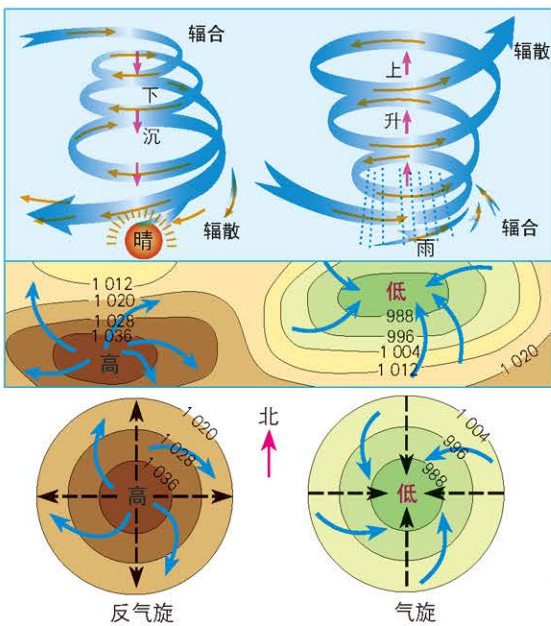
暖锋在云图上通常为一条短而宽的云带。

暖锋云图

欧洲中纬地区的天气系统

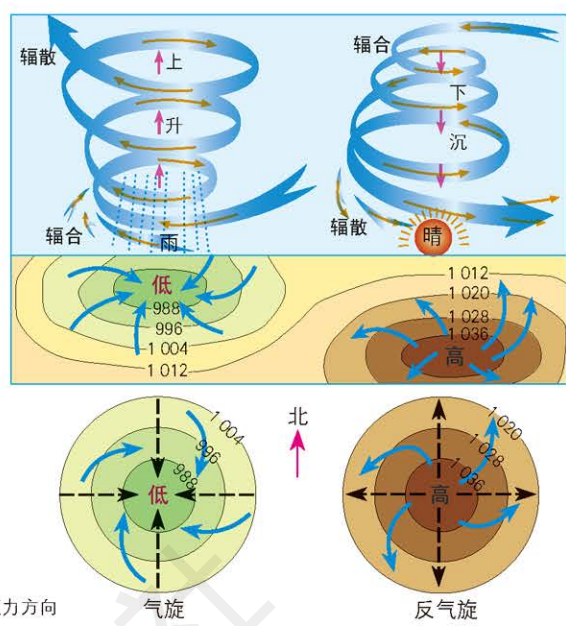
下图反映的天气系统中，冷锋正在西欧上空，暖锋给波兰带来了降水。随着锋面的东移，此天气系统对区域天气的影响还在继续。





反气旋东部吹偏北风，
西部吹偏南风。
气旋东部吹偏南风，
西部吹偏北风。

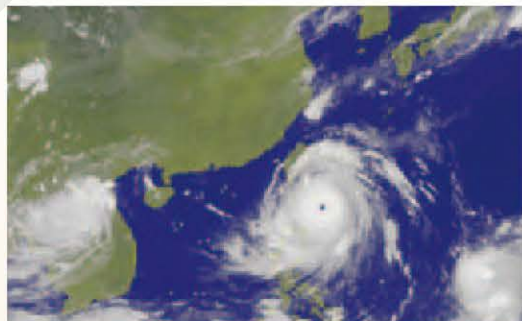
北半球气旋和反气旋



气旋东部吹偏北风，
西部吹偏南风。
反气旋东部吹偏南风，
西部吹偏北风。

南半球气旋和反气旋

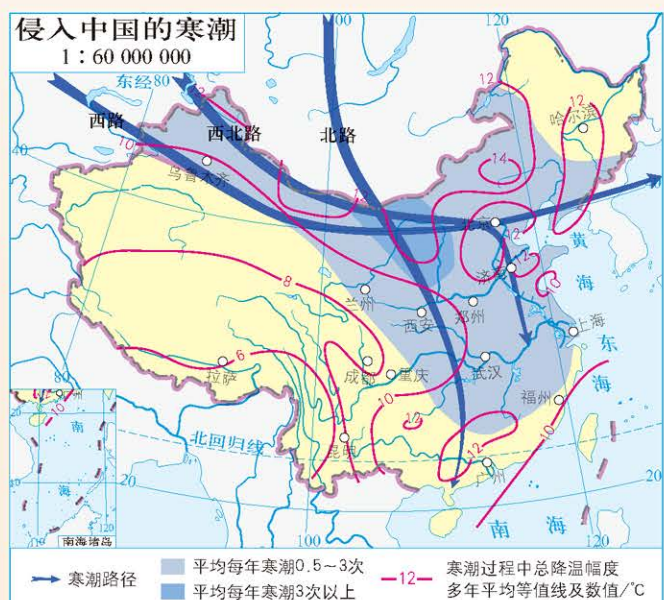
台风和寒潮



2016年14号台风“莫兰蒂”卫星云图

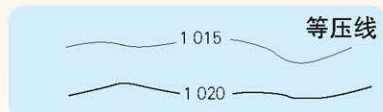


2018年甘肃省玉米受冻

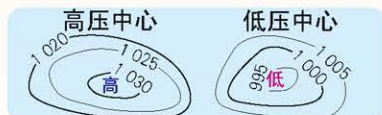


■ 天气图

天气图中常见天气系统的表示方法



等压线上的数值为气压值，单位常用百帕。一般将气压值为10的整倍数的等压线加粗表示。



等压值内高外低时为高压中心。等压值内低外高时为低压中心。



冷锋一般用蓝色实线表示，并在冷气团移动方向一侧绘制蓝色三角符号。



暖锋一般用红色实线表示，并在暖气团移动方向一侧绘制红色半圆符号。

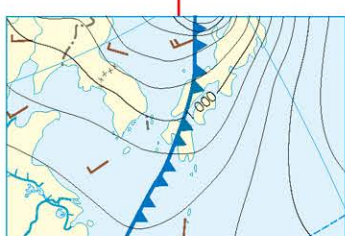
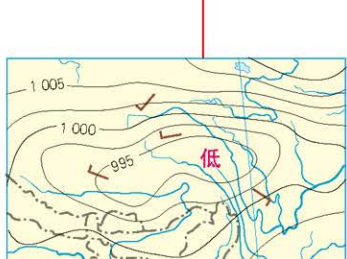
天气图的判读方法



“F”符号中不同数量的齿，代表不同风力大小，“F”顶部指向的方向为风向。

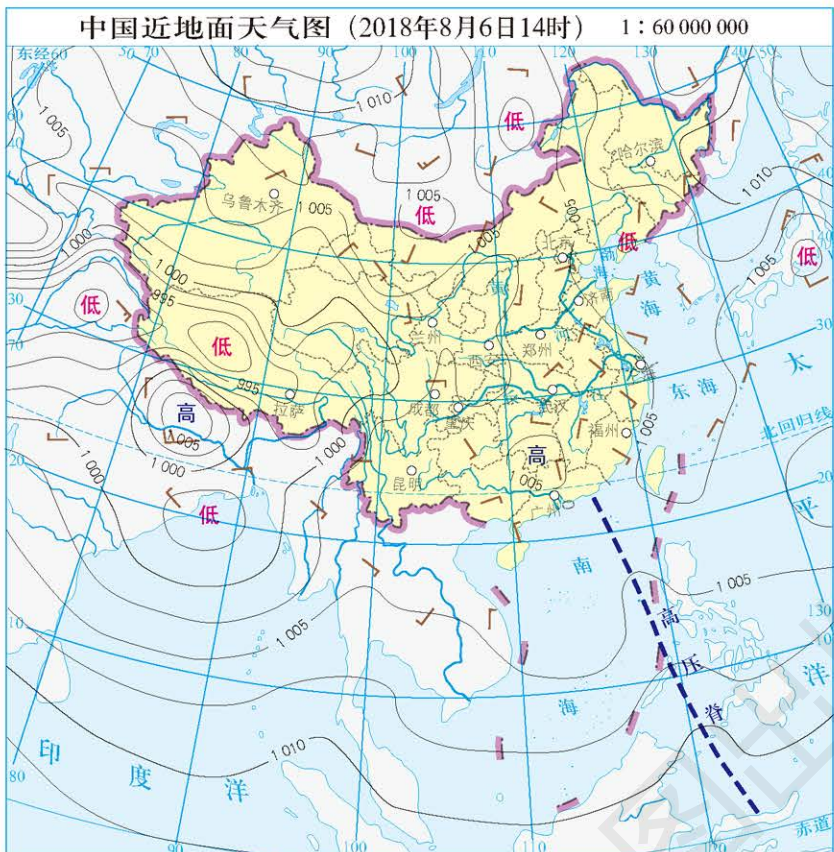


台风中心一般用涡旋状符号表示。



■ 利用天气图分析常见天气现象

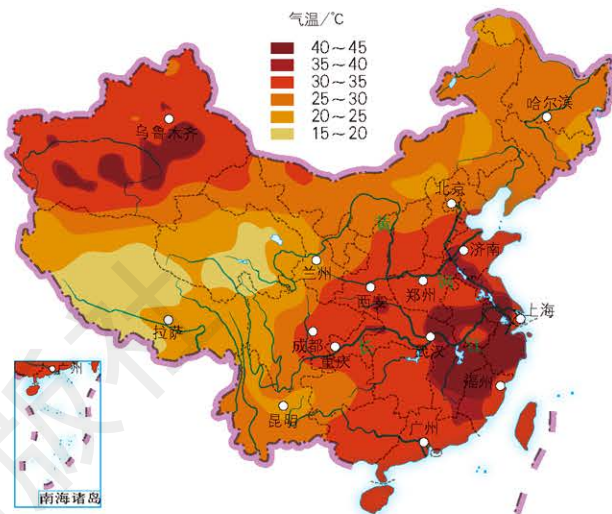
中国天气图与高温分析



高气压中心向外延伸的狭窄区域叫高压脊。天气图上表示高压脊的等压线以凹面朝向高压。脊附近的空间等压面呈上凸形，类似山脊。

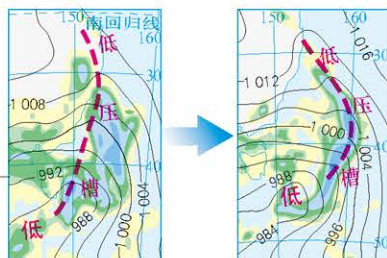
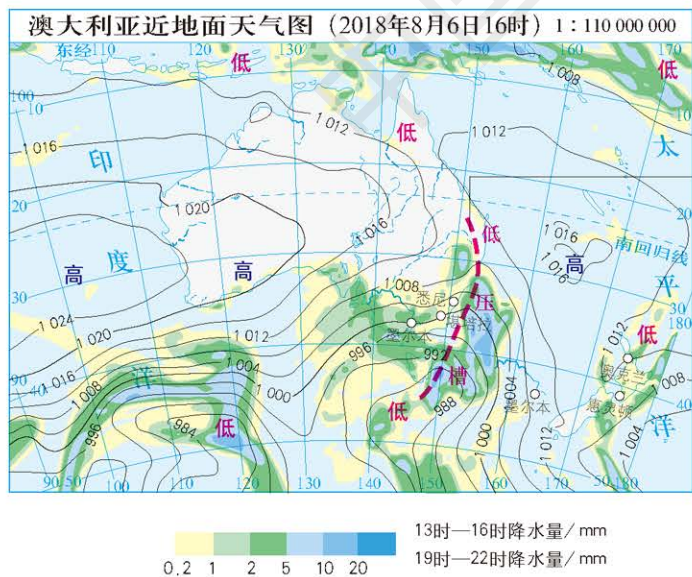
中国最高气温预报

(2018年8月6日20时—8月7日20时)
1 : 60 000 000

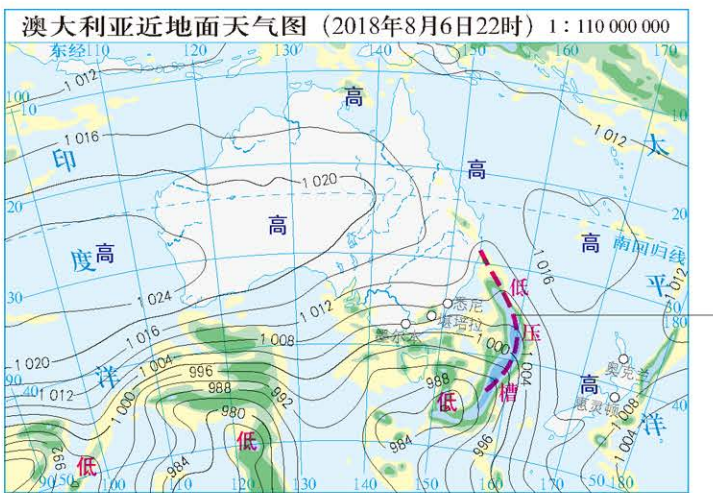


2018年8月6日，西北太平洋地区形成高压脊，我国东南部大部分地区受此影响，形成了高温天气。

澳大利亚天气图与降水量分析



低气压中心向外延伸的狭窄区域叫低压槽。天气图上表示低压槽的等压线以凹面朝向低压。槽附近的空间等压面呈下凹形，类似山谷。

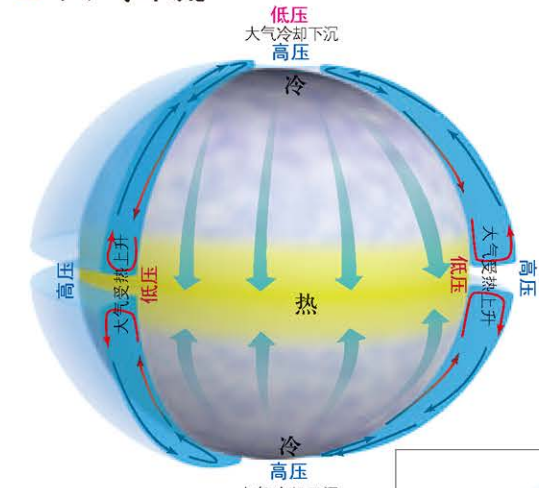


读图指导

- ①明确天气现象发生的时间。
- ②按照时间顺序，依次观察低压槽的位置，低压槽与降水量的关系；
- ③知道低压槽区域形成大范围降水。随着低压区的移动，降水区域向东南方向推移。

第二节 气压带、风带对气候的影响

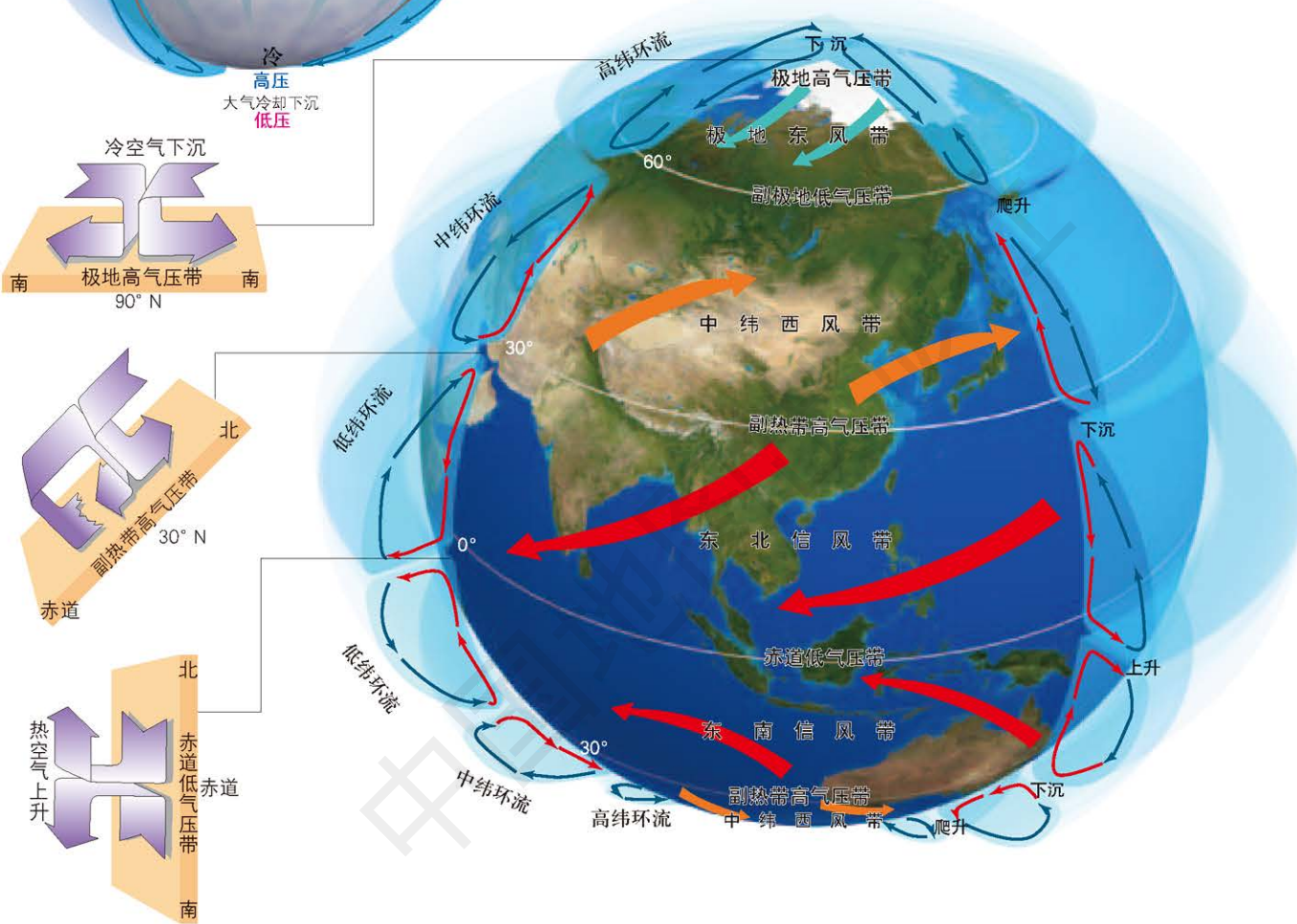
■ 大气环流



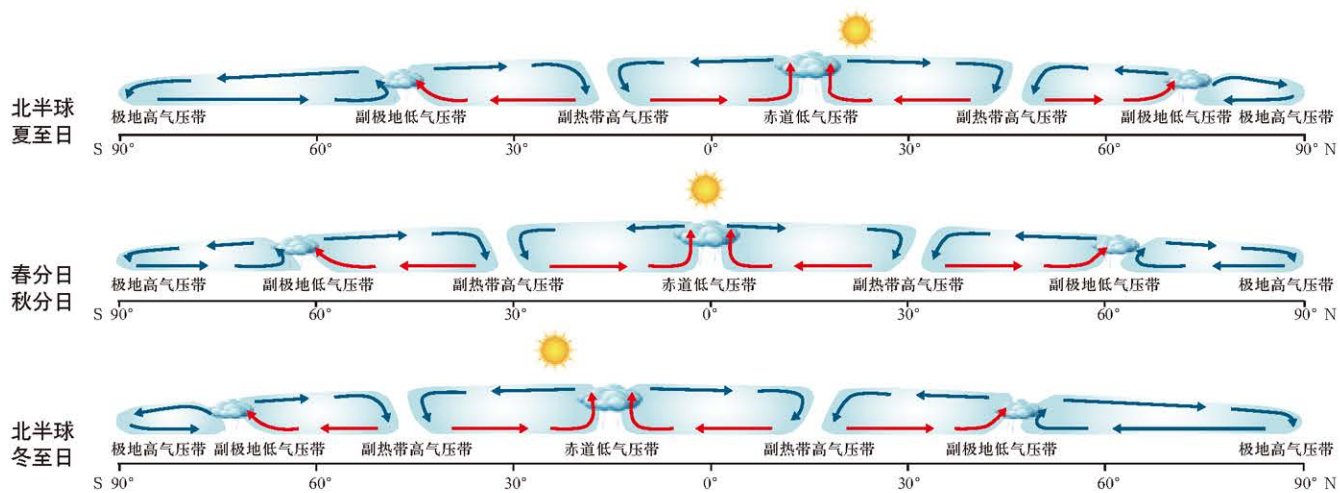
假想状态下赤道与极地间的热力环流

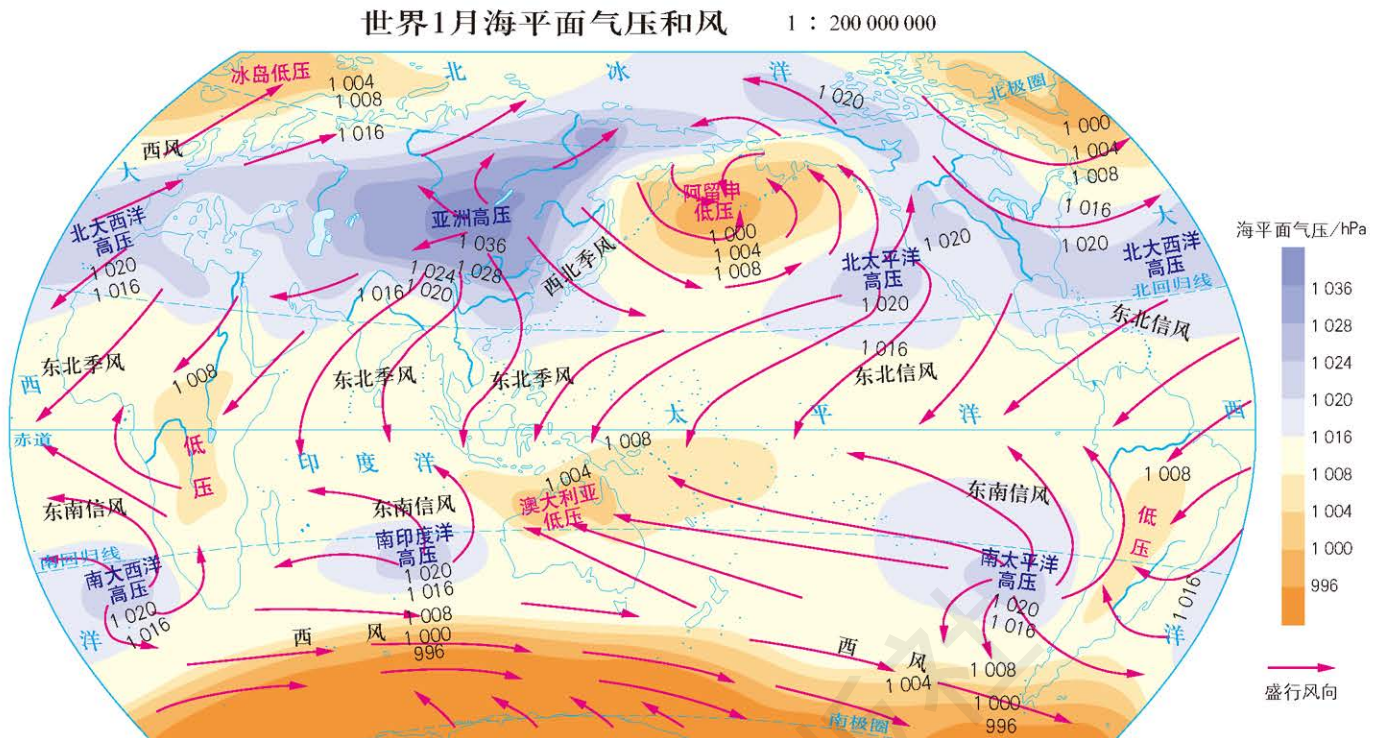
假设大气在均匀的地球表面运动，而且地球不自转，由于赤道地区和极地地区所受热力差异的作用，高空气流由赤道流向极地，近地面气流由极地流向赤道，形成赤道与极地间的单圈热力环流。

全球大气环流、气压带和风带

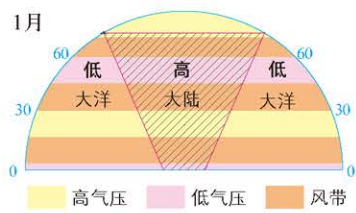


地球表面气压带和风带的季节移动

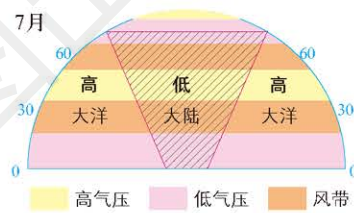




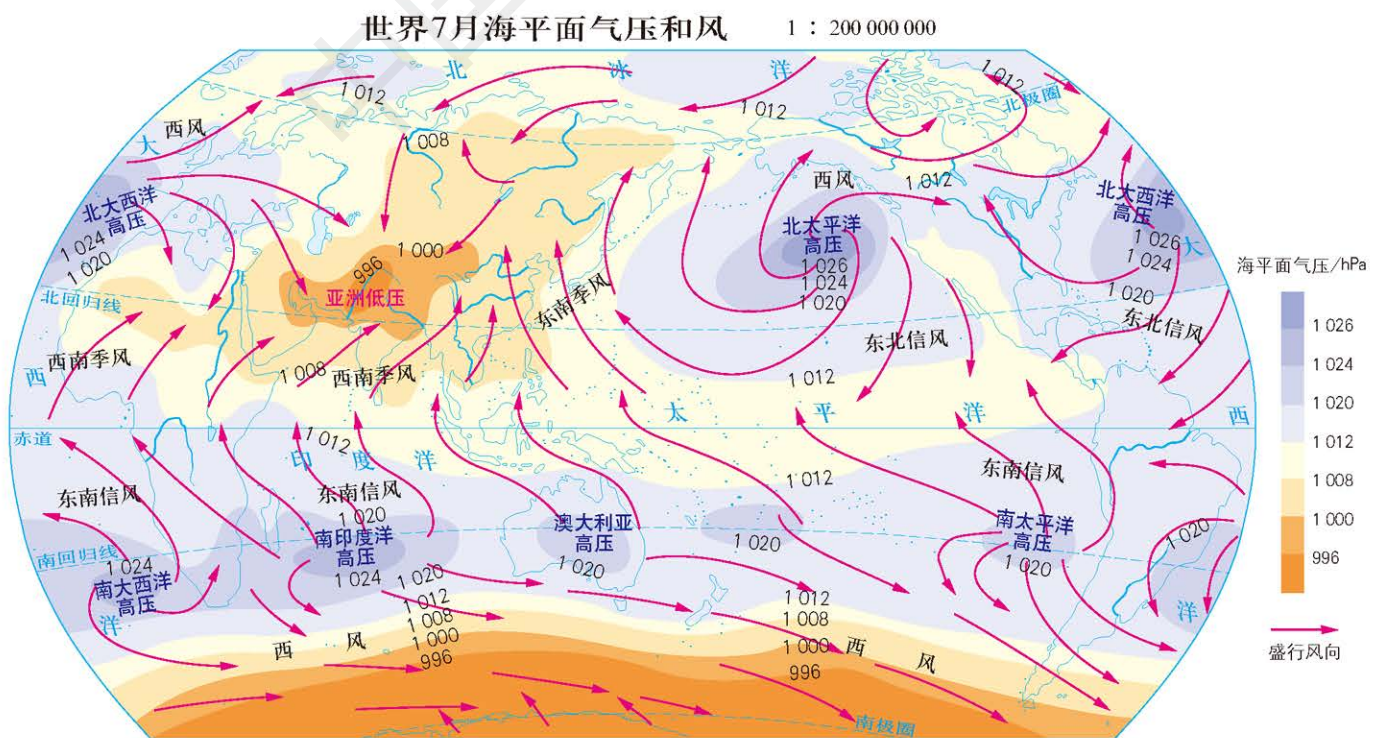
海陆分布对气压带的影响



随太阳直射点南移，中纬度地区被副极地低气压带控制，陆地局部高压切断副极地低气压带，形成若干团状低压。



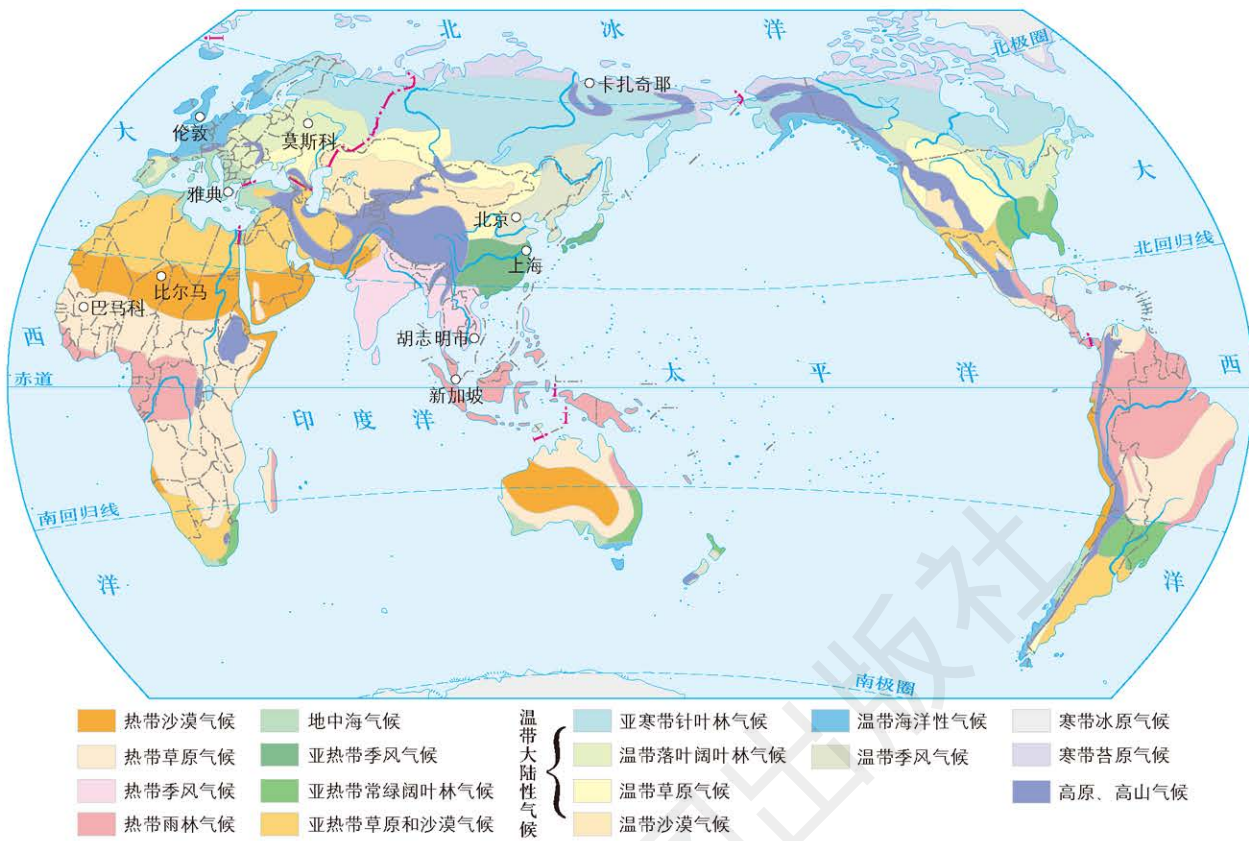
随太阳直射点北移，中纬度地区被副热带高气压带控制，陆地局部低压切断副热带高气压带，形成若干团状高压。



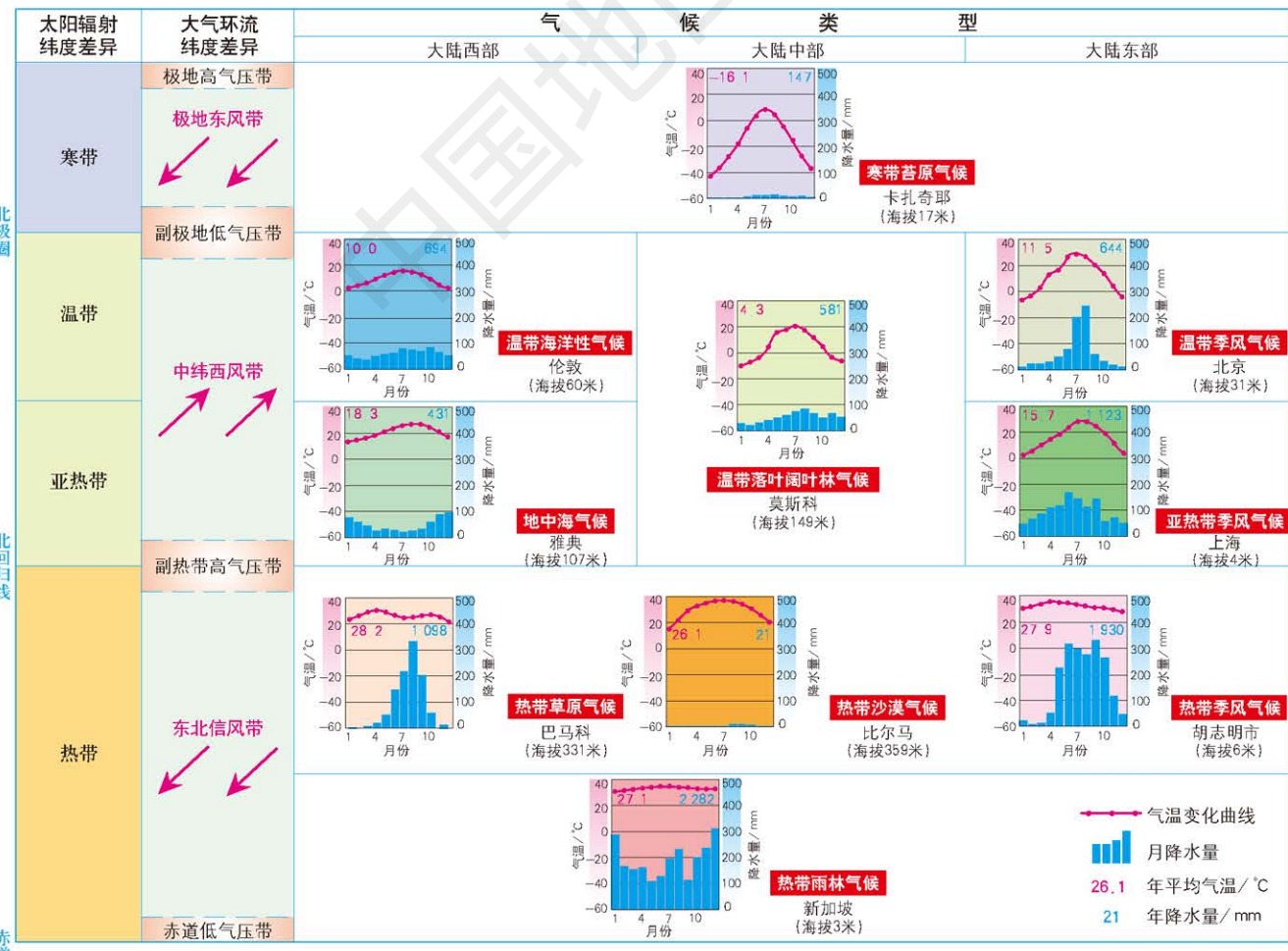
气压带、风带对气候形成的作用

世界主要气候类型分布

1 : 200 000 000

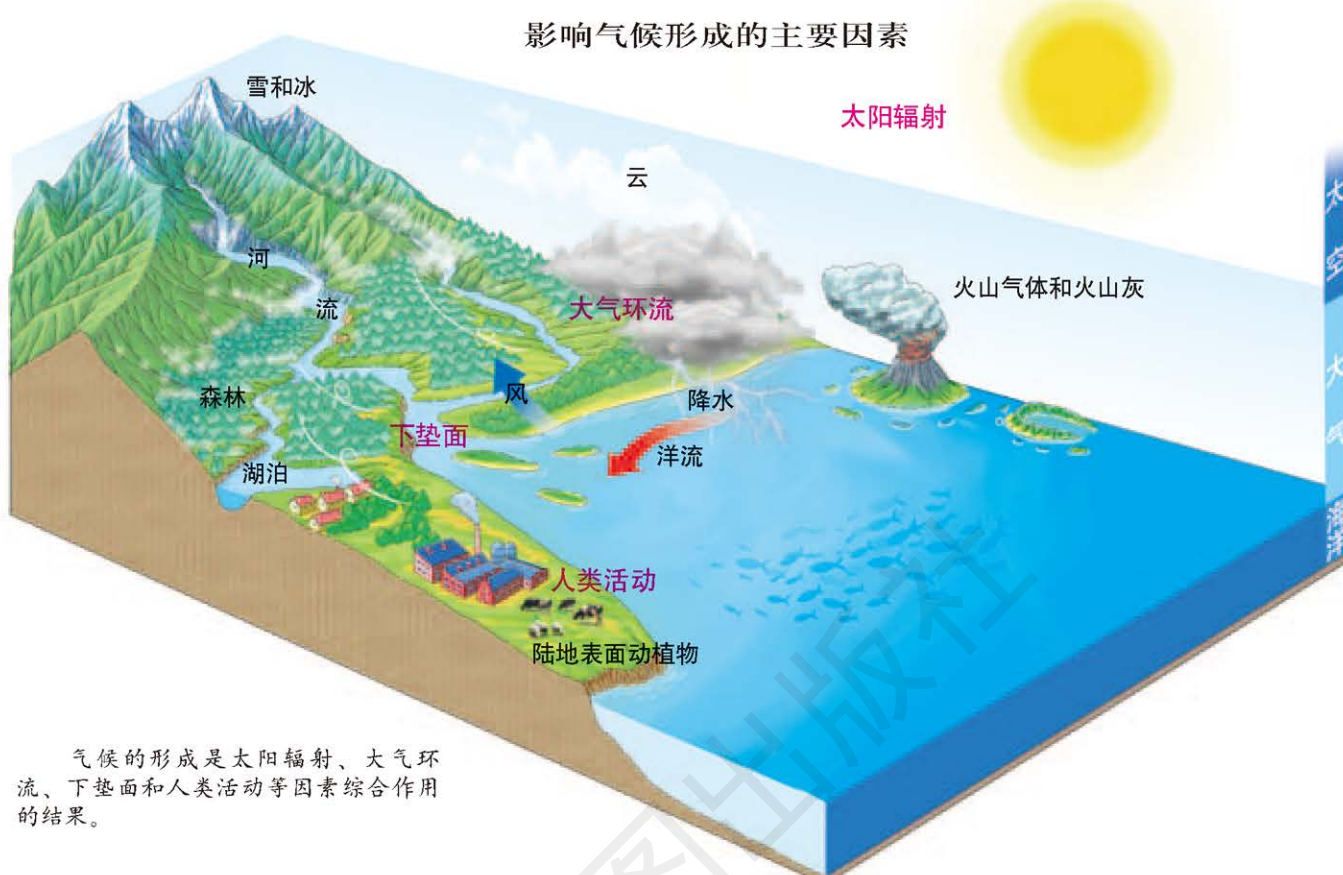


气压带、风带与世界主要气候类型的关系



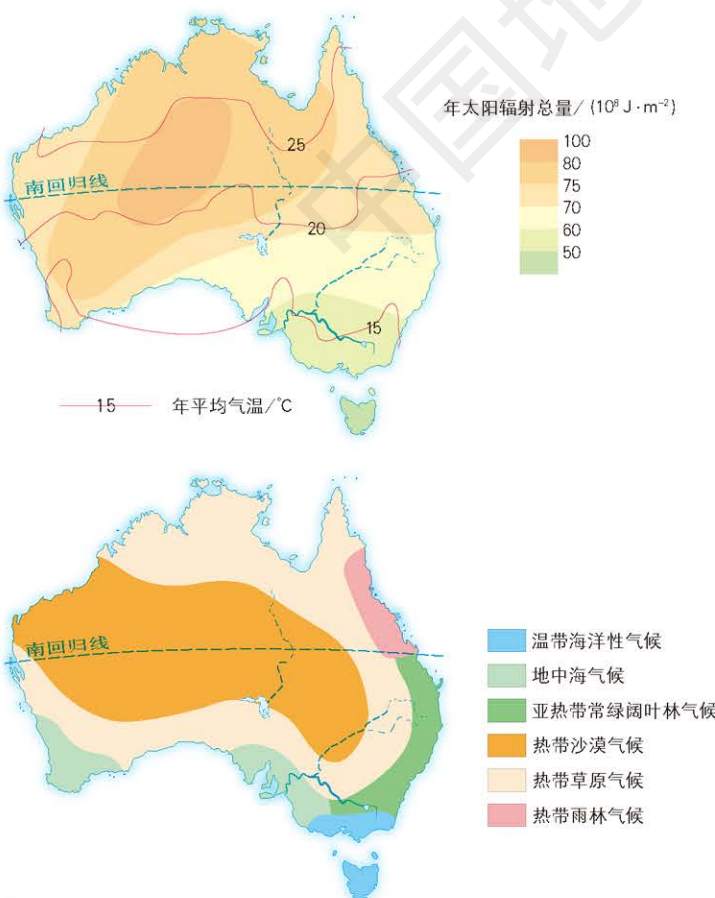
第三节 气候的形成及其对自然地理景观的影响

■ 气候形成的影响因素

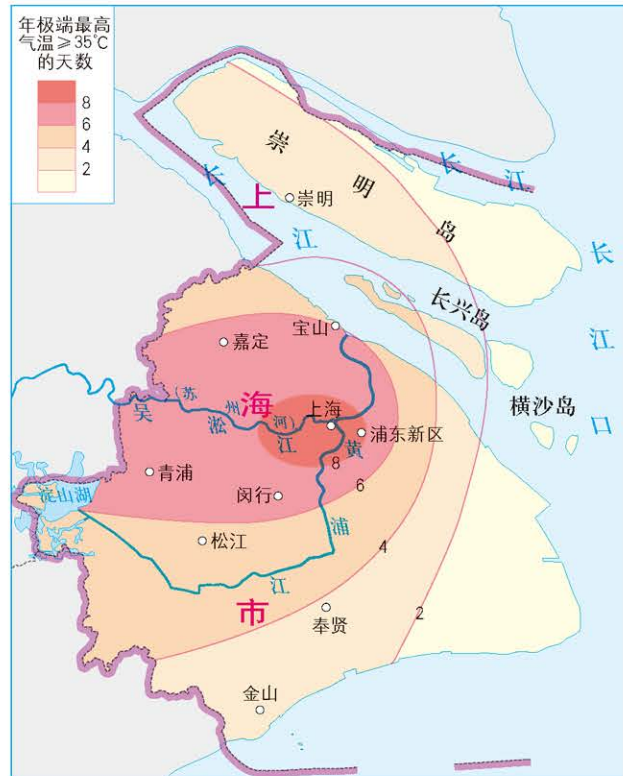


气候的形成是太阳辐射、大气环流、下垫面和人类活动等因素综合作用的结果。

太阳辐射对气候的影响——
以澳大利亚为例 1 : 69 000 000



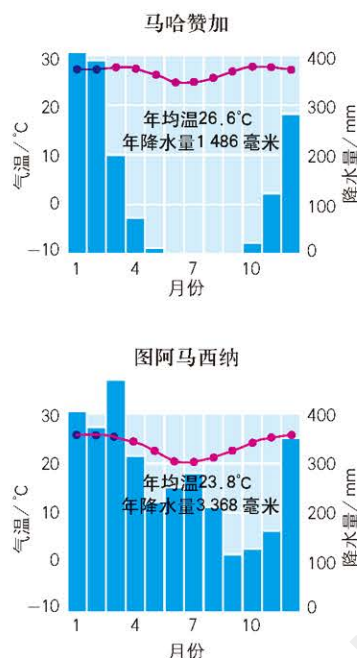
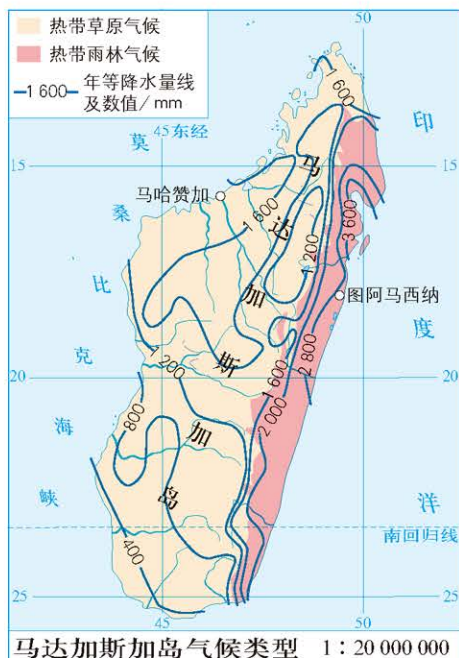
人类活动对气候的影响——以上海市的热岛效应为例 1 : 1 400 000



城市建设下垫面的比热容较小。上海市集中的城市建设，导致人口密集、生产和生活热量释放大。因而产生了较为明显的热岛效应，中心城区气温高于周边地区。

■ 气候对自然地理景观形成的影响

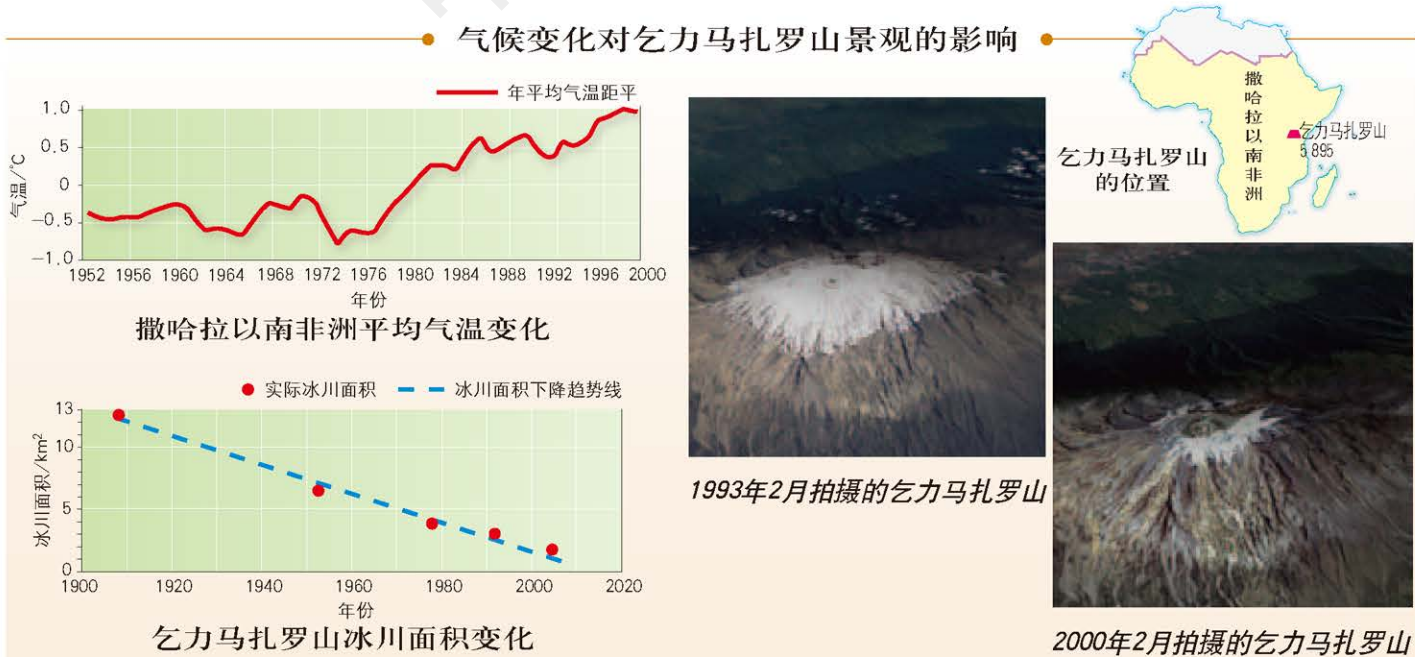
马达加斯加岛气候对自然景观的影响



马哈赞加附近的热带草原景观



图阿马西纳附近的热带雨林景观

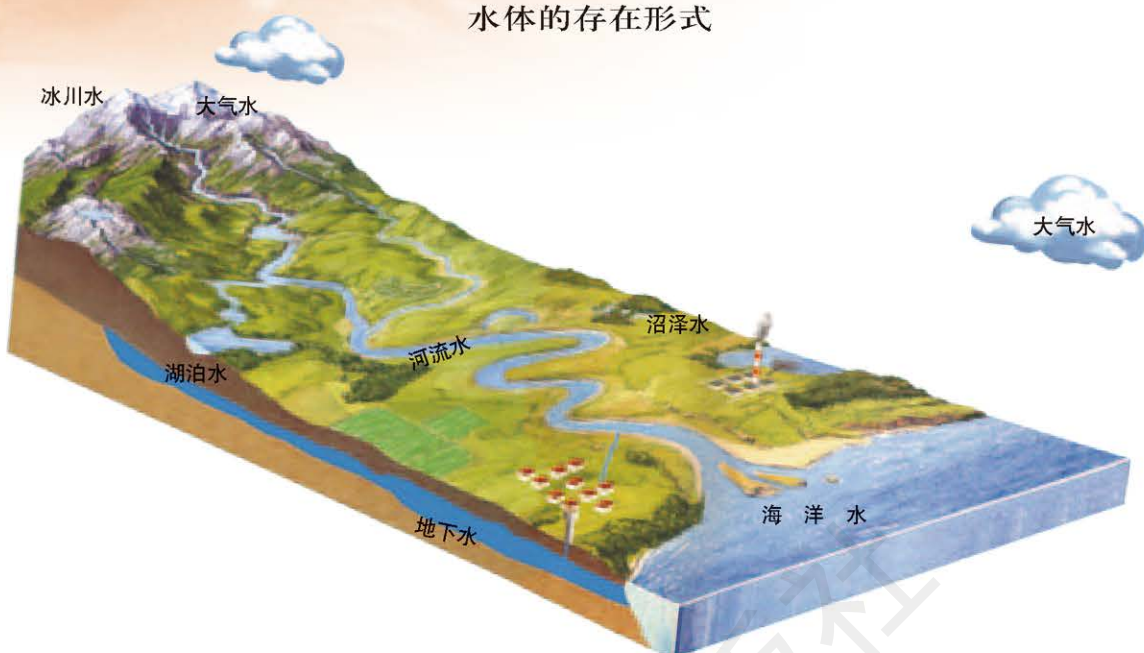


第一节 陆地水体及其关系

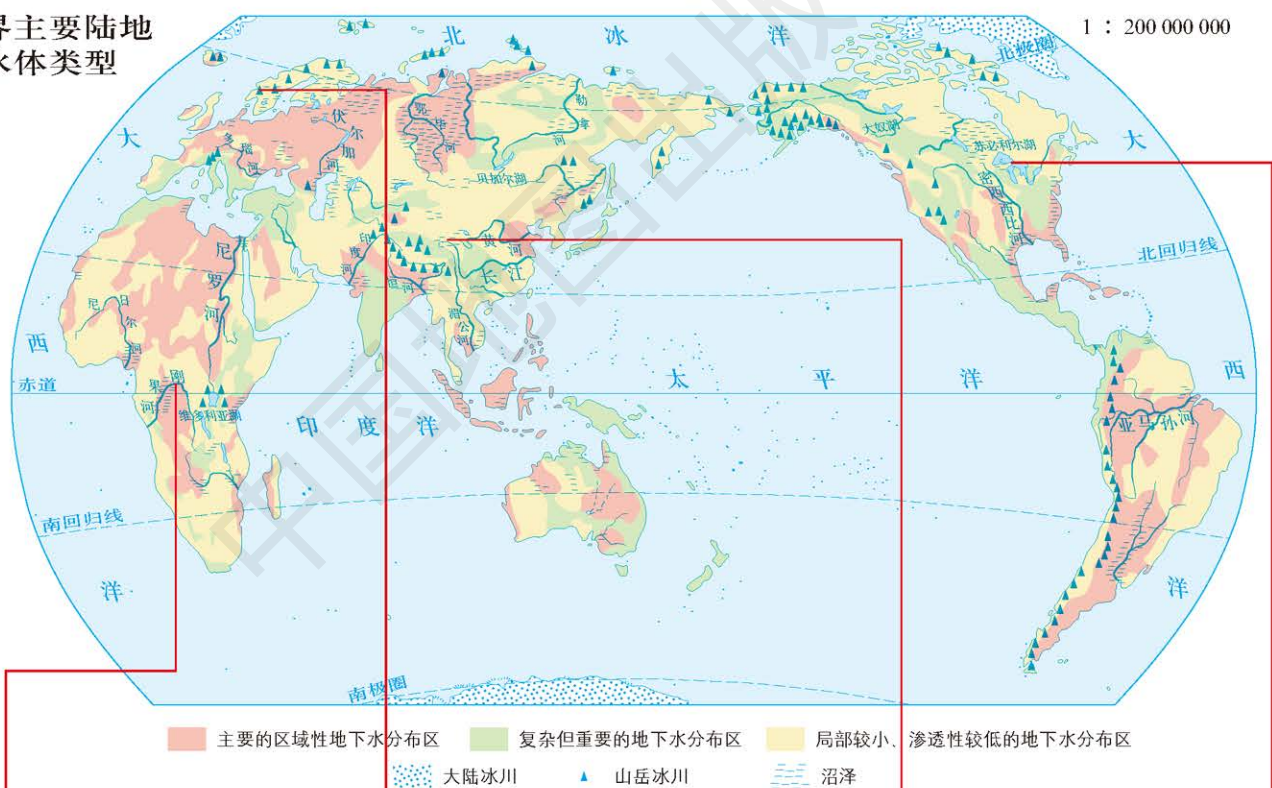
■ 陆地水体的类型

地球上水的运动与能量交换

水体的存在形式



世界主要陆地水体类型



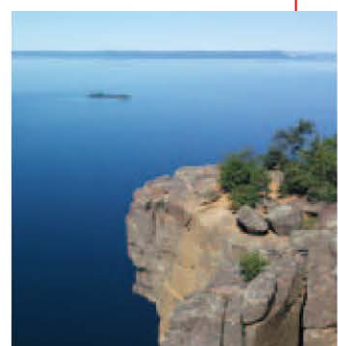
非洲刚果河的河流水



挪威约通黑门山的冰川融水

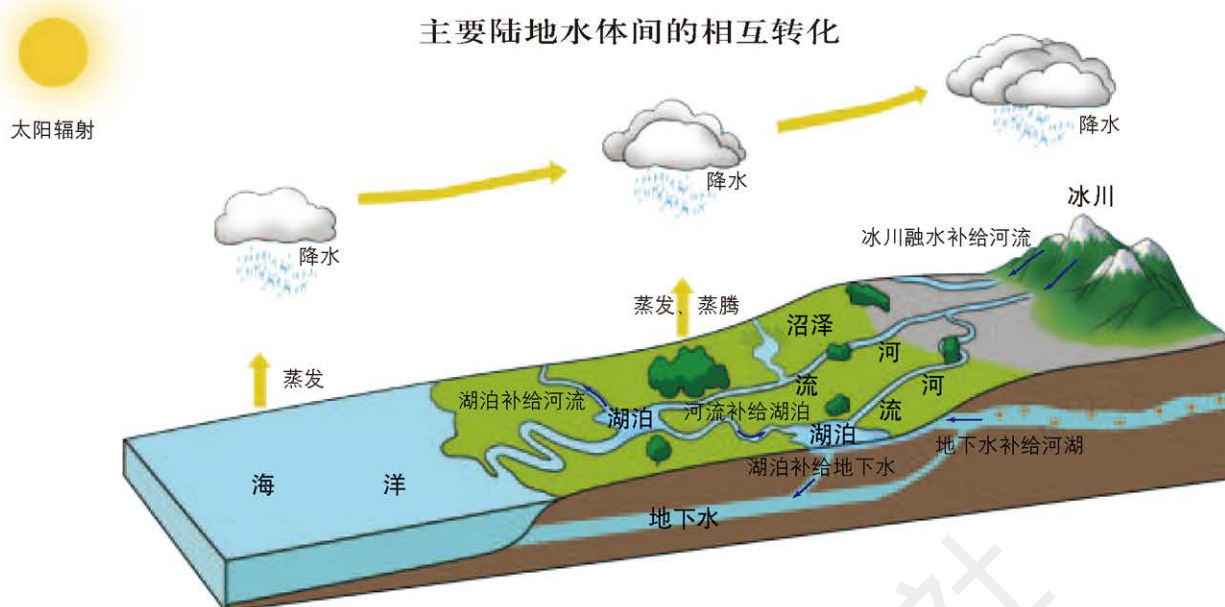


中国三江源的沼泽水

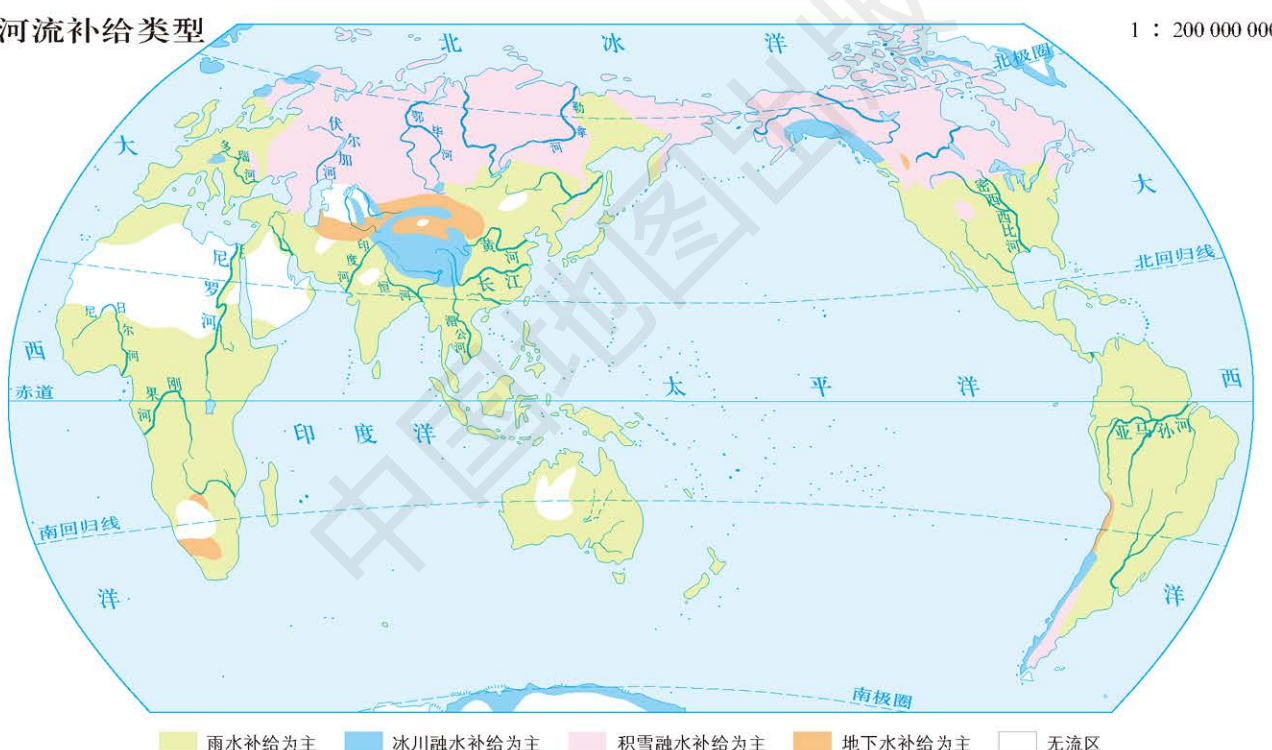


北美苏必利尔湖的湖泊水

■ 陆地水体间的相互关系



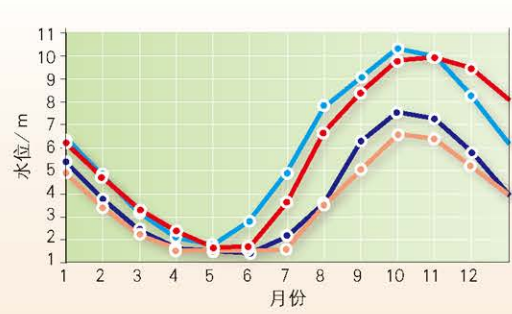
世界河流补给类型



● 洞里萨湖补给的季节变化 ●



洞里萨湖与湄公河



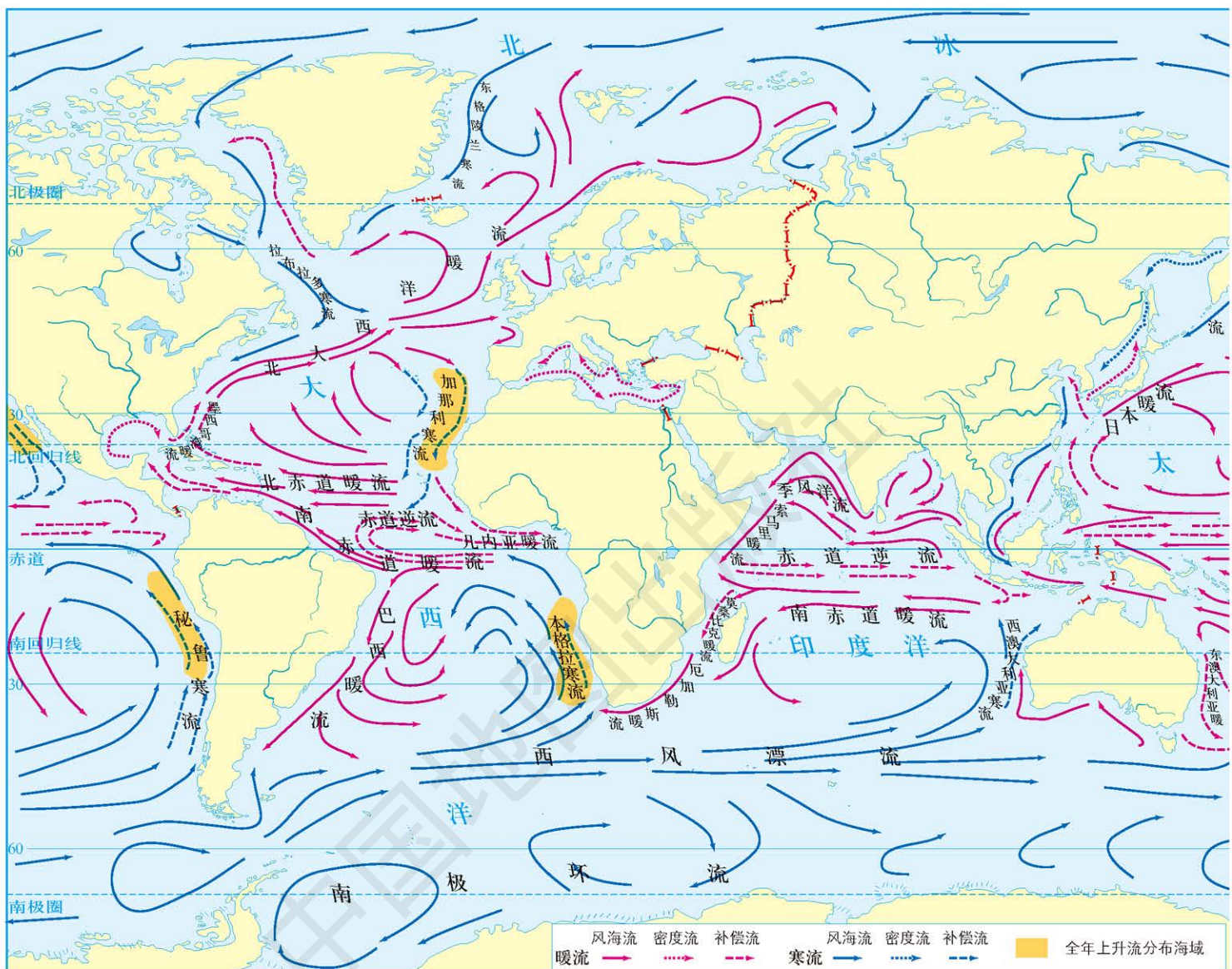
洞里萨湖水位变化

洞里萨湖地处热带季风气候区，受西南季风与东北季风交替影响，这里全年高温，分旱、雨两季。旱季时洞里萨湖补给洞里萨河，雨季时洞里萨河补给洞里萨湖。

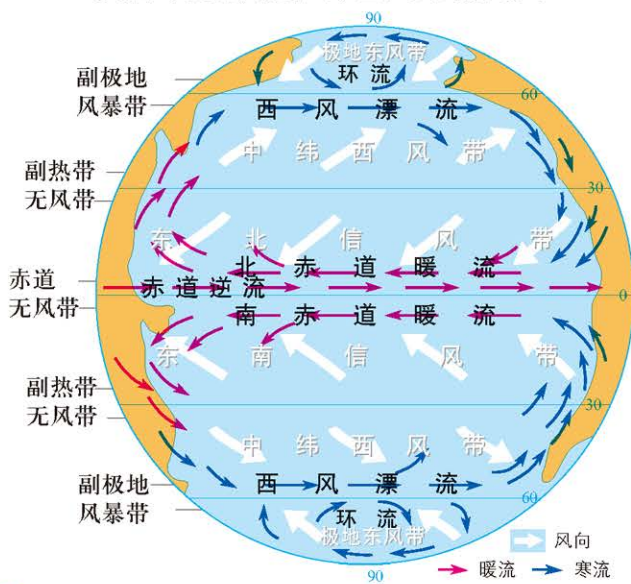
第二节 世界洋流的分布与影响

■ 洋流的分类与分布

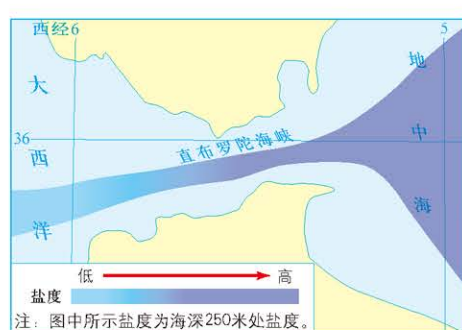
世界洋流分布（北半球冬季） 1 : 160 000 000



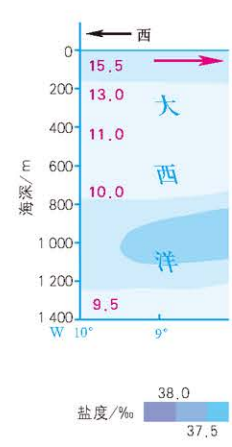
大洋表层洋流和行星风系模式图



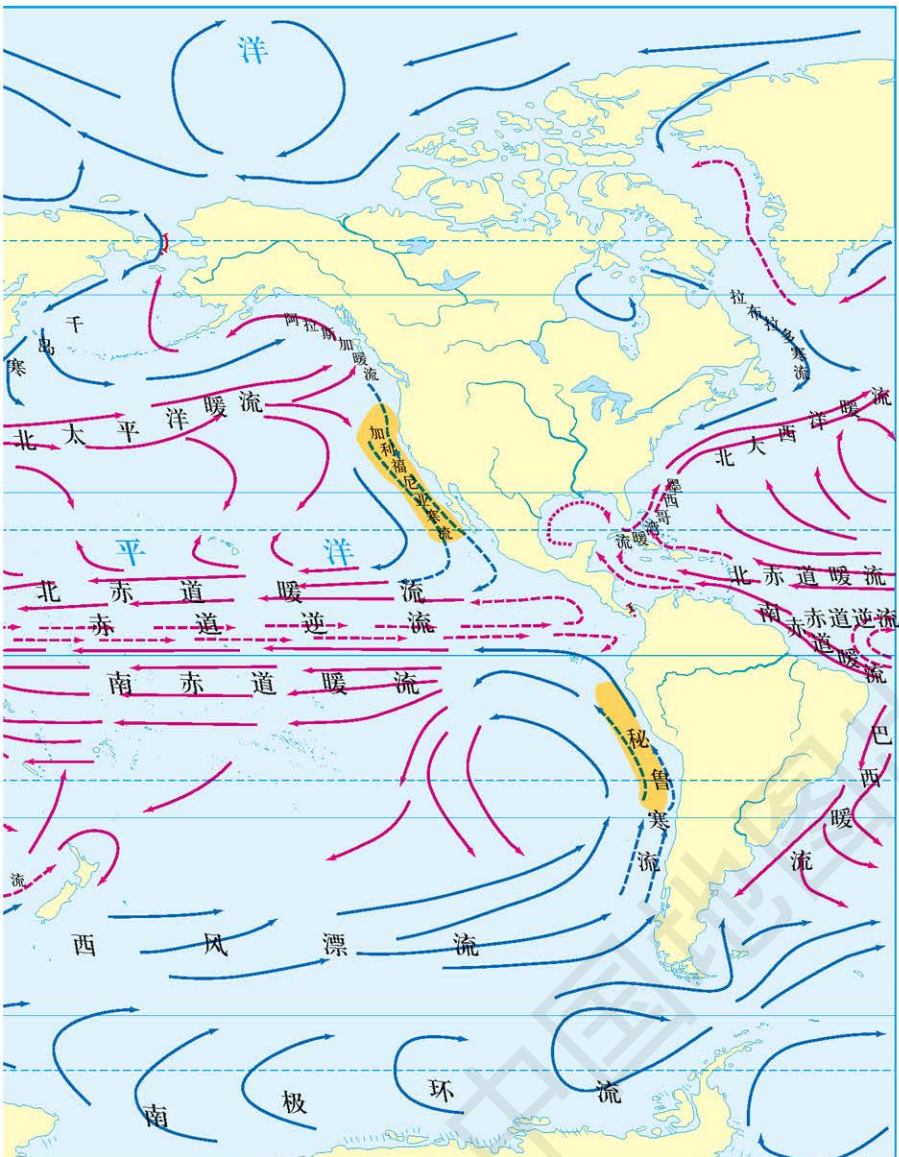
直布罗陀海峡某海深处盐度示意



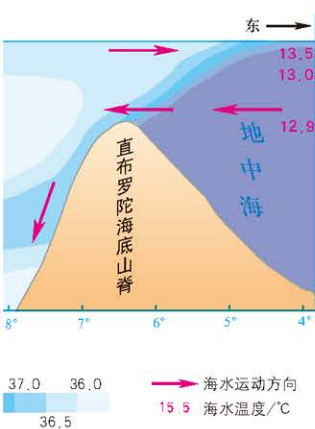
直布罗陀海峡



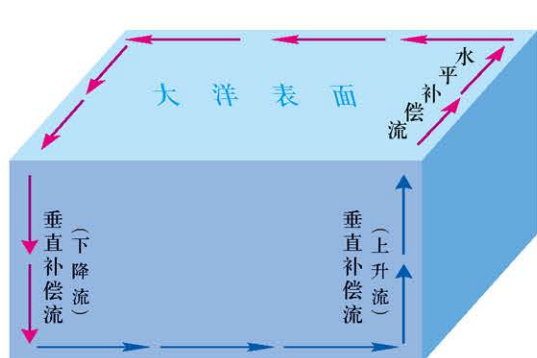
直布罗陀海峡东西两侧因海水盐度差异导致密度的差异，从而引发海水流动，形成密度流。



附近海域密度流的形成



补偿流示意

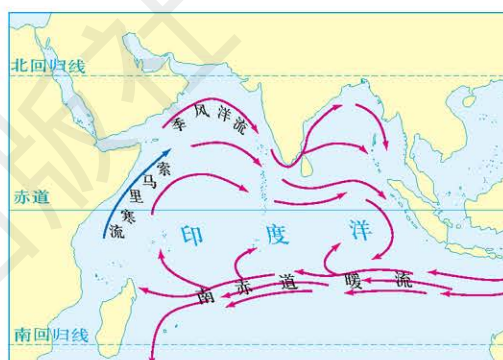


补偿流是因风力和密度差异而形成的洋流，使流出海区的海水减少，相邻海区的海水来补充所形成的海水流动。

北印度洋洋流流向的季节变化



1月

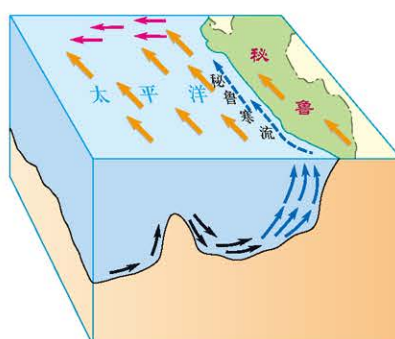


7月

读图指导

- 以北太平洋海域为例，观察暖流和寒流的分布规律；
- 知道北太平洋海域洋流整体呈顺时针方向流动，大陆东岸为暖流，大陆西岸为寒流；
- 依次观察其他海域寒流和暖流的分布规律，绘制世界洋流分布模式图。

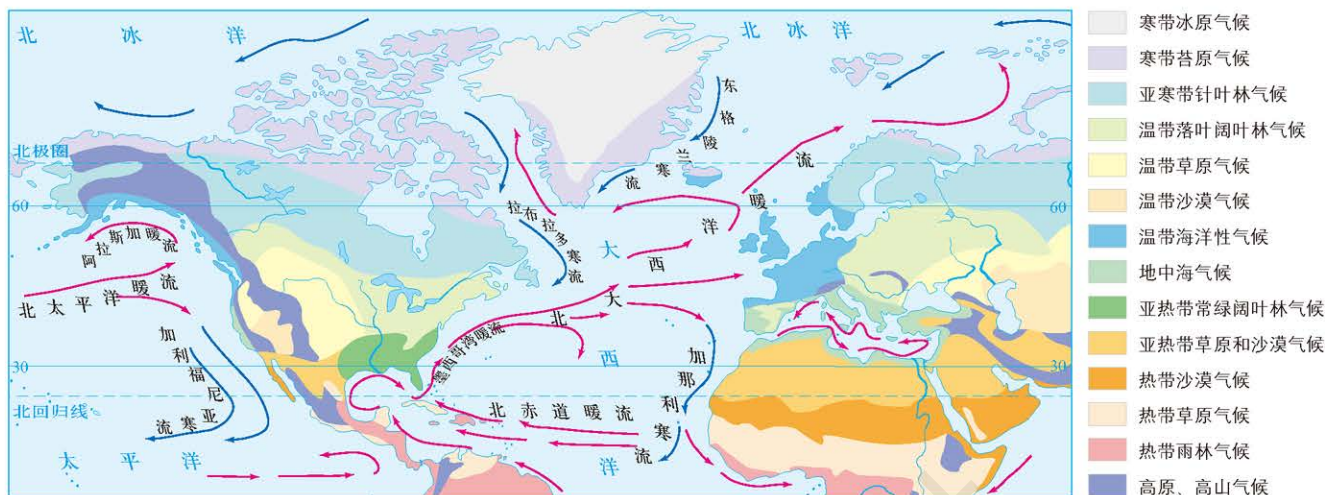
秘鲁沿岸垂直补偿流的形成



补偿流：↑ 上升流
风海流：→ 表层暖流
↓ 底层流
→ 表层寒流
— 东南信风

■ 洋流对自然地理环境和人类活动的影响

洋流对气候的影响 1 : 150 000 000



墨西哥湾原油泄漏污染事件示意 1 : 20 000 000



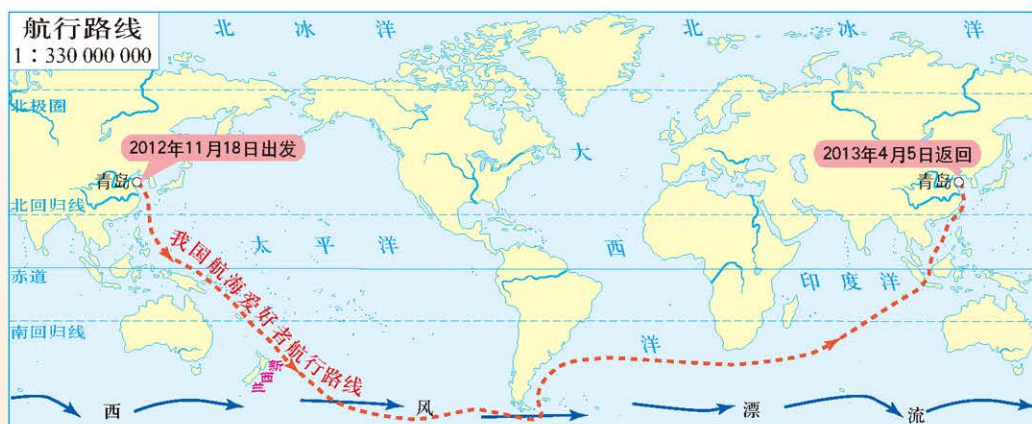
2010年4月20日，位于距美国路易斯安那州海岸约80千米的近海钻井平台发生爆炸并沉没。在此后的近3个月时间，有大约320万桶原油泄露，导致墨西哥湾大规模的原油污染。



2010年5月拍摄的墨西哥湾

泄露的原油在墨西哥湾暖流的作用下，逐渐扩散到其他海域，增大了污染范围。

我国航海爱好者的环球航行



2012年，我国航海爱好者从青岛出发，依次穿越太平洋、大西洋和印度洋，实现了环球航行。

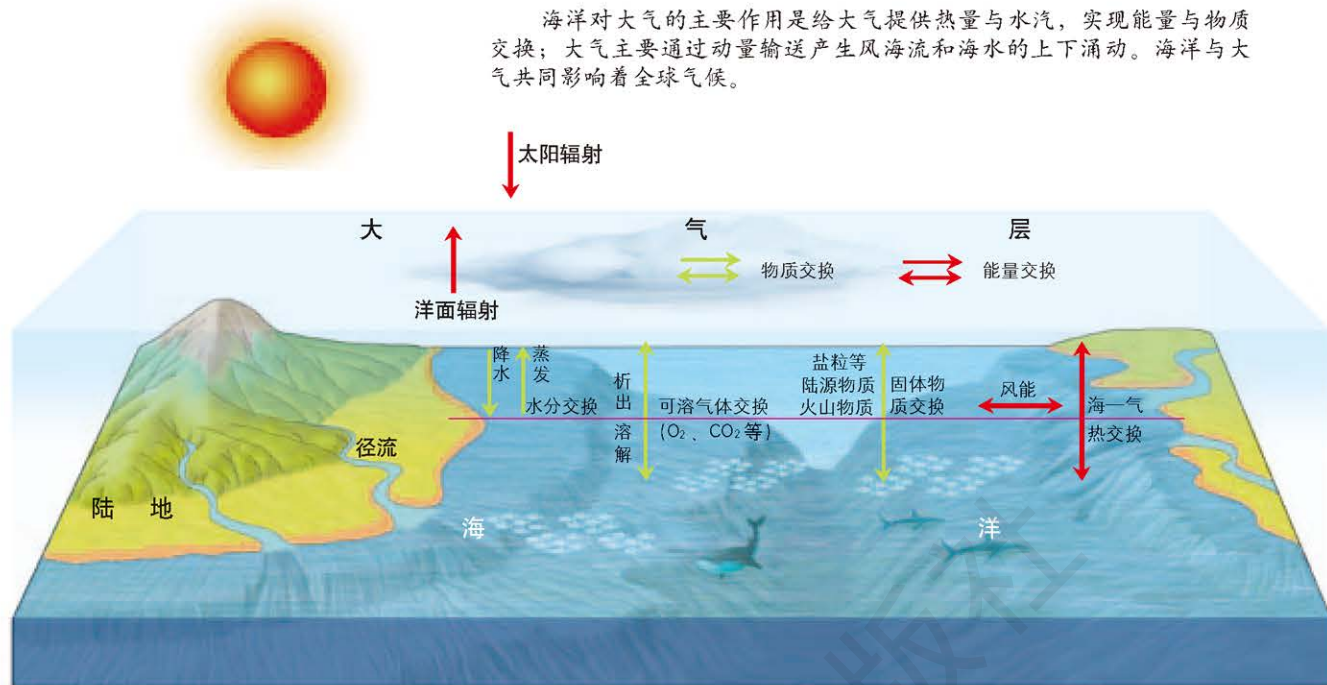
航行经过南半球中纬度的新西兰附近海域时，受盛行西风带和西风漂流的影响，顺风顺水，航速加快。

第三节 海—气相互作用及其影响

■ 海—气相互作用

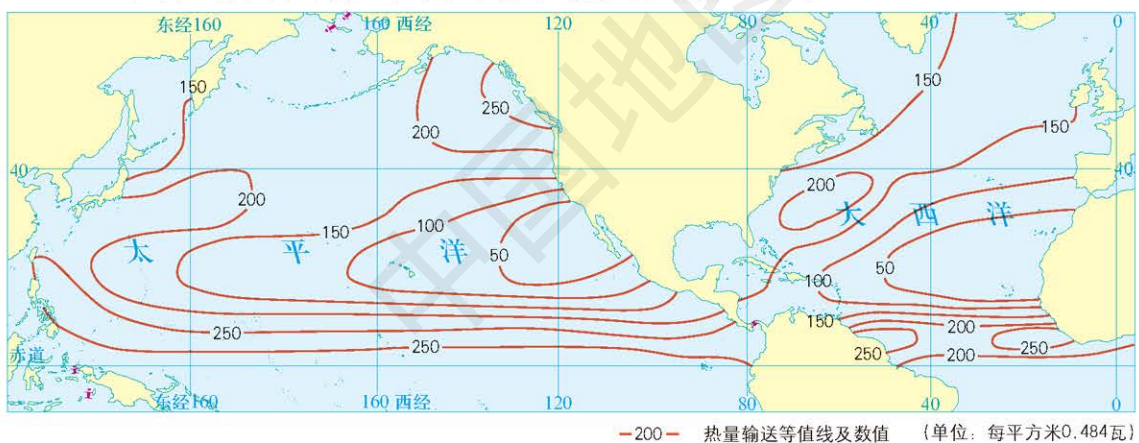
海—气相互作用

海洋对大气的主要作用是给大气提供热量与水汽，实现能量与物质交换；大气主要通过动量输送产生风海流和海水的上下涌动。海洋与大气共同影响着全球气候。



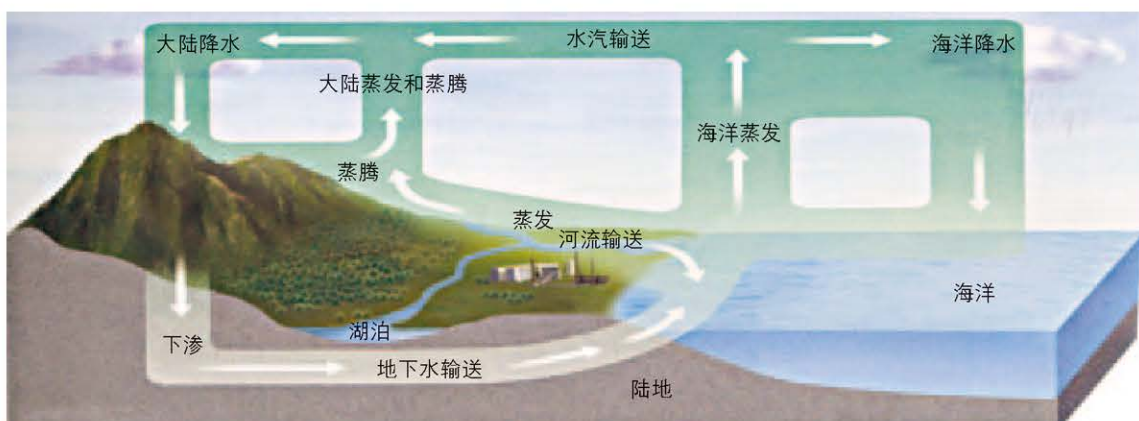
■ 海—气相互作用对全球水热平衡的影响

世界局部海域平均每日向大气输送的热量分布 1 : 150 000 000



海洋是大气最重要的热量储存库。海洋向大气输送的热量受海洋表面水温的影响，水温高的海区，海洋向大气输送的热量多。

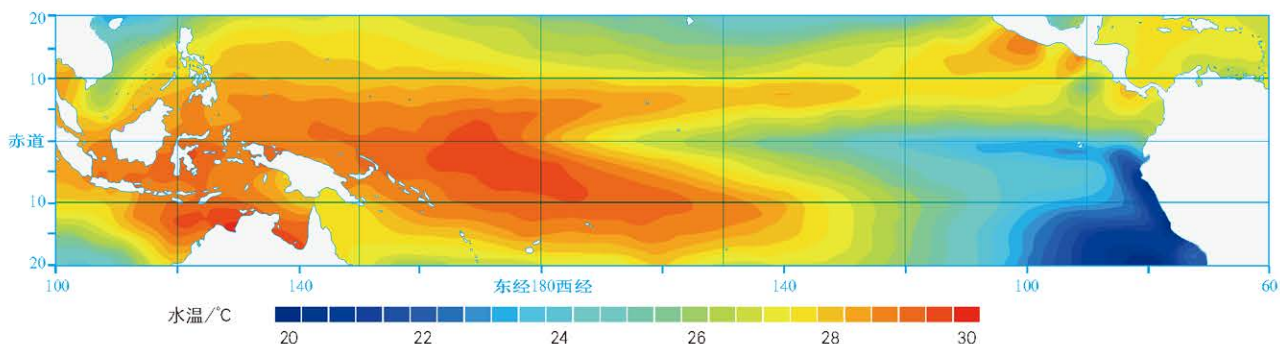
全球水平衡模式



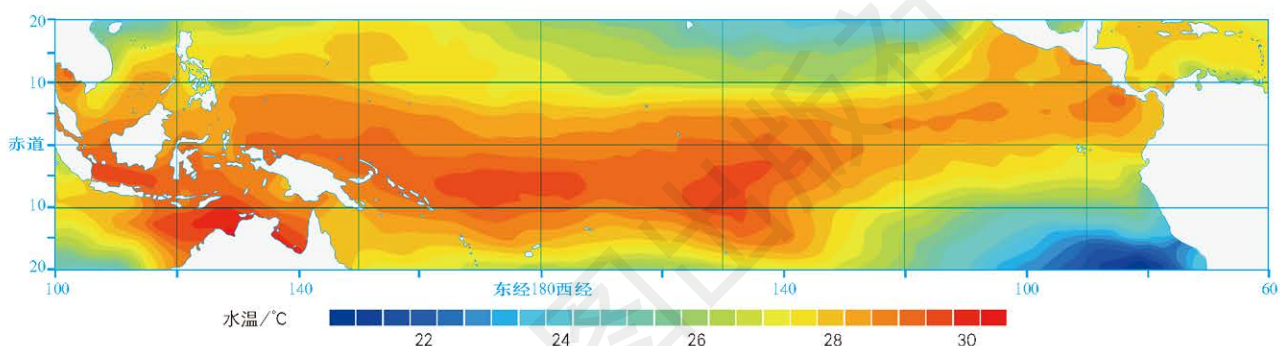
注：大陆降水量+海洋降水量=大陆蒸发蒸腾量+海洋蒸发量。

■ 厄尔尼诺、拉尼娜现象及其影响

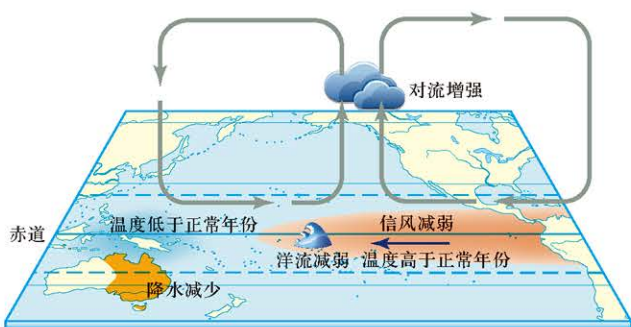
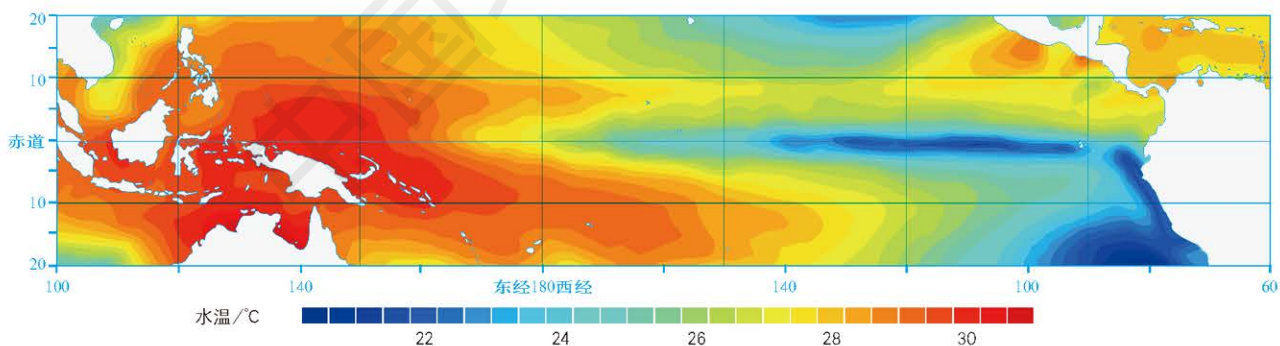
正常年太平洋表层水温分布（1993年12月）



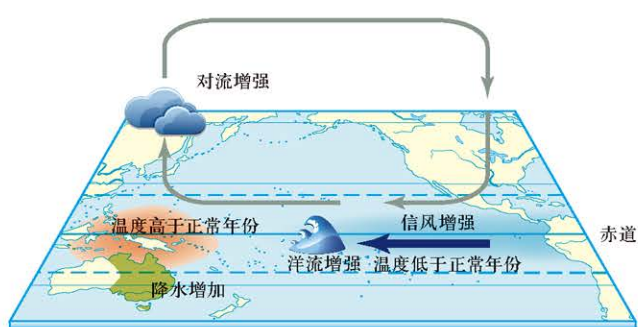
厄尔尼诺现象发生时太平洋表层水温分布（1997年12月）



拉尼娜现象发生时太平洋表层水温分布（1998年12月）

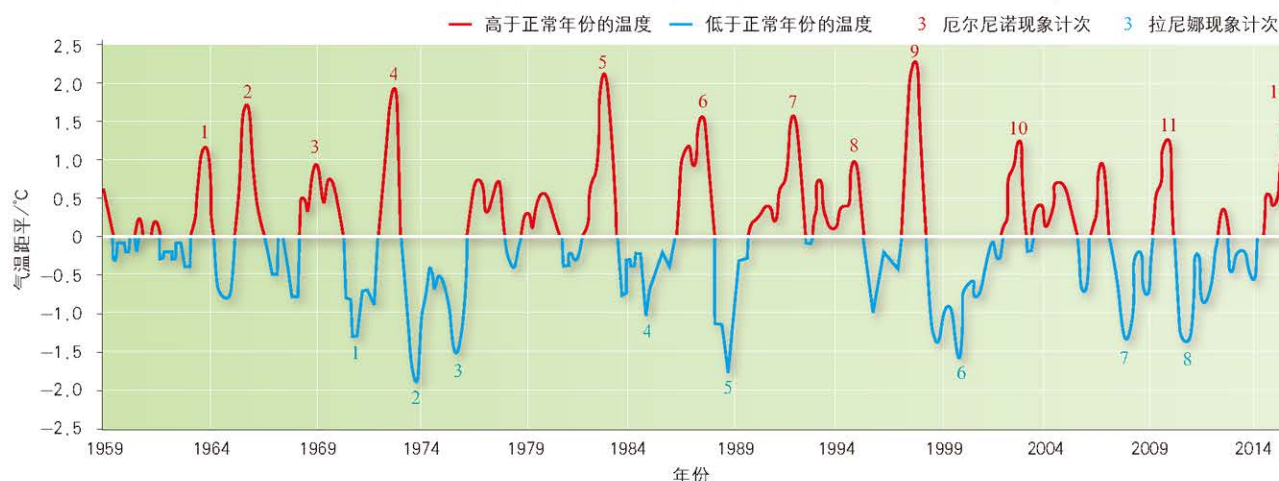


厄尔尼诺年的大气环流示意



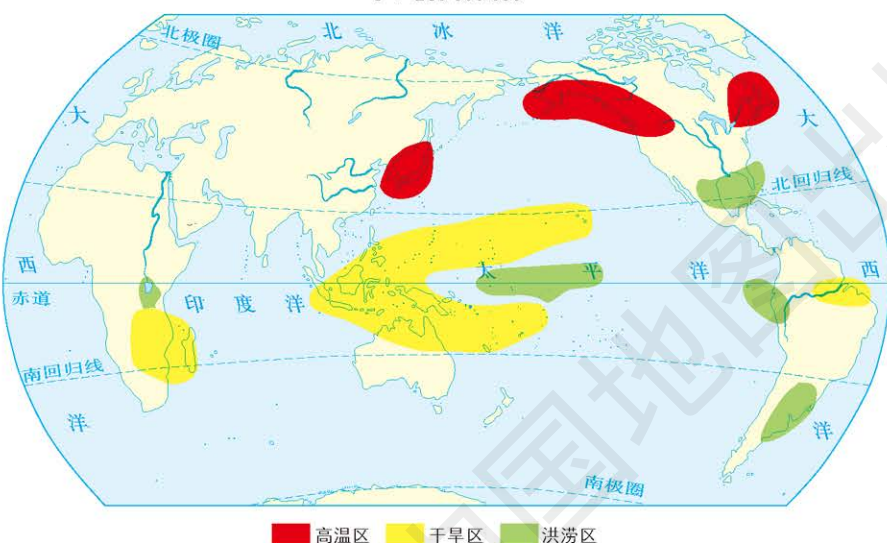
拉尼娜年的大气环流示意

厄尔尼诺、拉尼娜现象发生时太平洋赤道地区海面气温异常情况



厄尔尼诺现象与天气异常

1 : 280 000 000

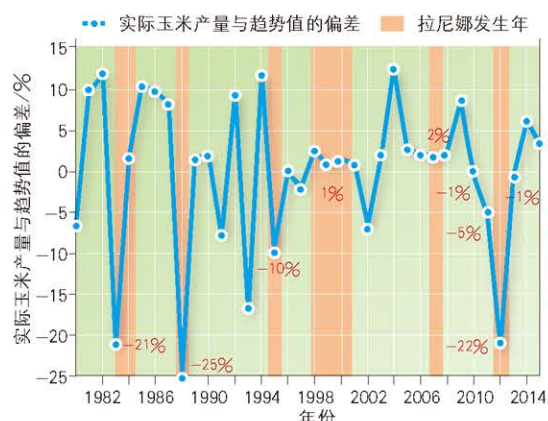


秘鲁渔获率与厄尔尼诺现象的关系



厄尔尼诺现象发生时，海水温度异常导致鱼群数量减少，影响捕鱼业，甚至造成渔场关闭。

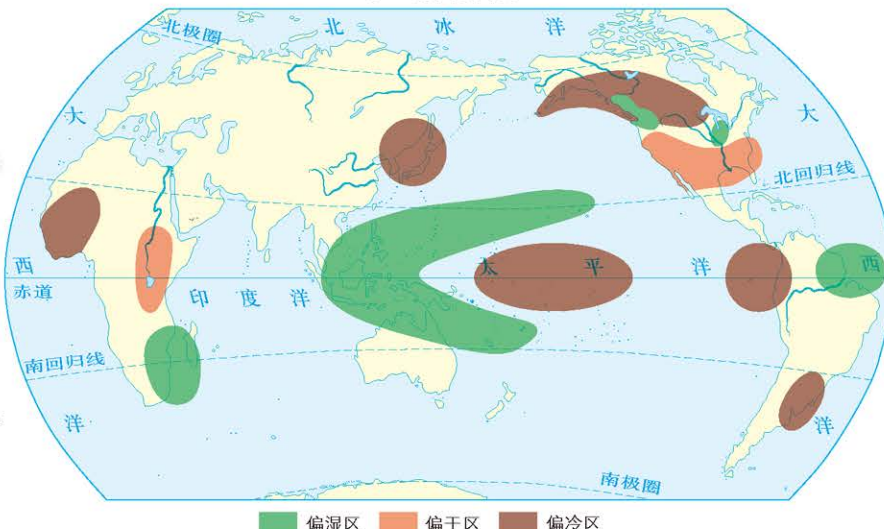
美国玉米产量与拉尼娜现象的关系



拉尼娜现象导致干旱等灾害的发生，从而影响玉米产量。

拉尼娜现象与天气异常

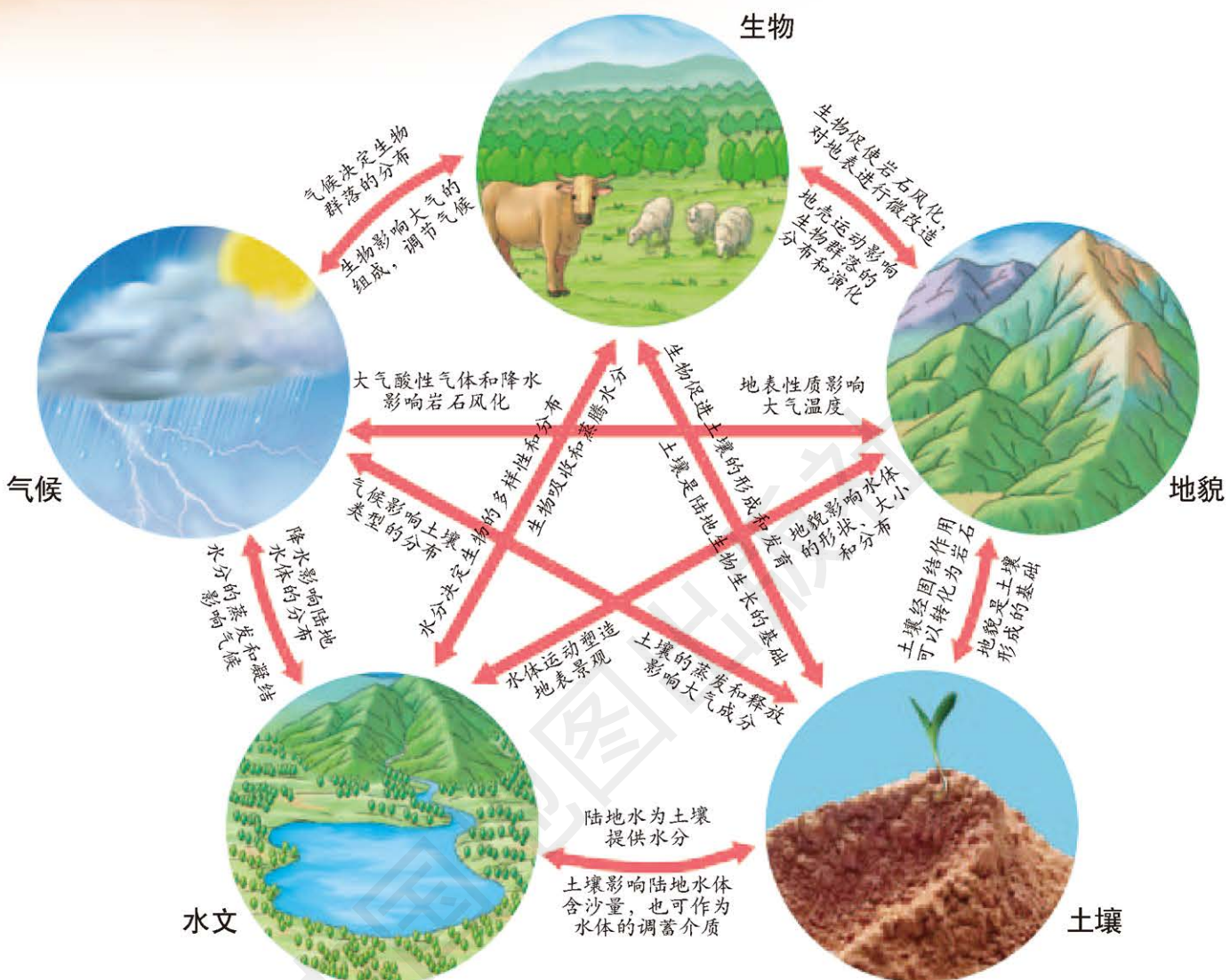
1 : 280 000 000



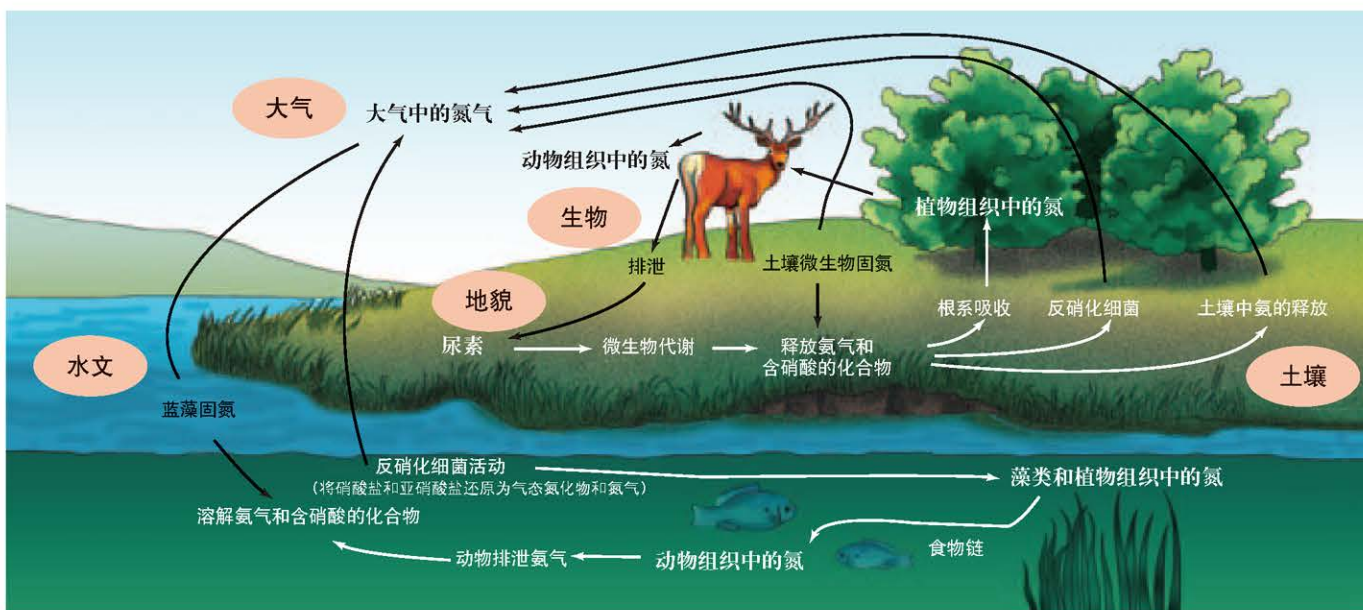
第一节 自然地理环境的整体性

自然地理要素及其相互关系

自然地理要素间的相互关系



自然地理要素间的相互作用推动物质循环——以氮循环为例

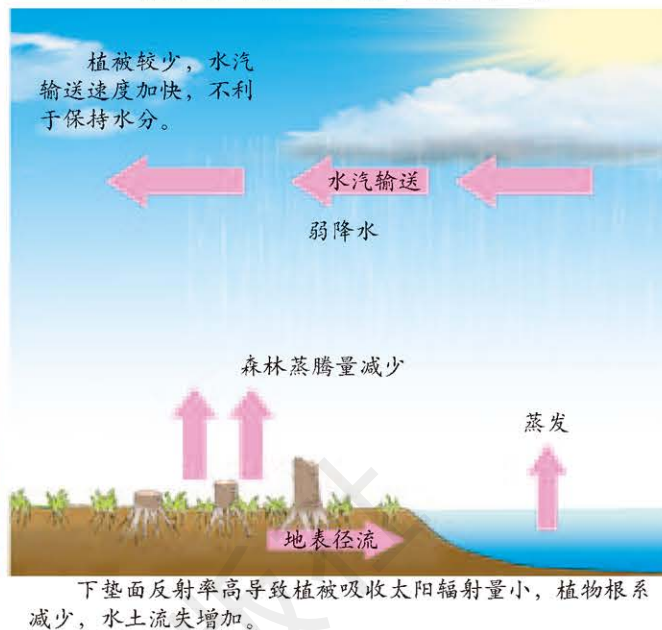
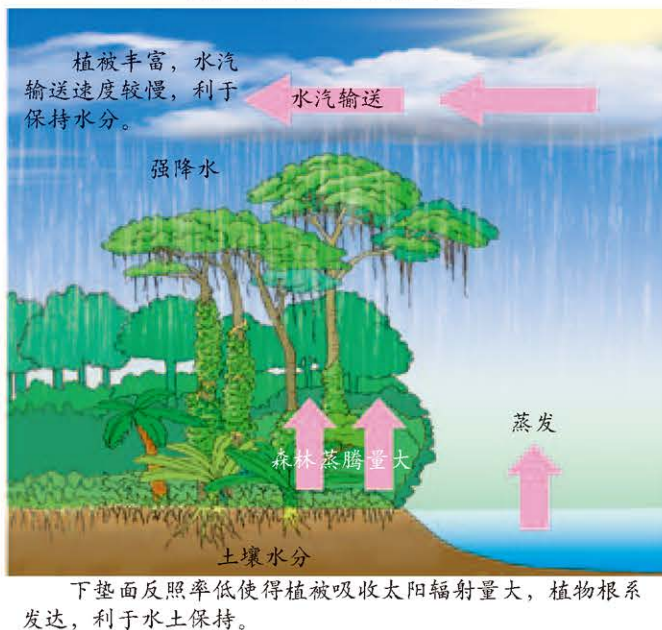


■ 自然地理环境整体性的表现

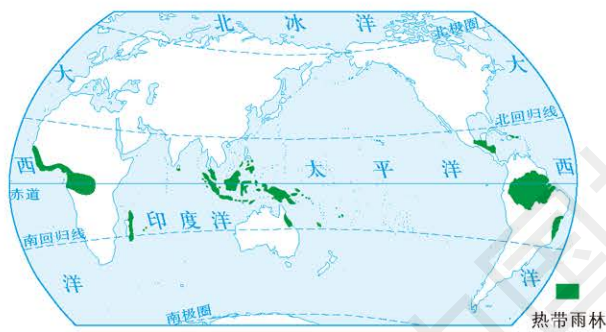
● 热带雨林的破坏对自然地理环境的影响 ●

热带雨林的自然环境

雨林破坏后对自然环境的影响



世界热带雨林分布 1 : 440 000 000

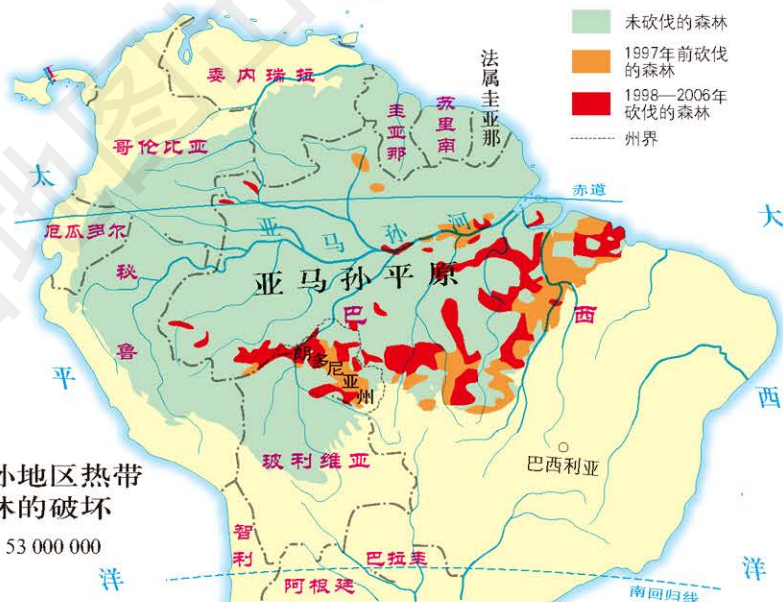


亚马孙热带雨林是世界上面积最大的热带雨林区，素有“地球之肺”之称，对调节全球气候具有重要作用。

由于垦荒、放牧、采伐、修路等，亚马孙地区大片雨林遭到破坏，当地自然环境受到严重威胁。

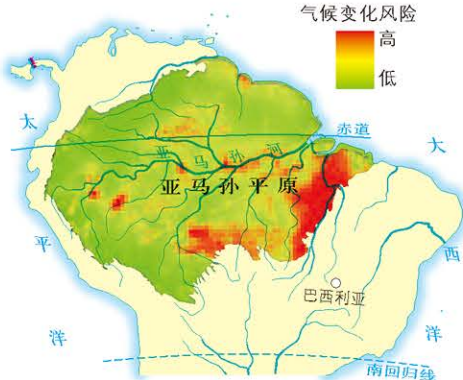
亚马孙地区热带雨林的破坏

1 : 53 000 000

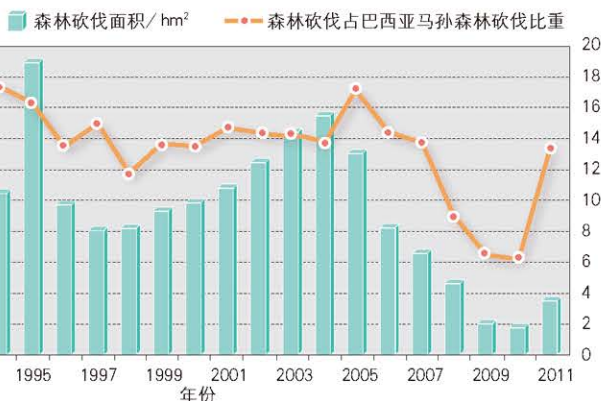


亚马孙地区气候变化风险

1 : 90 000 000

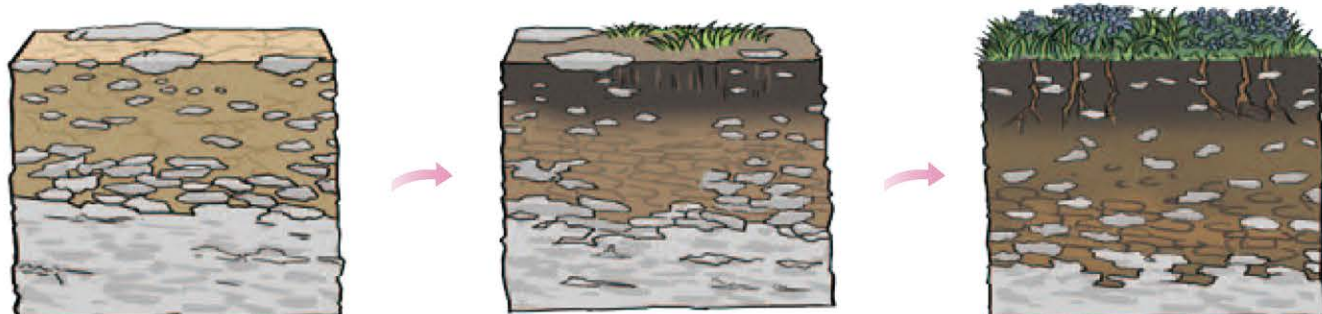


巴西朗多尼亚州森林砍伐情况



● 自然地理要素相互作用产生有机物的功能

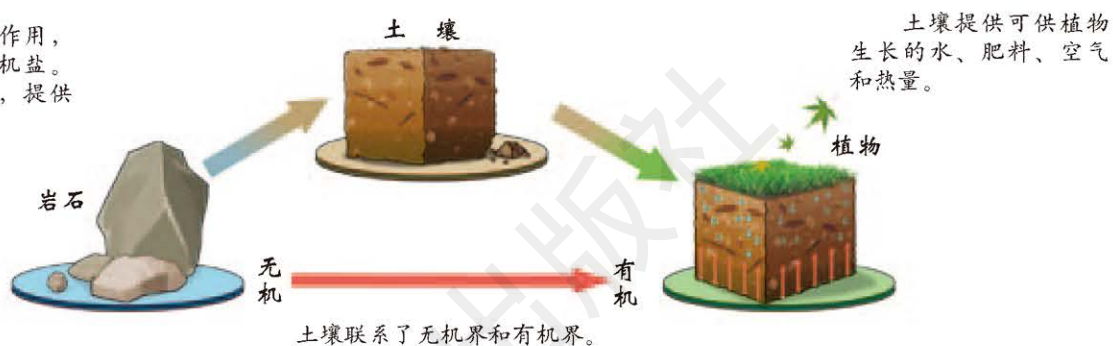
自然地理要素相互作用形成能够生长有机物的土壤



岩石在其他自然地理要素的共同作用下，形成能够生长有机物的土壤，联系了无机界和有机界，产生了生产功能。

土壤在自然地理环境中的作用

岩石通过风化作用，提供成土母质和无机盐。植物残体进入土壤，提供有机质。



土壤联系了无机界和有机界。

● 自然地理环境的整体性——以新疆维吾尔自治区为例 ●

新疆维吾尔自治区地理环境

1 : 20 000 000



新疆维吾尔自治区干湿状况

1 : 30 000 000

新疆维吾尔自治区深居内陆，海洋水汽很难到达，气候干旱。该区域河流稀疏短小，水量不大，多内流河。

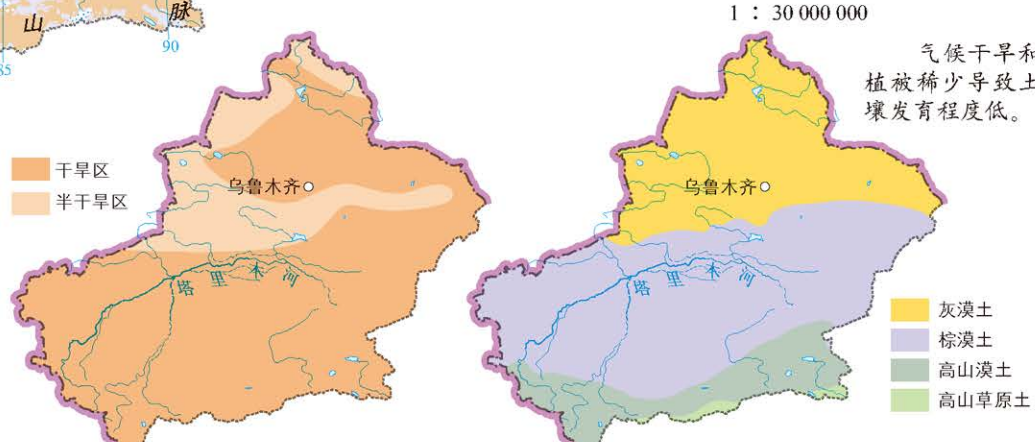
新疆维吾尔自治区植被类型

1 : 30 000 000



新疆维吾尔自治区土壤类型

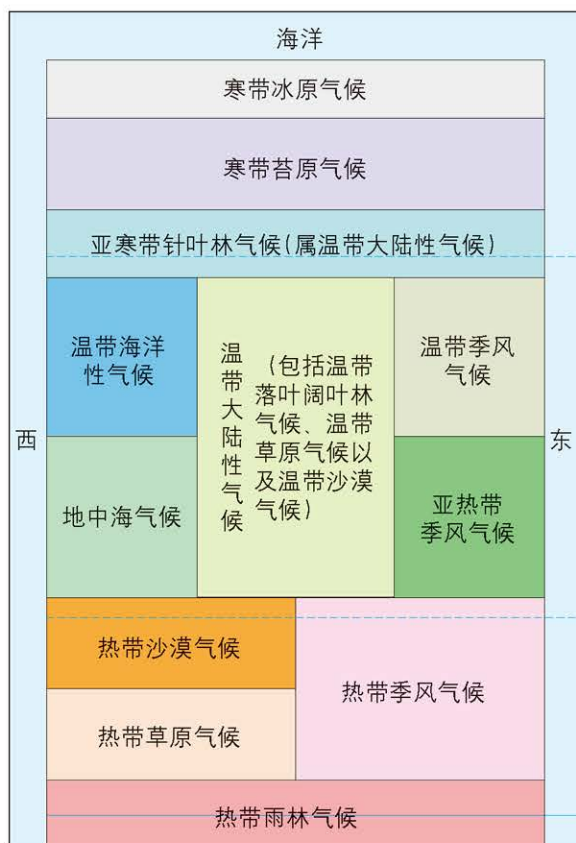
1 : 30 000 000



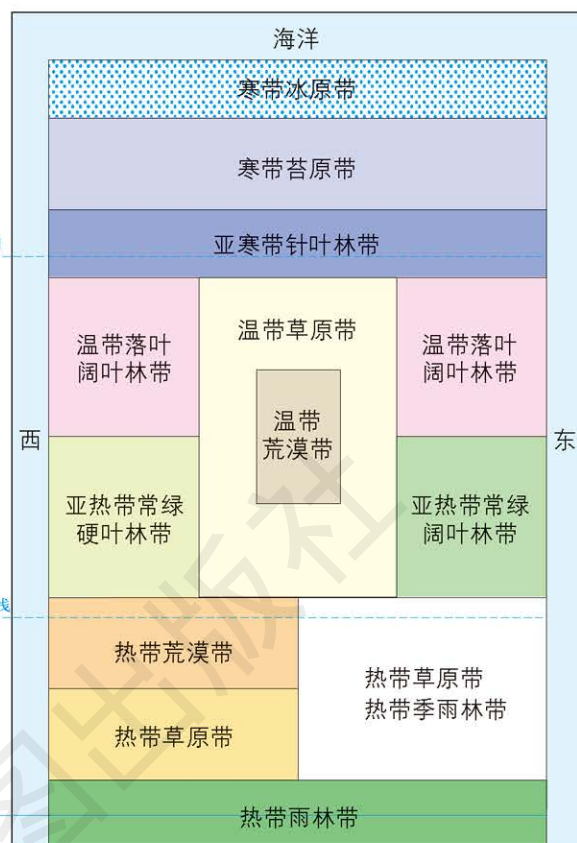
第二 节 自然地理环境的地域分异规律

地理环境的差异性和自然带

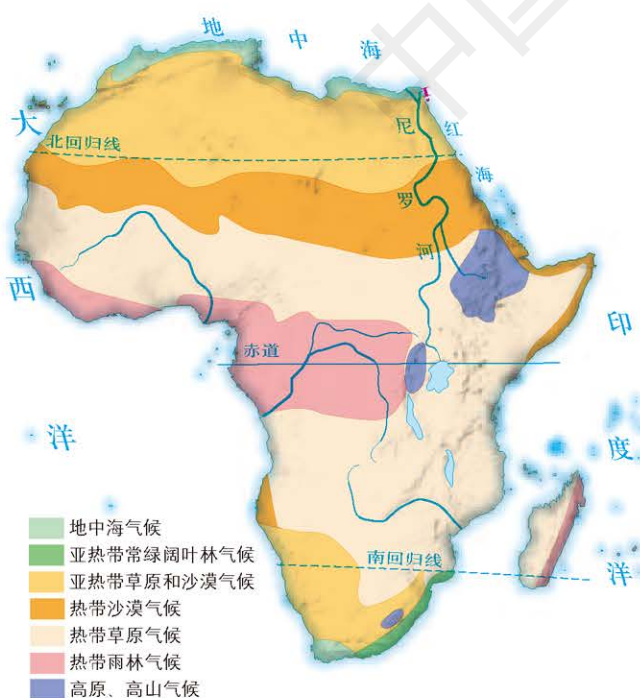
世界气候类型模式图



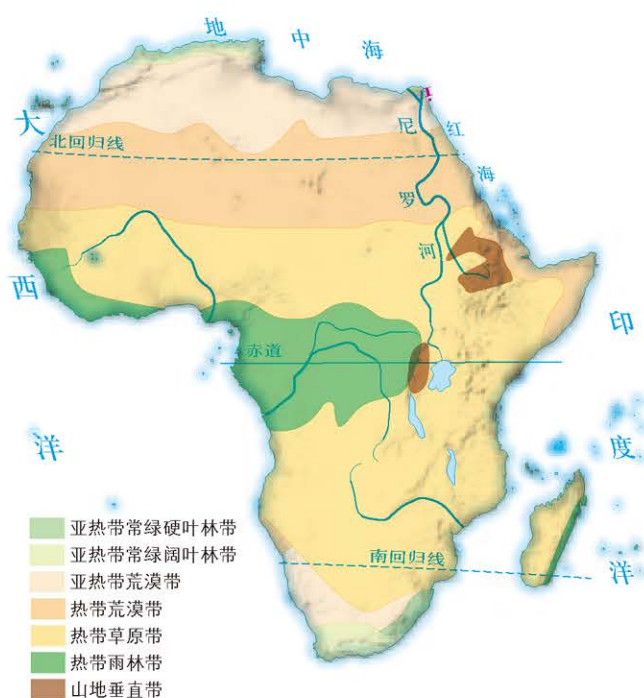
世界陆地自然带模式图



非洲气候类型 1 : 95 000 000



非洲自然带 1 : 95 000 000





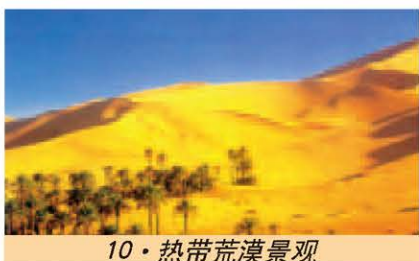
1·寒带冰原景观

| | |
|----|----------------------------|
| 气候 | 终年严寒 |
| 植物 | 在高出冰雪的岩壁上，可能有些藻类和地衣等植物生长 |
| 动物 | 动物稀少但耐寒，有北极熊等。近海有海象、海豹、海獭等 |



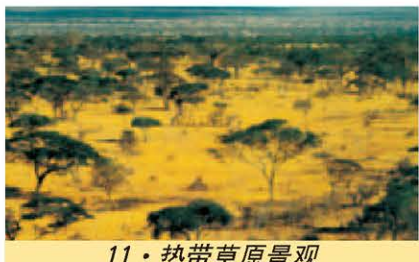
2·寒带苔原景观

| | |
|----|------------|
| 气候 | 终年严寒 |
| 土壤 | 冰沼土、冻土 |
| 植物 | 植物种类和苔藓、地衣 |
| 动物 | 动物稀少。 |



10·热带荒漠景观

| | |
|----|---------------|
| 气候 | 全年高温，各月的降水都很少 |
| 土壤 | 荒漠土 |
| 植物 | 只有稀少的耐旱植物 |
| 动物 | 袋鼠、单峰骆驼等 |



11·热带草原景观

| | |
|----|-----------------|
| 气候 | 全年高温，长夏无冬，干湿季分明 |
| 土壤 | 燥红土 |
| 植物 | 树种较少，分布稀疏，草茂盛 |
| 动物 | 长颈鹿、羚羊、斑马、狮子等 |



12·热带雨林景观

| | |
|----|-------------------|
| 气候 | 高温，降水丰富 |
| 土壤 | 砖红壤、红壤 |
| 植物 | 树种繁多，生物量大，物种丰富 |
| 动物 | 猴类、猩猩、河马、食蚁兽、树袋熊等 |



7·亚热带常绿阔叶林景观

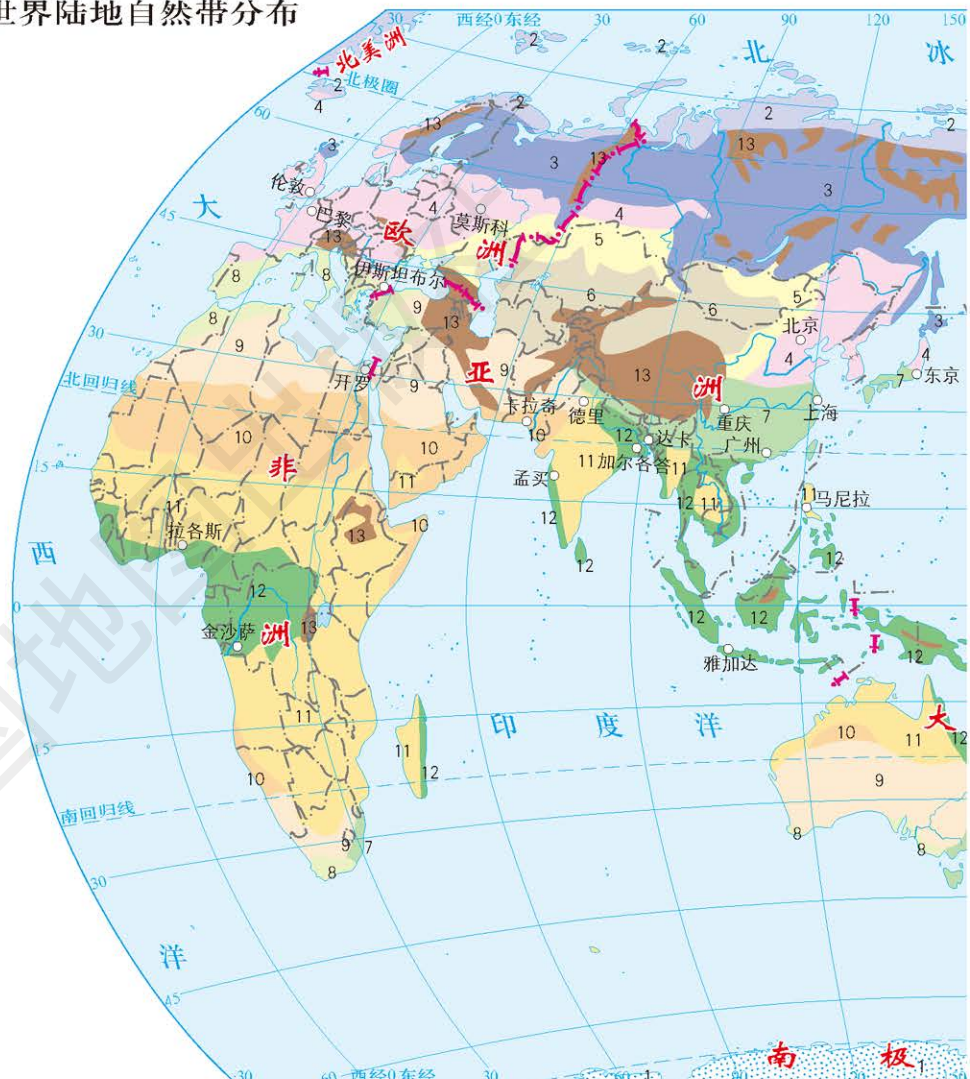
| | |
|----|----------------------|
| 气候 | 夏季高温多雨，春、秋季短促，冬季气温较低 |
| 土壤 | 黄壤、红壤 |
| 植物 | 常绿阔叶林及茶、竹、橘等 |
| 动物 | 猕猴、大熊猫等 |



8·亚热带常绿硬叶林景观

| | |
|----|----------|
| 气候 | 夏季炎热潮湿 |
| 土壤 | 褐土 |
| 植物 | 硬叶植物的结构 |
| 动物 | 阿尔卑斯山的动物 |

世界陆地自然带分布



水平自然带

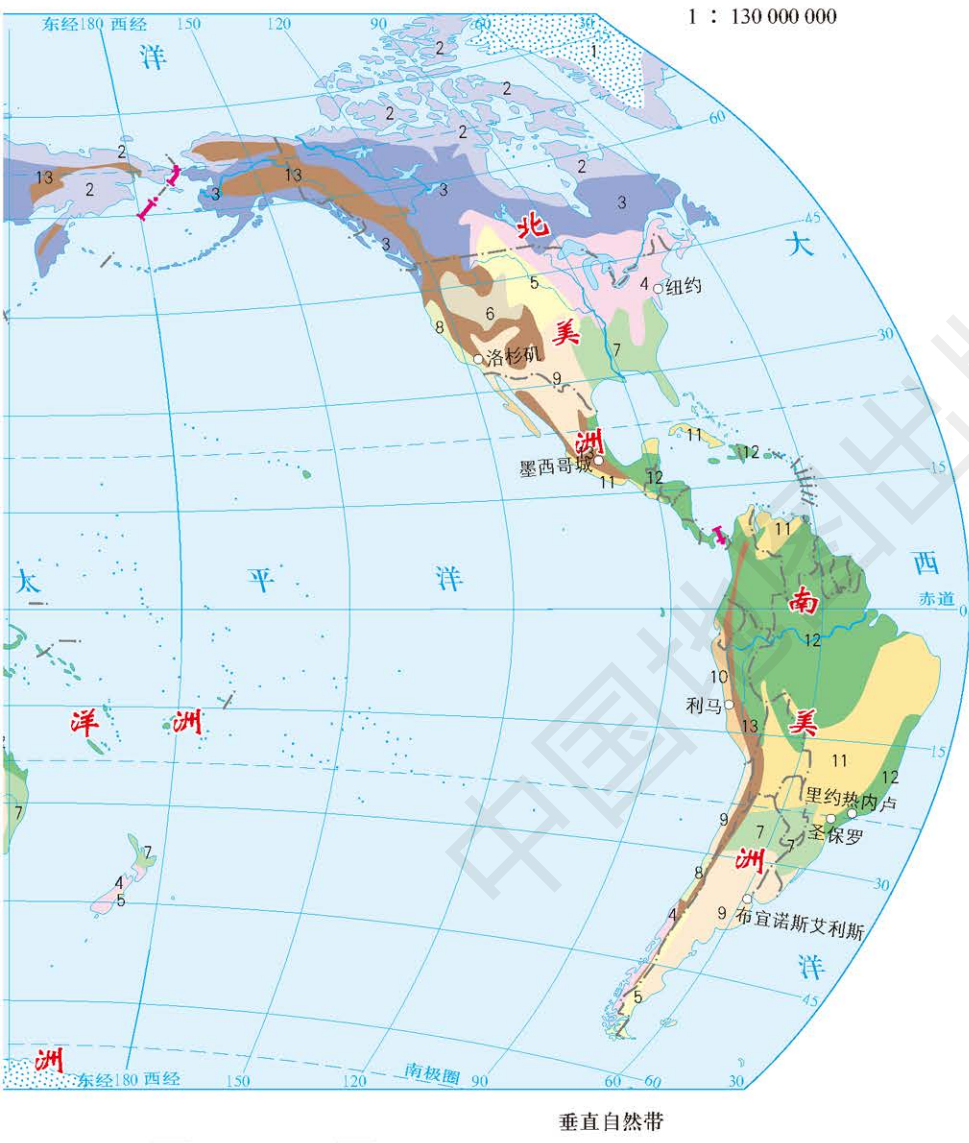
| | | | |
|---------|------------|---------|-------|
| 1 寒带冰原带 | 3 亚寒带针叶林带 | 5 温带草原带 | 7 亚热带 |
| 2 寒带苔原带 | 4 温带落叶阔叶林带 | 6 温带荒漠带 | 8 亚热带 |

| | |
|-------------------------------------|---|
| 土深厚 数量都很少，以 小灌木为主 有驯鹿、北极狐等 |  |
|-------------------------------------|---|

| | |
|----|----------------|
| 气候 | 夏季温和短促，冬季寒冷而漫长 |
| 土壤 | 灰化土 |
| 植物 | 以落叶松等针叶树种为主 |
| 动物 | 棕熊、紫貂、松鼠、麋等 |



随着海拔的升高以及气温和降水的变化，从山麓向山顶呈现出不同的自然景观。



热干燥，冬季温和多雨
物通常并不高大，丛林简单
斯山羊、扁角鹿等

| | |
|----|----------------------------|
| 气候 | 亚热带干旱与半干旱类型。夏季炎热，冬季温和，全年少雨 |
| 土壤 | 半荒漠的淡棕色土 |
| 植物 | 旱生灌木及禾本科植物，在较湿润的季节有短生植物 |
| 动物 | 西袋狸等 |



6 · 温带荒漠景观

| | |
|----|--------------|
| 气候 | 冬冷夏热，温差大，降水少 |
| 土壤 | 荒漠土 |
| 植物 | 非常稀疏的草本植物和灌木 |
| 动物 | 双峰骆驼、沙鼠等 |

■ 地域分异规律

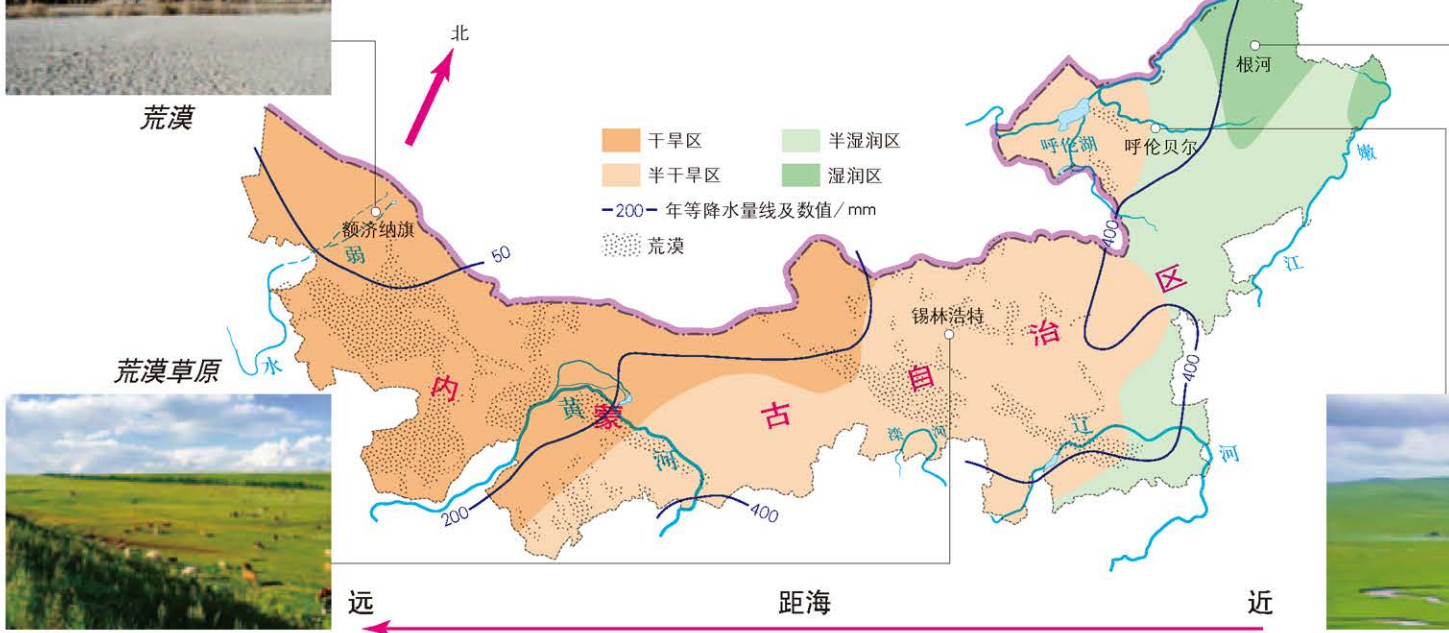
从低纬到高纬的地域分异——以亚洲陆地自然带为例

1 : 80 000 000



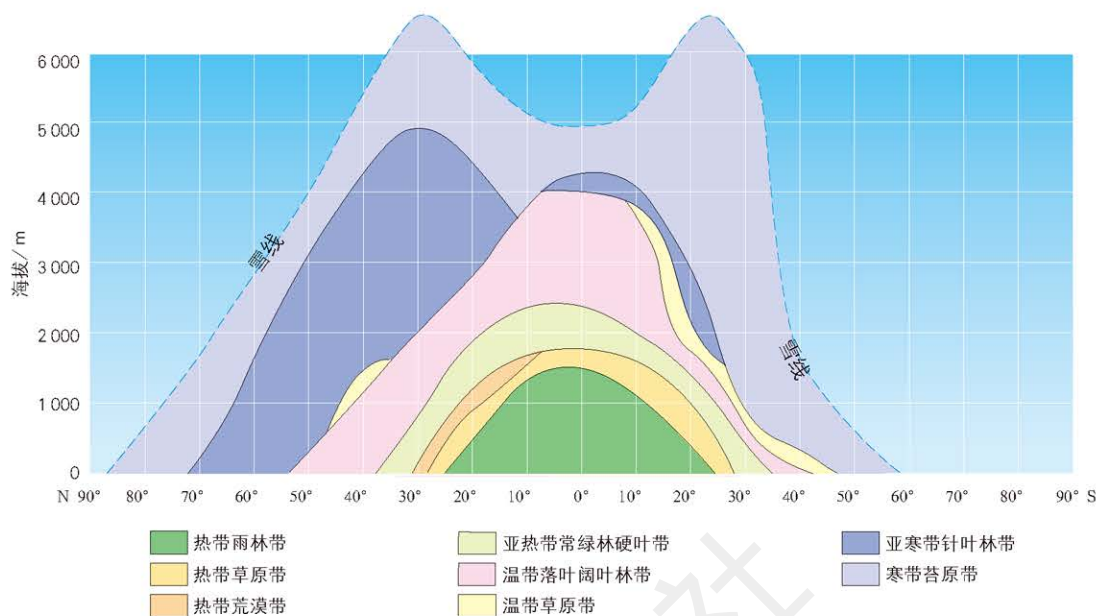
内蒙古自治区干湿区的划分

1 : 16 000 000





从低纬到高纬



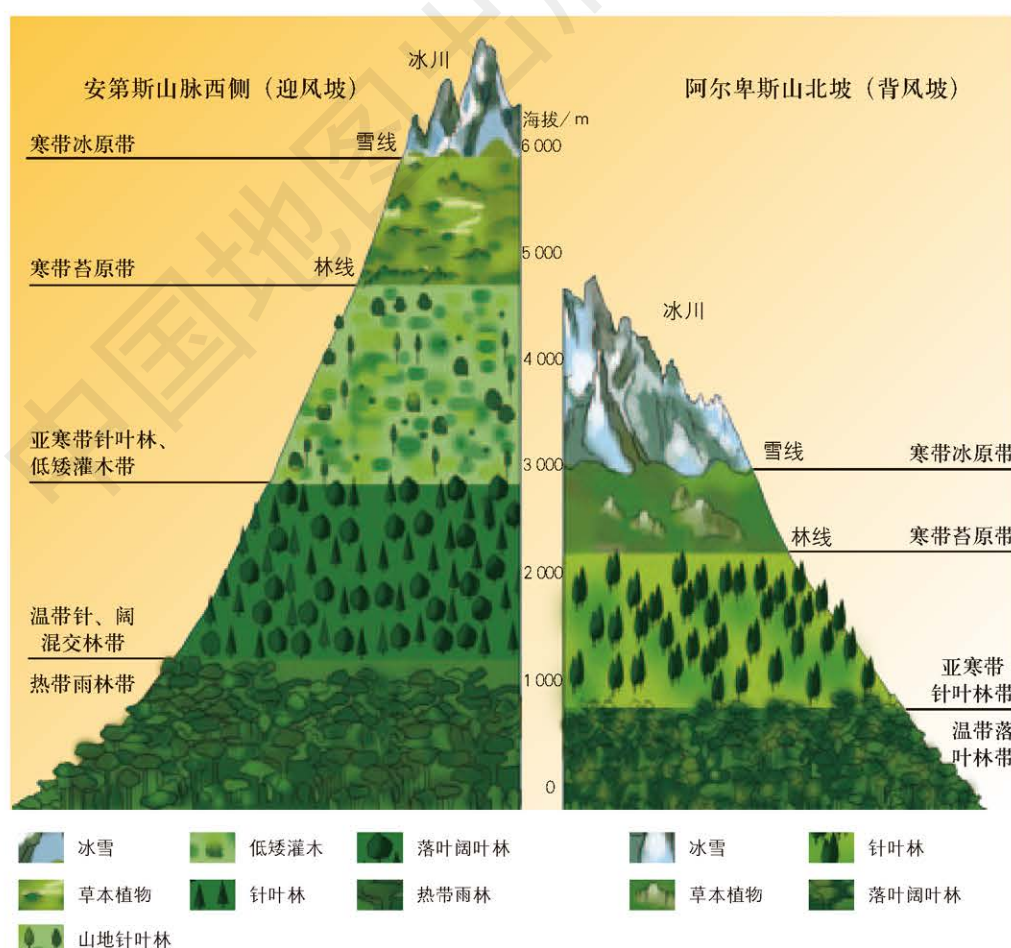
世界陆地自然带的纬度地带性和垂直地带性分布模式



森林



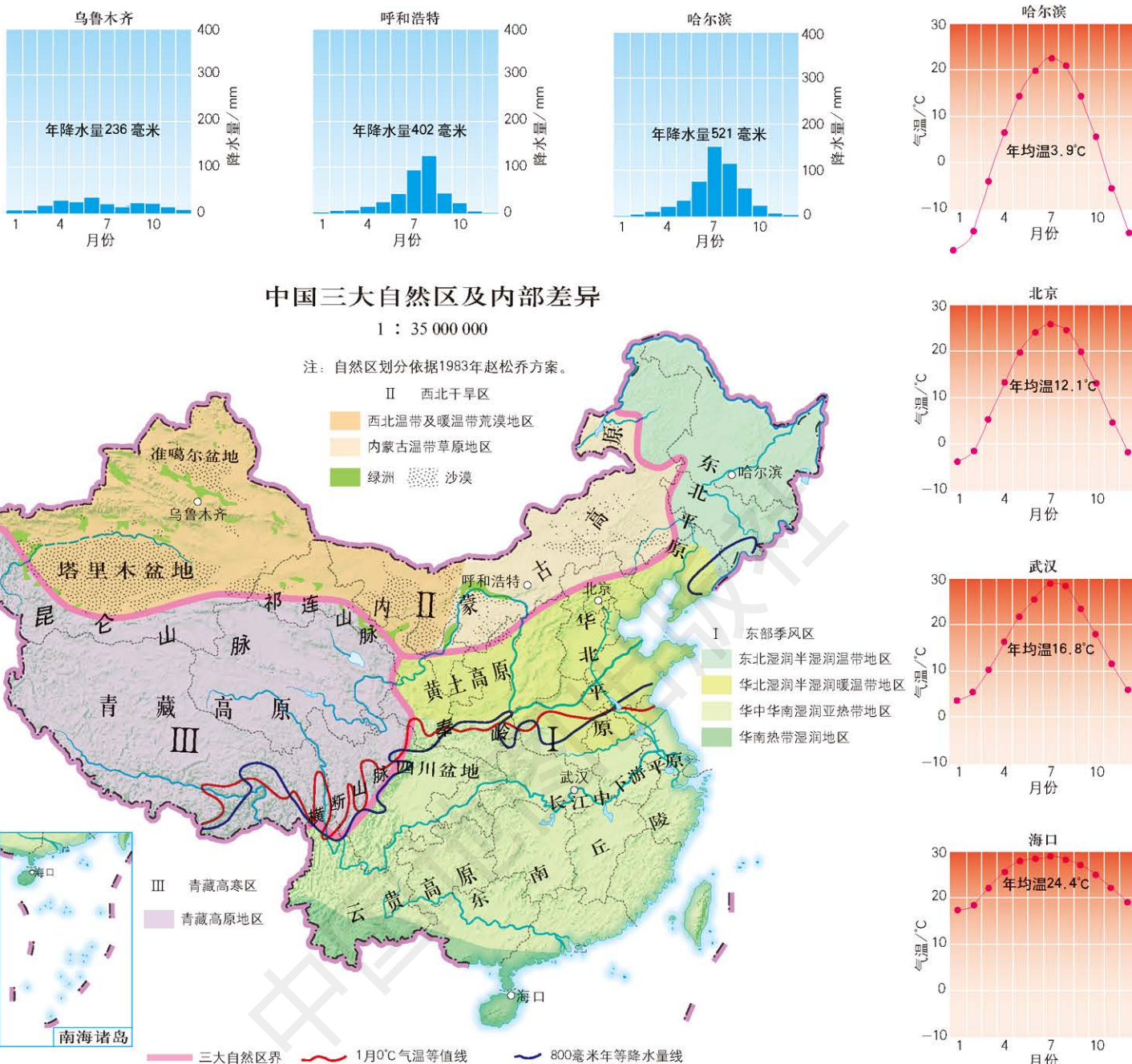
草原



安第斯山和阿尔卑斯山垂直地带性比较

读图指导

①明确不同地区山地的地理位置；②观察山地随海拔高度的变化和从山麓到山顶的植被变化；③根据热量和水分随海拔升高而变化的知识，分析植被变化的原因；④总结规律，从山麓到山顶形成了不同的植被类型是由于水热条件的变化，体现了垂直地带性。



三大自然区地理特征

| 三大自然区 | 东部季风区 | 西北干旱区 | 青藏高寒区 |
|-------------|--------------------------------|-------------------------------|------------------------|
| 区域特征形成的主导因素 | 气温随纬度的变化 | 降水随距海洋远近的变化 | 水热状况随海拔的变化 |
| 地形地势 | 平原和低山丘陵为主，海拔较低 | 高原和盆地为主，海拔较高，但海拔差异显著 | 高原山地为主，海拔高 |
| 气候 | 季风气候，雨热同期 | 温带大陆性气候，降水较少，风力较强 | 高寒气候，气温低，风力强 |
| 水文 | 河湖多，雨水补给为主，主要为外流河、淡水湖，绝大部分属外流区 | 河湖少，高山冰雪融水补给，多内流河、咸水湖，多属内流区 | 多冰川、湖泊，多大江大河发源地，内外流区兼备 |
| 植被和土壤 | 以森林为主，多农作物和人工林；多森林土壤 | 大部分为荒漠，兼有荒漠草原和草原；土壤为荒漠土壤和草原土壤 | 高寒荒漠广布；土壤发育程度低 |

主 编 田 忠 王 民
 副 主 编 马宝艳 王梦麦
 责任编辑 刘 鹏 相远红
 审 校 孙 玥 许丛华
 复 审 王梦麦
 审 订 孙冬冬
 封面设计 徐海燕

DILI TUCE
地理图册

选择性必修 1

自然地理基础

普通高中教科书
 书 名 地理图册 选择性必修1 自然地理基础
 编 著 中国地图出版社

出 版 中国地图出版社
 社 址 北京市白纸坊西街3号
 邮 政 编 码 100054
 电 话 010-83543863
 地图教学网 www.ditu.cn
 电子邮箱 sinomaps@yeah.net
 印 刷
 发 行
 成 品 规 格 210mm×297mm
 印 张 3.25
 版 次 2020年6月第1版
 印 次 2021年6月 第2次印刷

书 号 ISBN 978-7-5204-1450-0
 审 图 号 GS(2019)5717号

本图册中国国界线系按照中国地图出版社1989年
 出版的1:400万《中华人民共和国地形图》绘制



绿色印刷产品



定价： 元



致力于用榜样的力量提升学生成绩的共享家教平台

中国家庭教育学会荣誉会员单位

985/211 大学生 1对1上门辅导

找家教就像叫“代驾”一样简单
家长们都在偷偷用的家教预约神器

记得拍照留存哦



扫码关注 预约上门

关注送200元优惠券

小初高全科辅导

学霸云集任您挑

学历真实可担保



与优秀大学生同行，激发孩子无限潜能



微信搜索公众号：365优教网

咨询热线：**4000-711-365**

YOUJ 优教

既是找老师，更是找榜样

家教老师全国招募中